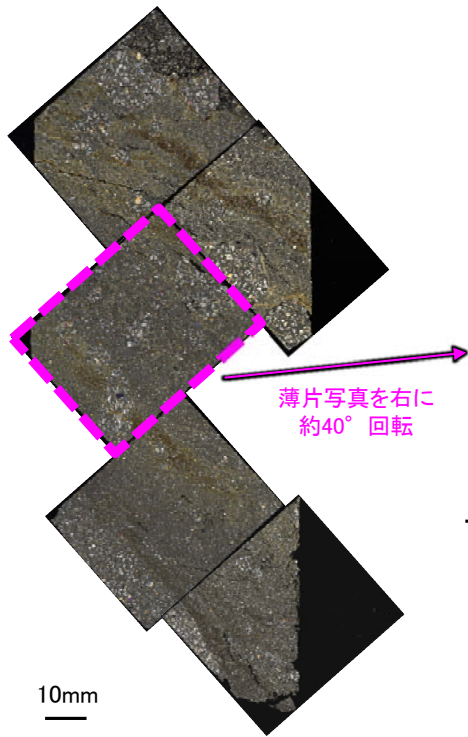


K-3_M-2.2孔

【詳細観察(薄片②)1/2】



薄片写真を右に約40°回転

10mm

薄片写真(M-2.2_90R)

(単ニコル)

上



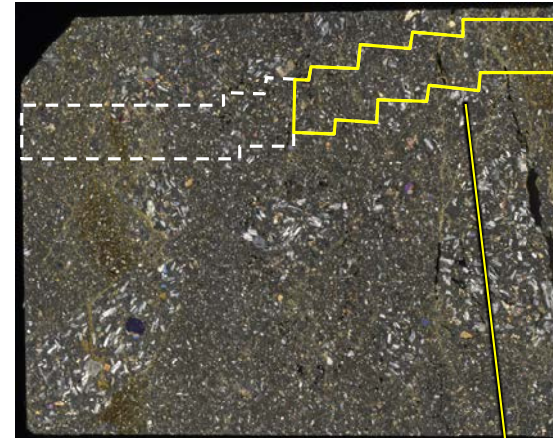
下盤

10mm

下

(直交ニコル)

上



上盤

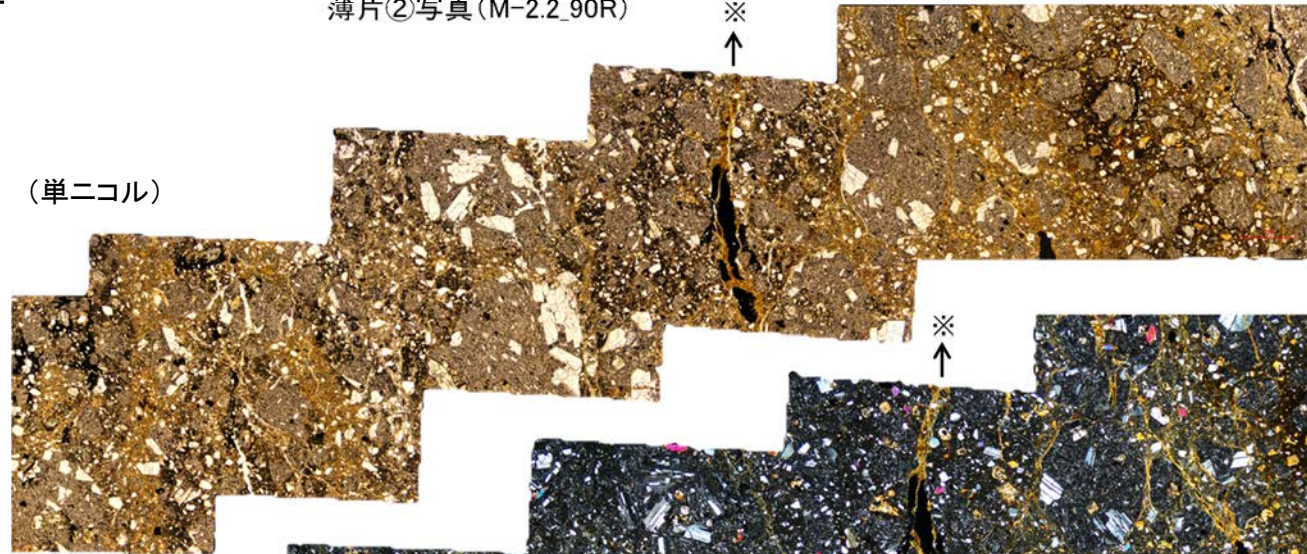
下

薄片②写真(M-2.2_90R)

※

↑

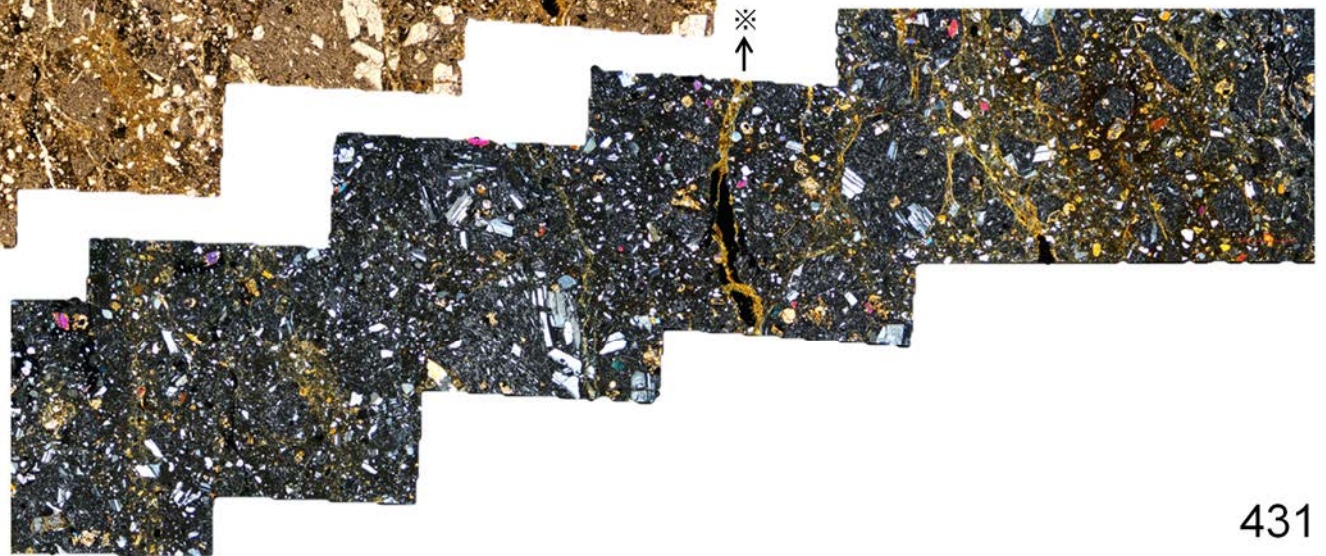
(単ニコル)



※

↑

(直交ニコル)



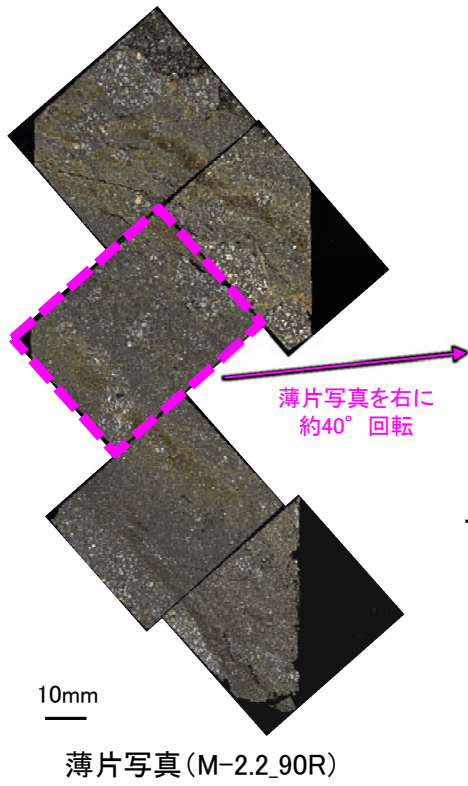
1mm

・薄片②の当該観察範囲において、直線性・連続性のよい面構造は認められない。

※上方延長部は薄片①の最新ゾーンと分帯Iとの境界にあたり、不明瞭で漸移的であり、せん断面は認められない(P.438)。

K-3_M-2.2孔

【詳細観察(薄片②)2/2】



(単ニコル)

上

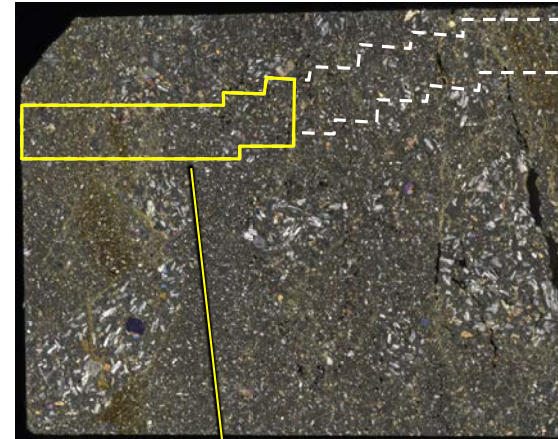


10mm

下

(直交ニコル)

上

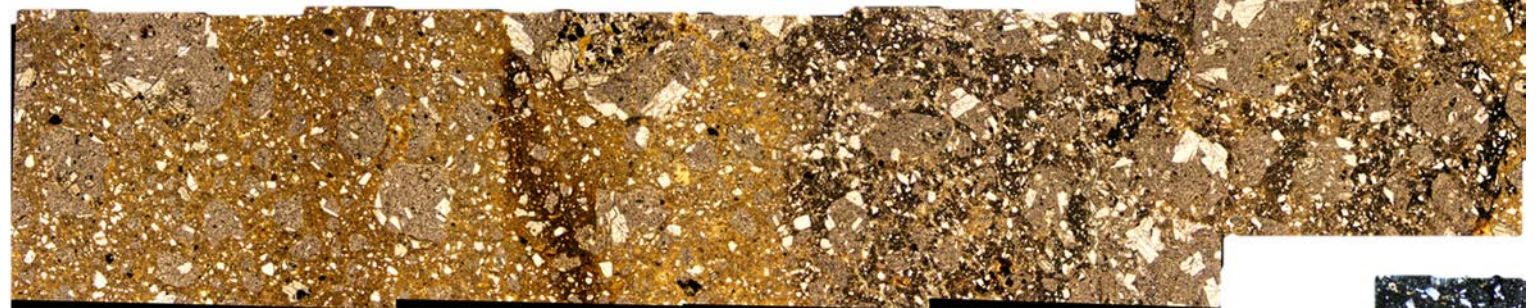


上盤

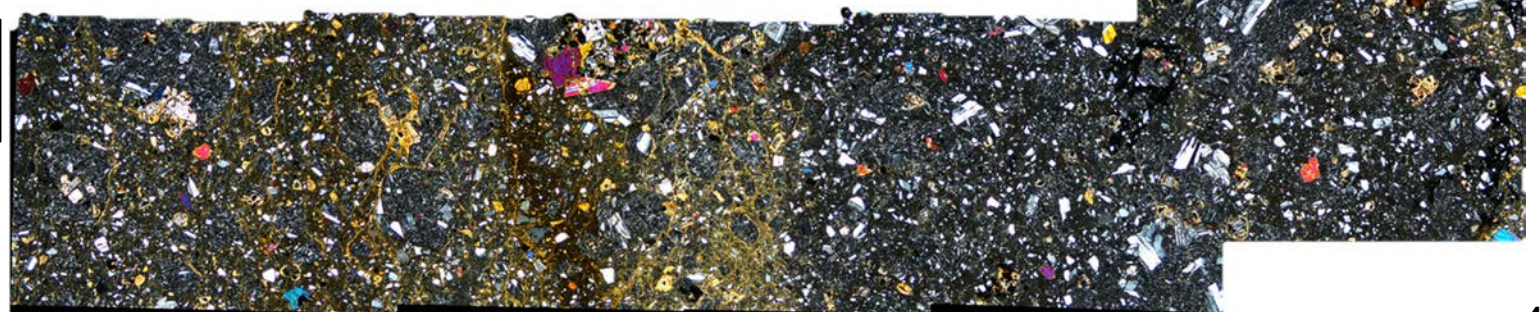
下

薄片②写真(M-2.2_90R)

(単ニコル)



(直交ニコル)

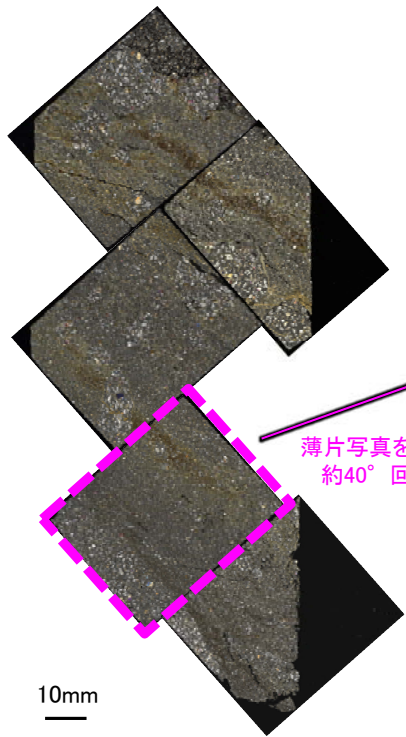


1mm

・薄片②の当該観察範囲において、直線性・連続性のよい面構造は認められない。

K-3_M-2.2孔

【詳細観察(薄片③)1/2】



薄片写真を右に約40°回転

(単ニ科尔)

上



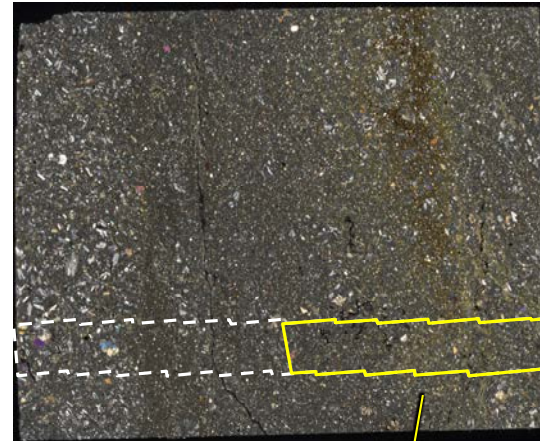
下盤

10mm

下

(直交ニ科尔)

上

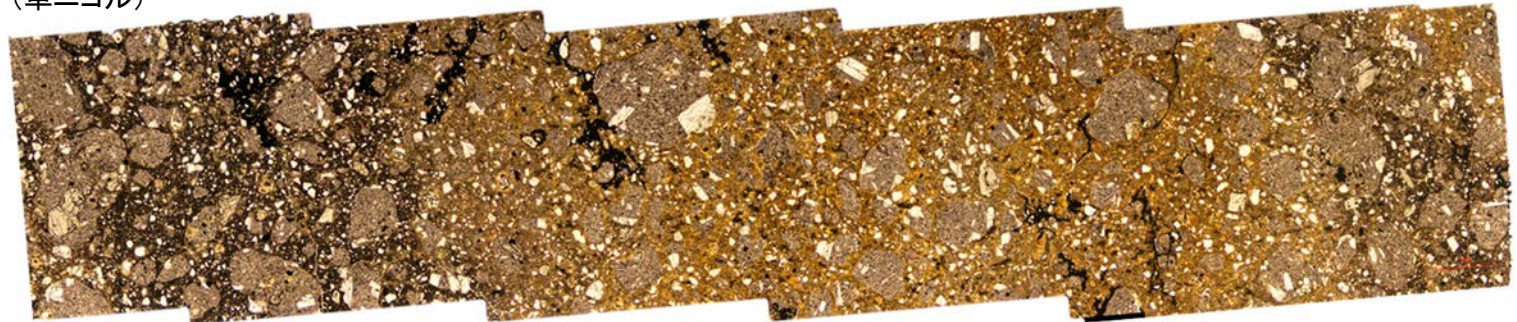


上盤

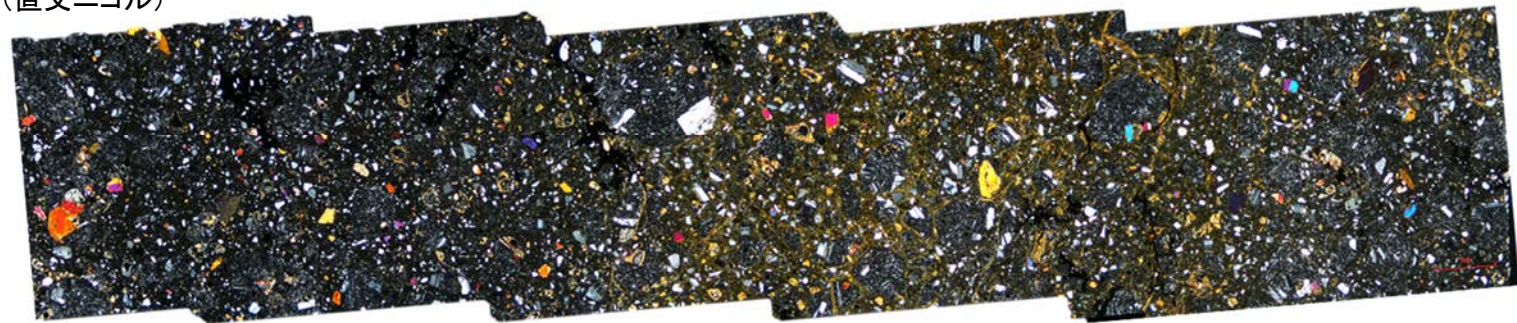
下

薄片③写真(M-2.2_90R)

(単ニ科尔)



(直交ニ科尔)

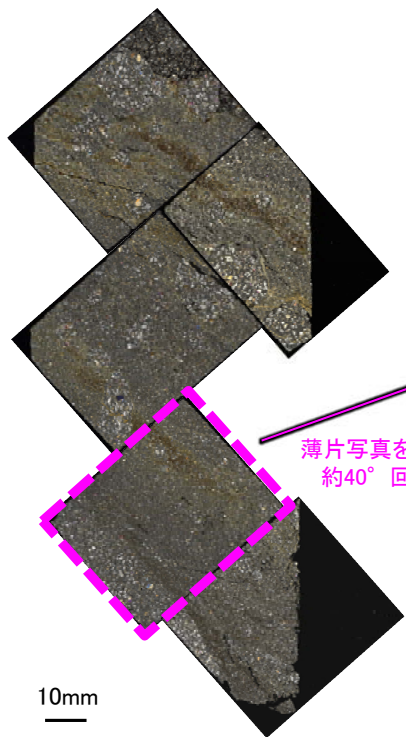


1mm

・薄片③の当該観察範囲において、直線性・連続性のよい面構造は認められない。

K-3_M-2.2孔

【詳細観察(薄片③)2/2】



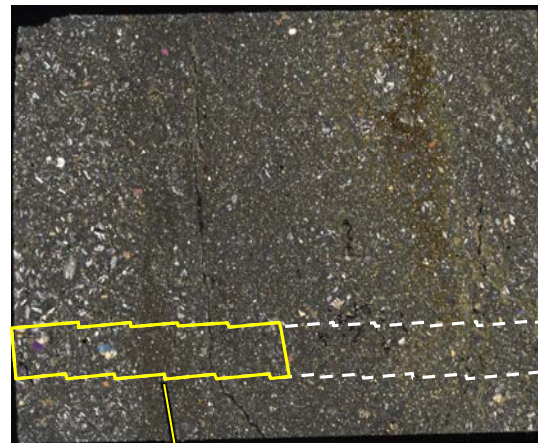
薄片写真を右に約40°回転

薄片写真(M-2.2_90R)

(単ニコル) 上

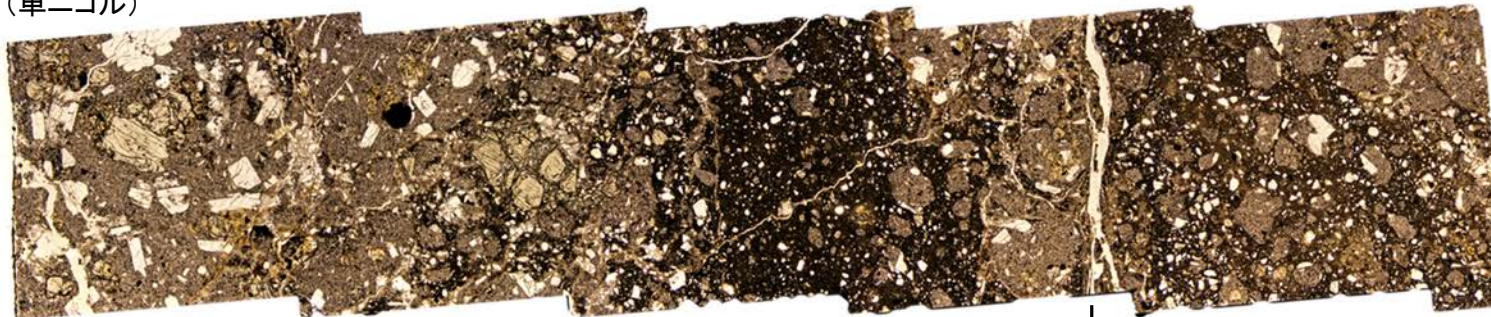


(直交ニコル) 上



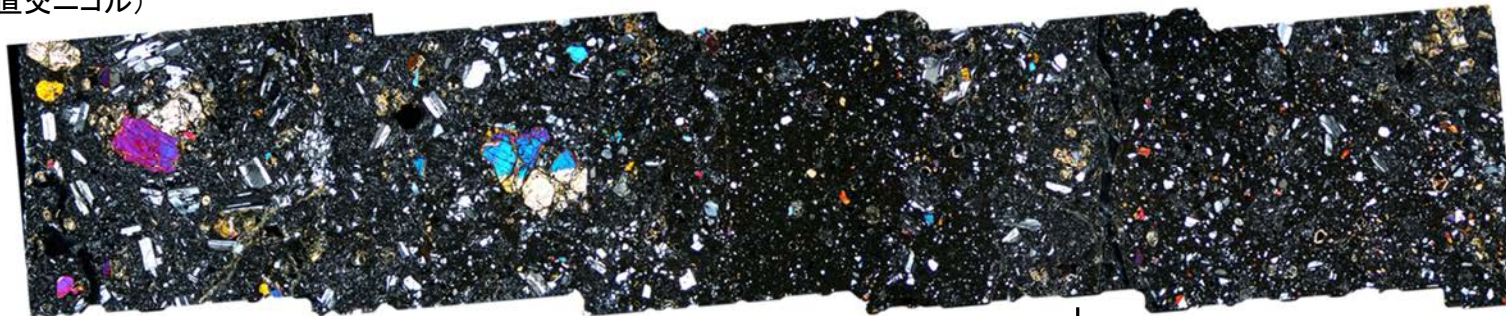
薄片③写真(M-2.2_90R)

(単ニコル)



↓
※

(直交ニコル)



↓
※

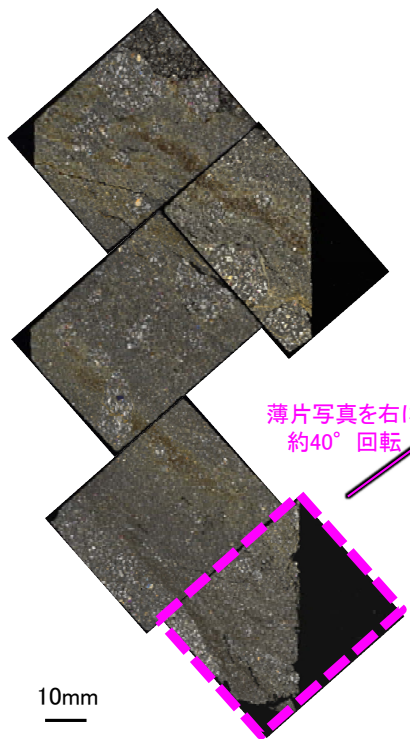
- ・薄片③の当該観察範囲において、直線性・連続性のよい面構造は認められない。
- ・また、割れ目の周辺に岩片等の定向性はなく、複合面構造は認められない。

※割れ目は下方の薄片③'に連続し、薄片③'で湾曲し一部で不連続になり、薄片下部でせん滅しており、薄片③の観察結果も踏まえると、断層活動によって生じたせん断面ではない(次頁)。

1mm

K-3_M-2.2孔

【詳細観察(薄片③')】



薄片写真(M-2.2_90R)

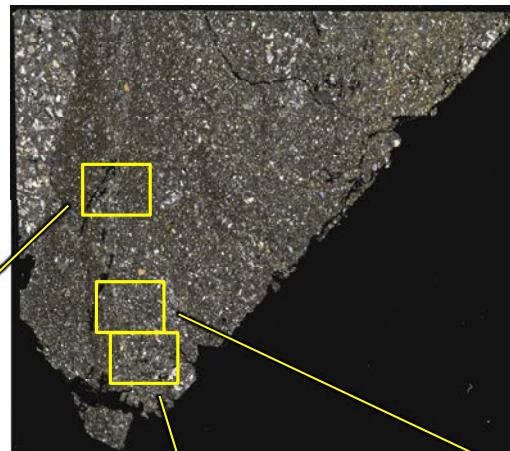
薄片写真を右に約40°回転

(単ニコル) 上



10mm

(直交ニコル) 上

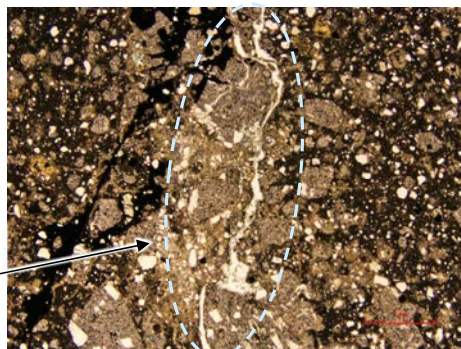


上盤

下

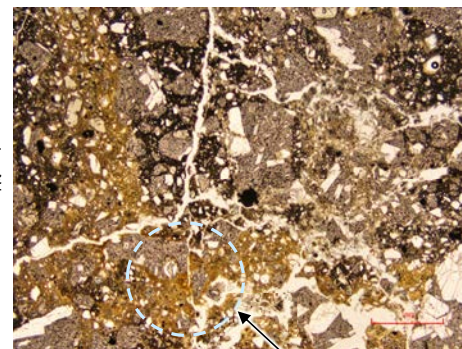
薄片③' 写真(M-2.2_90R)

(単ニコル)



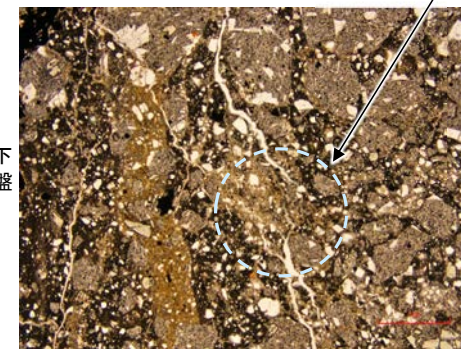
割れ目が湾曲する。

(単ニコル)



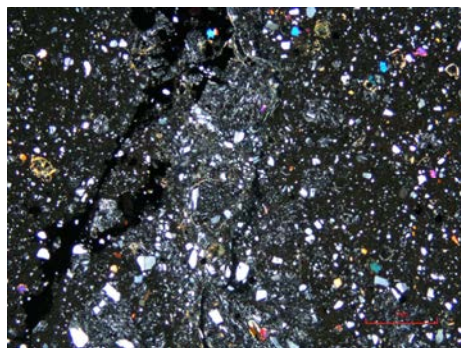
割れ目がせん滅する。

(単ニコル)



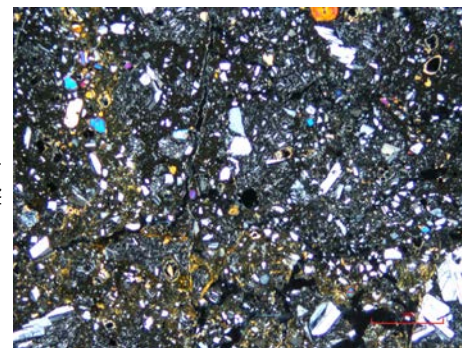
割れ目が一部で不連続になる。

(直交ニコル)



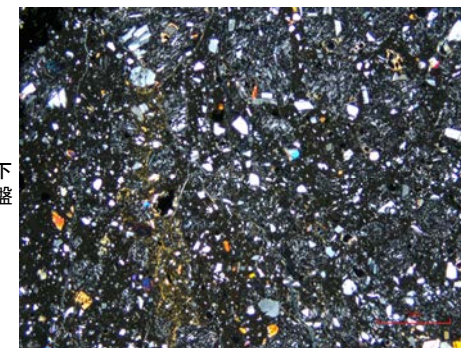
1mm

(直交ニコル)



1mm

(直交ニコル)



1mm

・薄片③から連続する割れ目は、薄片③'で湾曲し一部で不連続になり、薄片下部でせん滅する。

5.2.9 K-3 M-2.2孔 ー最新面の認定(微視的観察, 最新ゾーン)ー

- 薄片①で実施した微視的観察(薄片観察)の結果, 色調や礫径などから, 下盤側よりⅠ～Ⅳに分帯した。
- そのうち, 最も細粒化している分帯Ⅱを最新ゾーンとして抽出した。
- 最新ゾーン中に, 面1(緑矢印)が認められる。面1は最新ゾーンの中では比較的連続性がよい面であるものの, 全体的に不明瞭で, 面1の延長位置を挟んで分布する岩片に変位は認められない。
- 最新ゾーンと分帯Ⅰ, 分帯Ⅲとの境界は, 不明瞭で漸移的であり, せん断面は認められない*。
- 以上より, 比較的連続性がよい面1を最新面として明確に認定できないことから, 最新面が分布する可能性のある最新ゾーンと変質鉱物との関係を確認する。

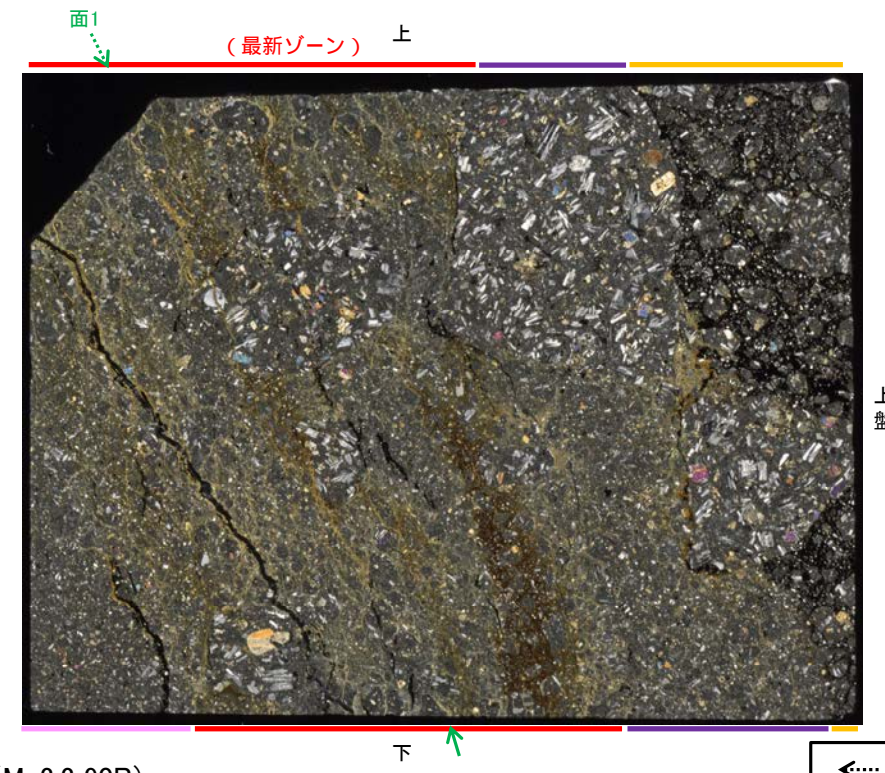
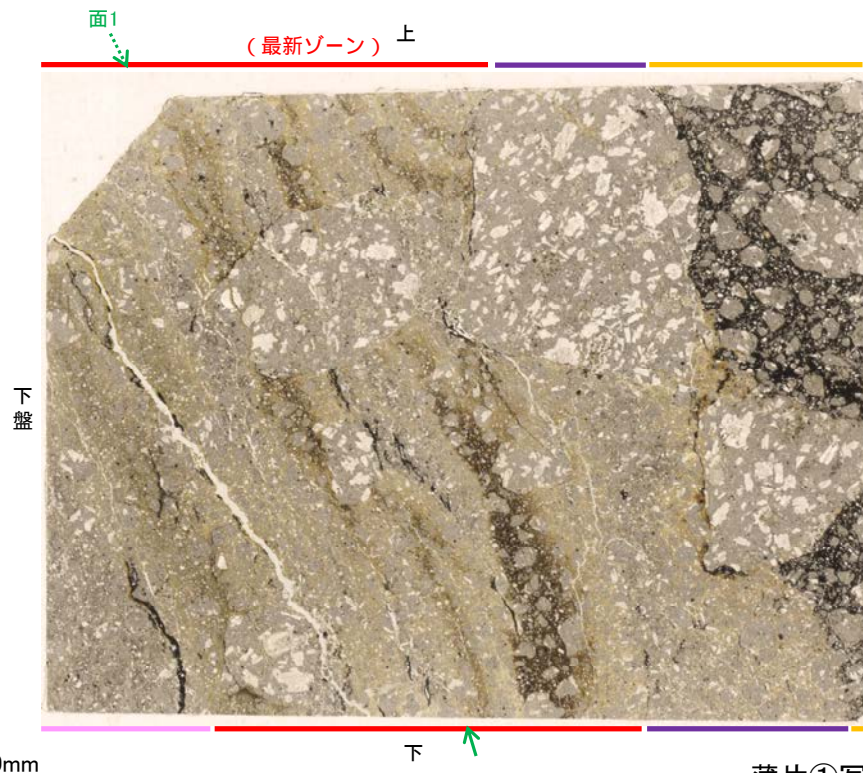
※最新ゾーンと分帯Ⅰ, 分帯Ⅲとの境界についての詳細は次々頁

紫字: 第935回審査会合以降の変更箇所

分帯とコア観察における破砕部区分との対応
・分帯Ⅰ, 分帯Ⅱ(最新ゾーン), 分帯Ⅲ・・・固結した破砕部

(単ニコル)

(直交ニコル)



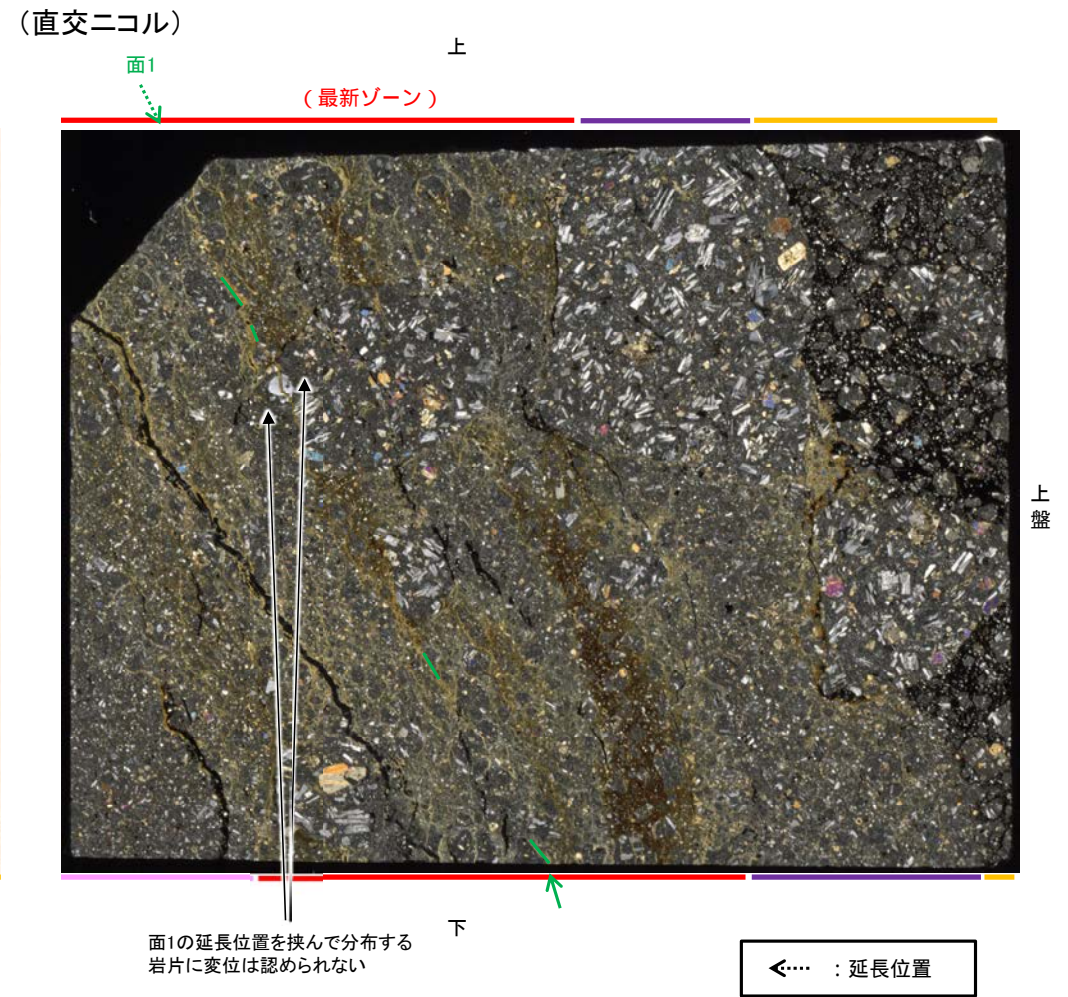
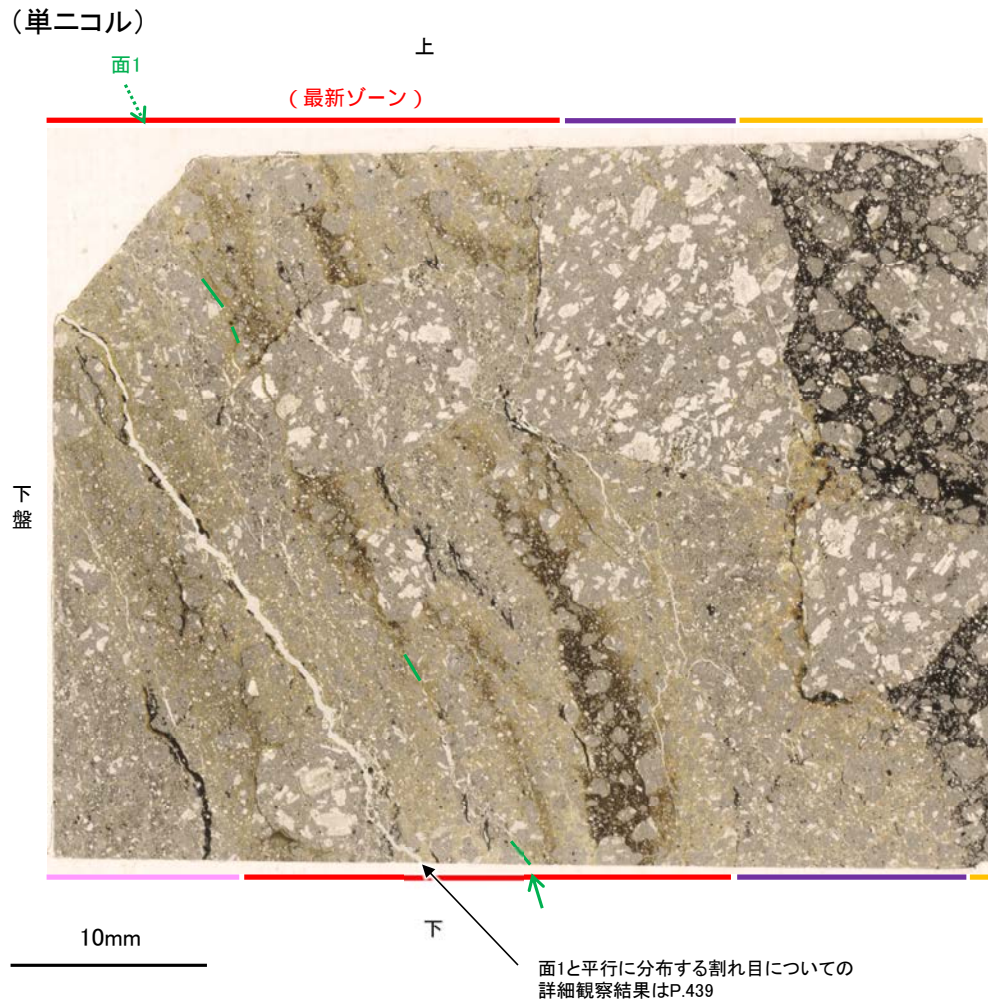
薄片①写真(M-2.2_90R)

←… : 延長位置

- Ⅰ: 単ニコルで褐灰色, 直交ニコルで灰色の干渉色を呈する凝灰岩からなる。径3mm以下の岩片や鉱物片が細粒な基質中に含まれる。岩片は角～垂円形, 鉱物片は角～垂角形である。
- Ⅱ(最新ゾーン): 単ニコルで褐灰色, 直交ニコルで黄～灰色の干渉色を呈する凝灰岩からなる。径3mm以下の岩片や鉱物片が細粒な基質中に含まれており, 径5～13mmの岩片が少量含まれる。岩片は角～垂円形, 鉱物片は角～垂角形である。基質中や割れ目, 岩片の縁辺部に粘土鉱物が生成している。
- Ⅲ: 単ニコルで褐灰色, 直交ニコルで黄～灰色の干渉色を呈する凝灰岩からなる。径3mm以下の岩片や鉱物片が細粒な基質中に含まれており, 径13～20mmの岩片も含まれる。岩片は角～垂円形, 鉱物片は角～垂角形である。基質中や割れ目, 岩片の縁辺部に粘土鉱物が生成している。
- Ⅳ: 単ニコルで褐灰～黒色, 直交ニコルで灰～黒色の干渉色を呈する凝灰岩からなる。径8mm以下の岩片や鉱物片が, 不透明鉱物を主とする基質中に含まれる。岩片は角～垂円形, 鉱物片は角～垂角形である。

K-3_M-2.2孔

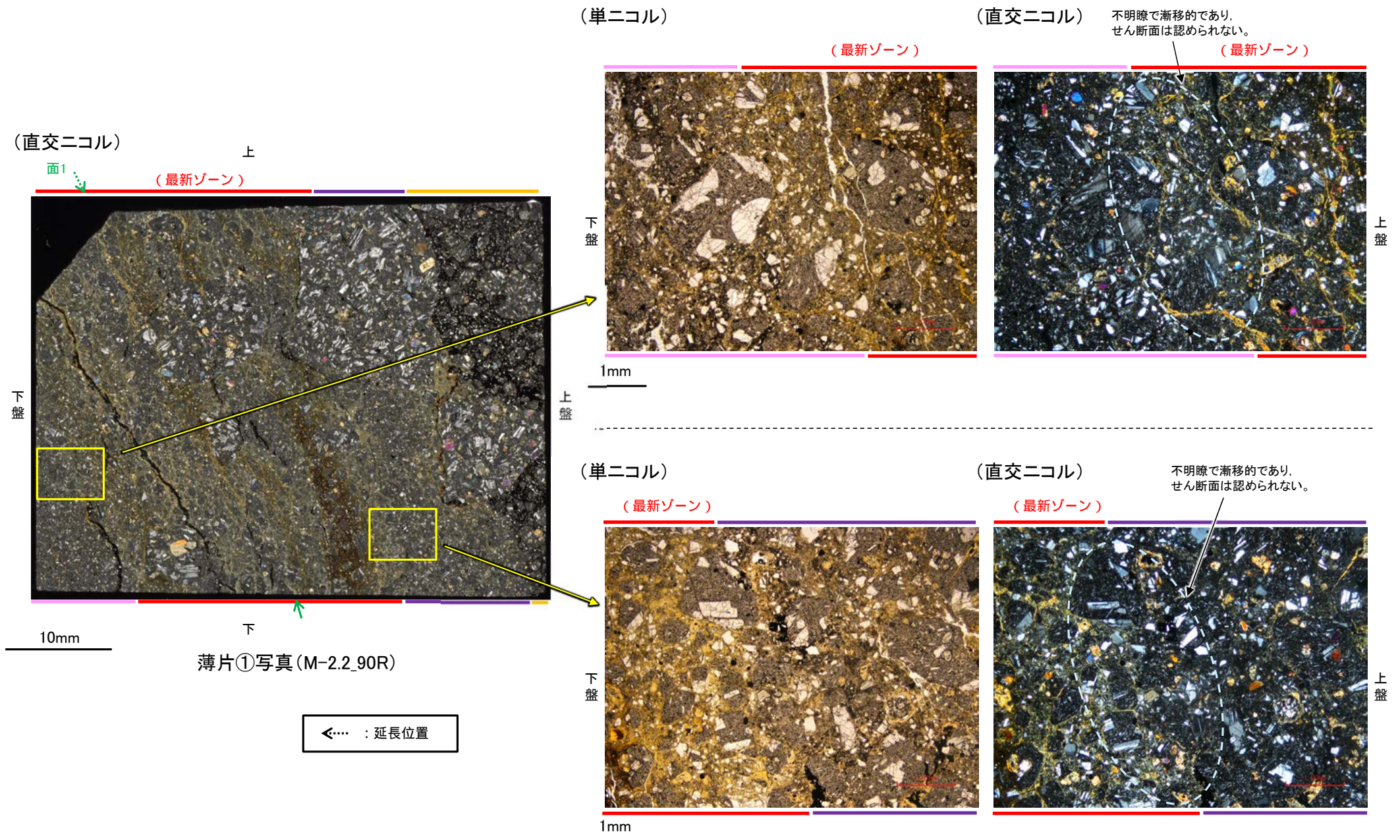
【解釈線あり】



薄片①写真(M-2.2_90R)

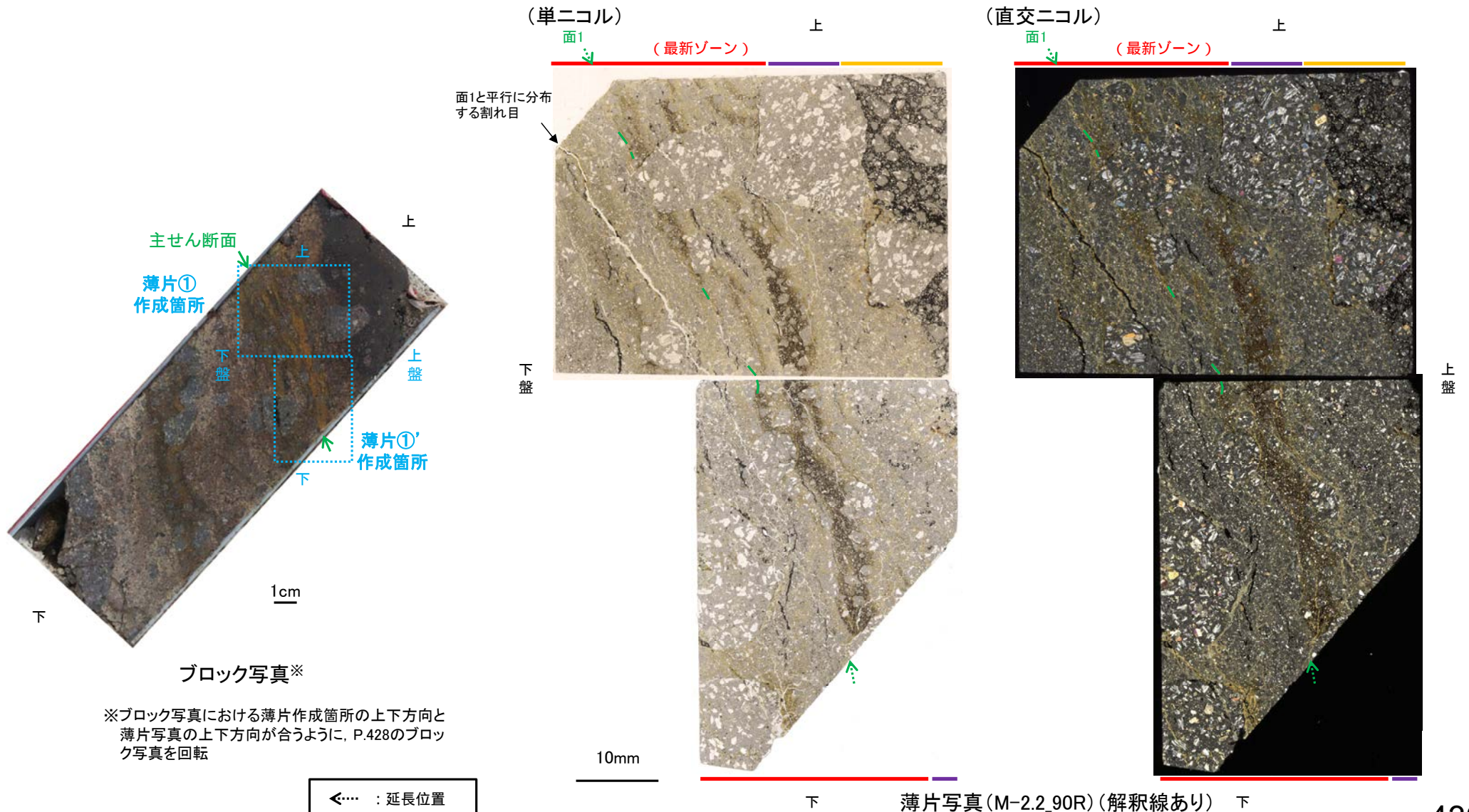
5.2.9 K-3 M-2.2孔 ー最新ゾーンと分帯Ⅰ，分帯Ⅲとの境界ー

○薄片①で実施した微視的観察(薄片観察)の結果，最新ゾーンと分帯Ⅰ，分帯Ⅲとの境界は不明瞭で漸移的であり，せん断面は認められない。



5.2.9 K-3 M-2.2孔 一面1と平行に分布する割れ目

- 薄片①及び①'で実施した微視的観察(薄片観察)の結果, 面1と平行に分布する割れ目が認められる。
- 薄片①においてこの割れ目を詳細に観察した結果, 割れ目沿いに分布する粘土鉱物(I/S混合層)に変形は認められず, さらに, 割れ目を挟んで上盤側と下盤側に分布する岩片は, 元々同一の岩片であり, 変位は認められない(次頁)。
- また, 薄片①'においてこの割れ目を詳細に観察した結果, 割れ目は薄片上部~中央の一部で不連続になり, 薄片下部でせん滅する(次々頁)。
- 以上を踏まえると, この割れ目は断層活動によって生じたせん断面ではない。



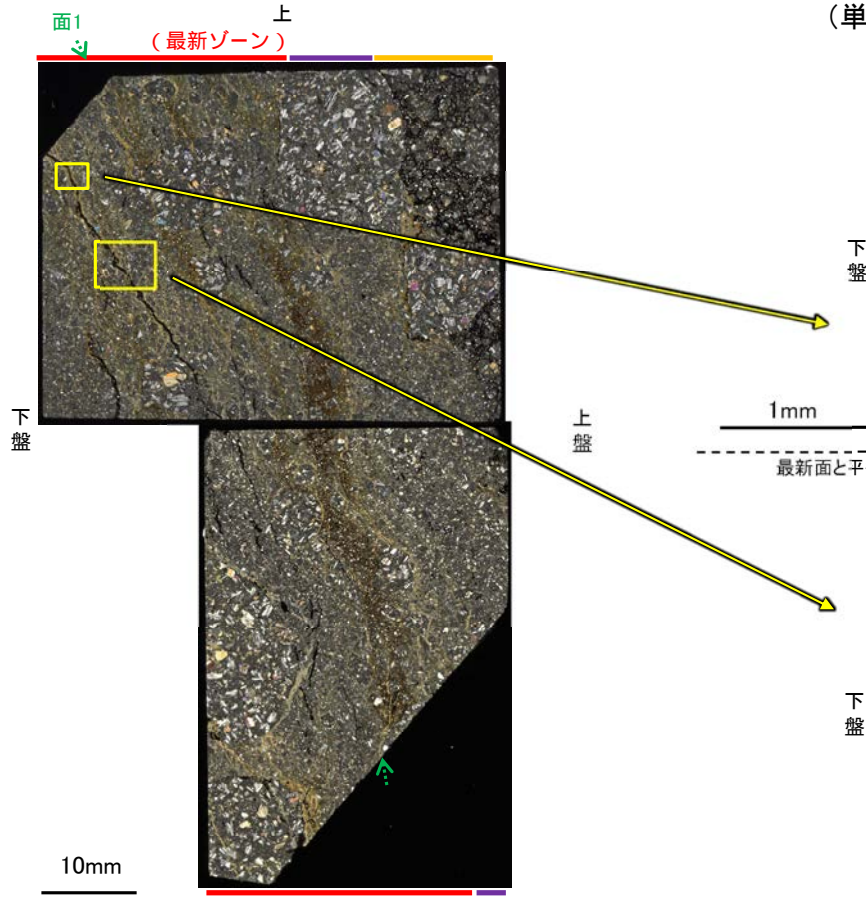
※ブロック写真における薄片作成箇所の上下方向と薄片写真の上下方向が合うように, P.428のブロック写真を回転

←… : 延長位置

*薄片①'の解釈線なしの写真はP.440, 441 (上:薄片①, 下:薄片①')

K-3_M-2.2孔

(直交ニコル)

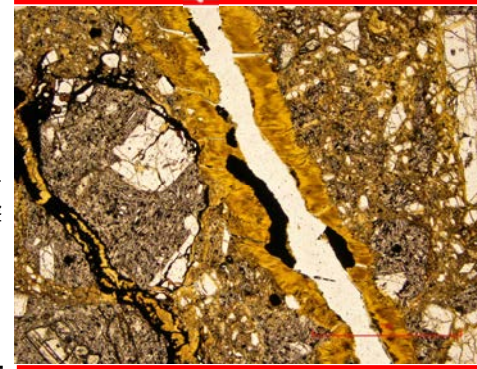


【薄片①(詳細観察)】

(単ニコル)

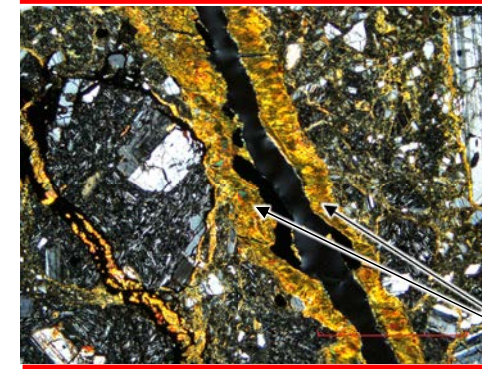
最新面と平行に
分布する割れ目

(最新ゾーン)



(直交ニコル)

(最新ゾーン)

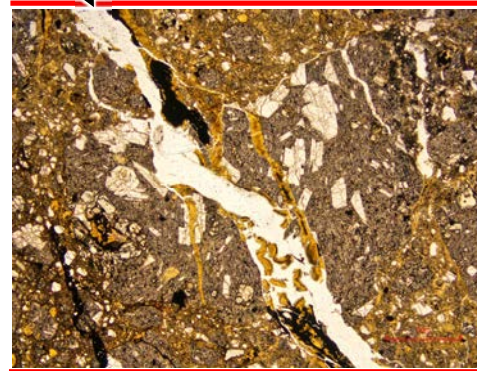


上盤

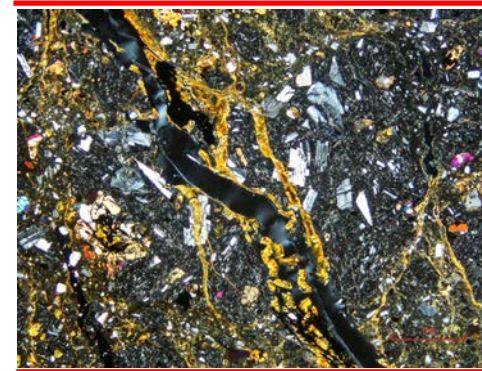
割れ目沿いに分布する
粘土鉱物(I/S混合層)
に変形は認められない。

最新面と平行に分布する割れ目

(最新ゾーン)

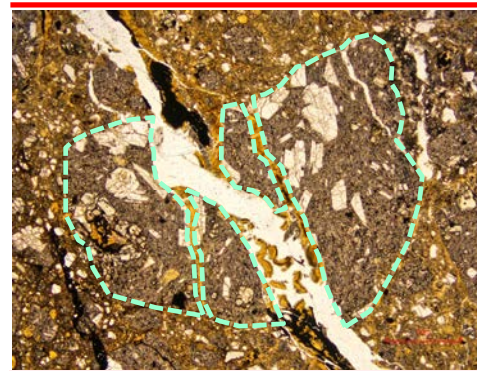


(最新ゾーン)

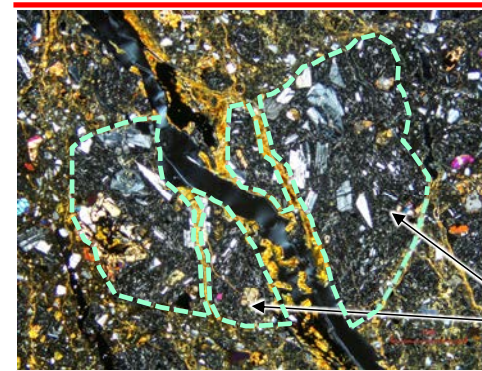


上盤

(最新ゾーン)



(最新ゾーン)



上盤

割れ目を挟んで上盤側と
下盤側に分布する岩片は、
元々同一の岩片であり、
変位は認められない。

薄片写真(M-2.2.90R)
(上:薄片①, 下:薄片①')

←… : 延長位置

・薄片①において最新面と平行に分布する割れ目を詳細に観察した結果、割れ目沿いに分布する粘土鉱物(I/S混合層)に変形は認められず、さらに、割れ目を挟んで上盤側と下盤側に分布する岩片は、元々同一の岩片であり、変位は認められない。

1mm

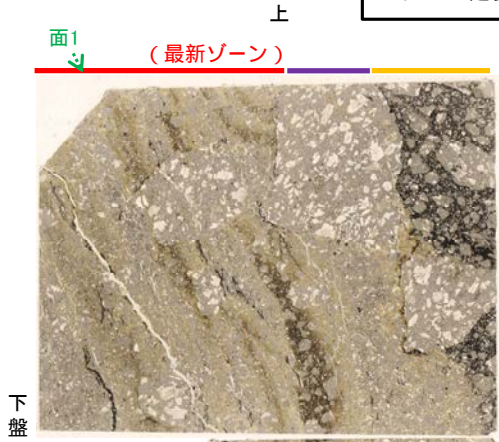
(下は岩片周縁をトレース)

K-3_M-2.2孔

【薄片①' (詳細観察)】

(単ニコル)

←… : 延長位置



下盤

上盤

10mm

薄片写真(M-2.2.90R)
(上: 薄片①, 下: 薄片①')

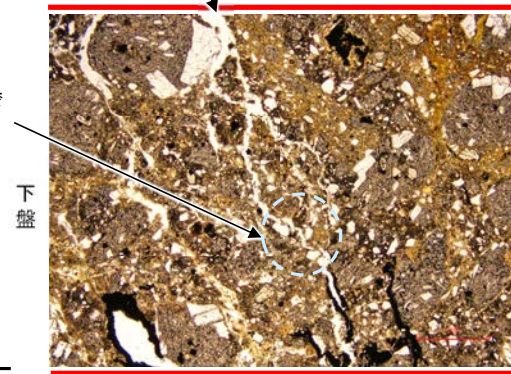
(単ニコル) 最新面と平行に分布する割れ目

(最新ゾーン)

(直交ニコル)

(最新ゾーン)

割れ目が一部で不連続になる。



下盤

上盤

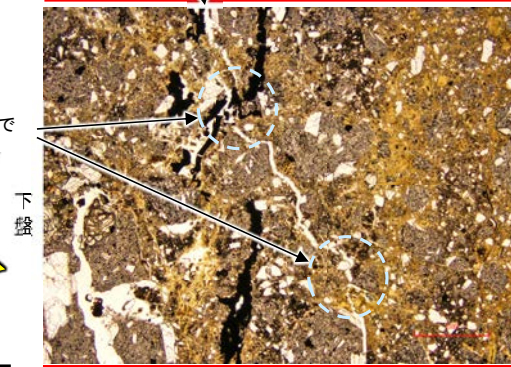
1mm

最新面と平行に分布する割れ目

(最新ゾーン)

(最新ゾーン)

割れ目が一部で不連続になる。



下盤

上盤

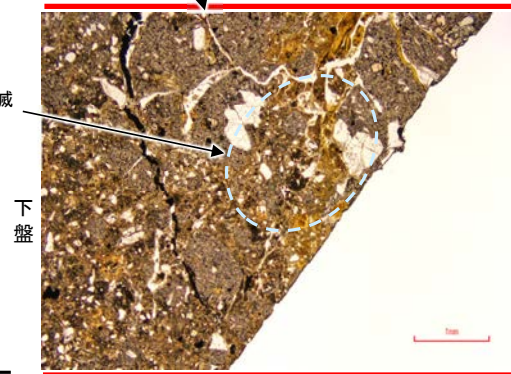
1mm

最新面と平行に分布する割れ目

(最新ゾーン)

(最新ゾーン)

割れ目がせん滅する。



下盤

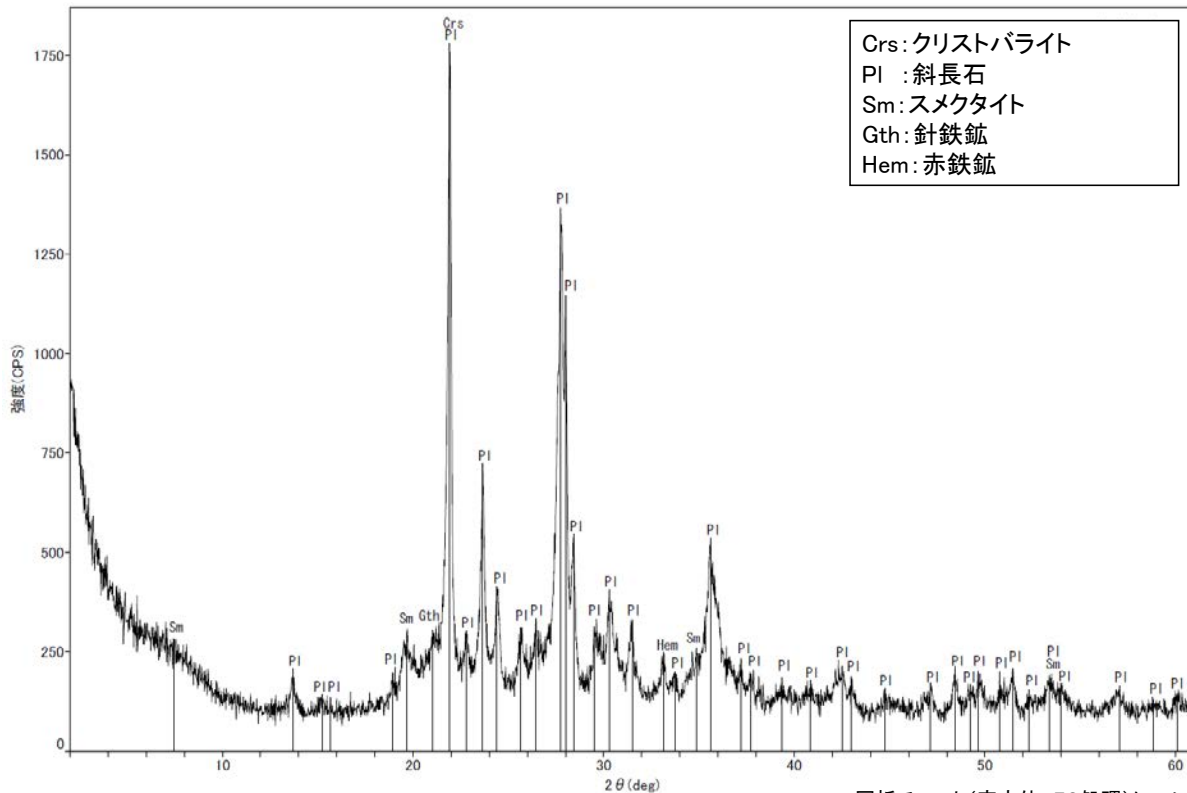
上盤

1mm

・薄片①'において最新面と平行に分布する割れ目を詳細に観察した結果、割れ目は薄片上部～中央の一部で不連続になり、薄片下部でせん滅する。

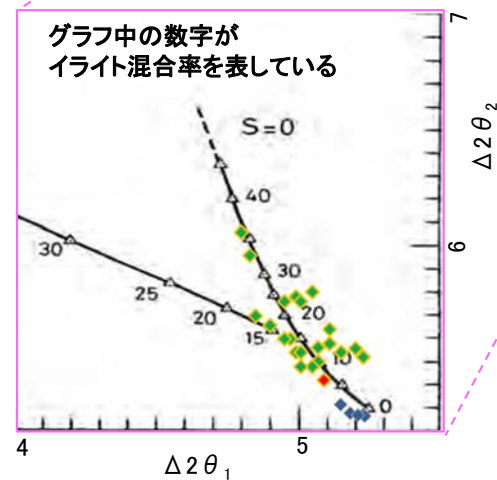
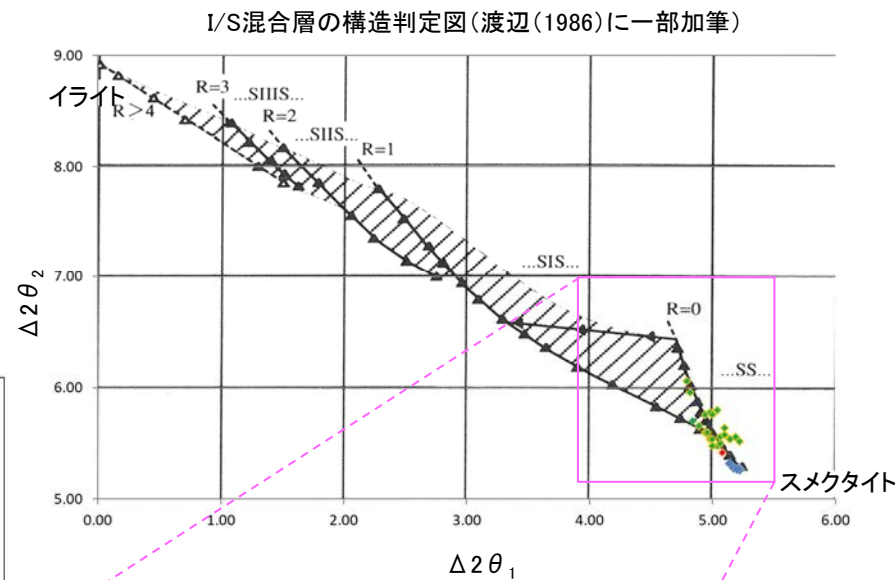
5.2.9 K-3 M-2.2孔 ー 鉱物の同定(XRD分析) ー

○最新ゾーン付近でXRD分析を実施した結果、主な粘土鉱物としてスメクタイトが認められる。
○スメクタイトについて詳細な結晶構造判定を行うために、薄片作成箇所と隣接する位置においてXRD分析(粘土分濃集)を実施した結果、I/S混合層と判定した。



回折チャート(不定方位)_M-2.2孔

・回折チャート(定方位, EG処理)については、
補足資料5.2-12(1) P.5.2-12-43



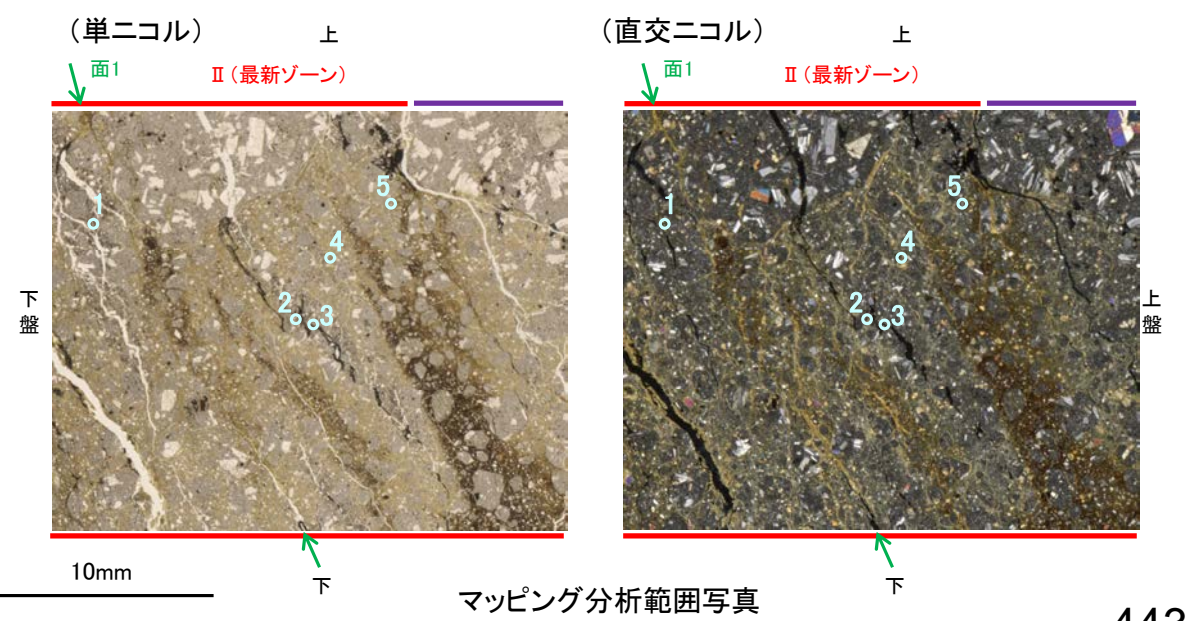
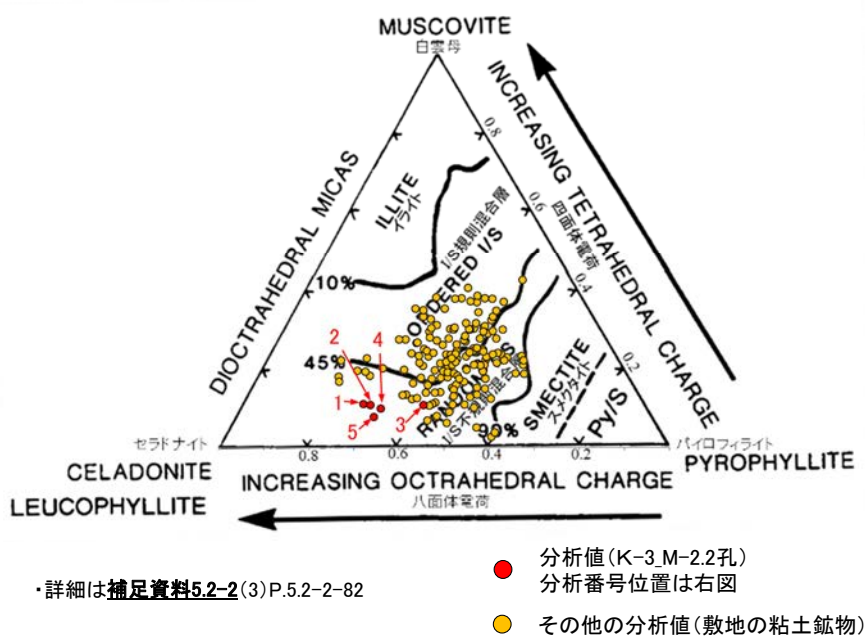
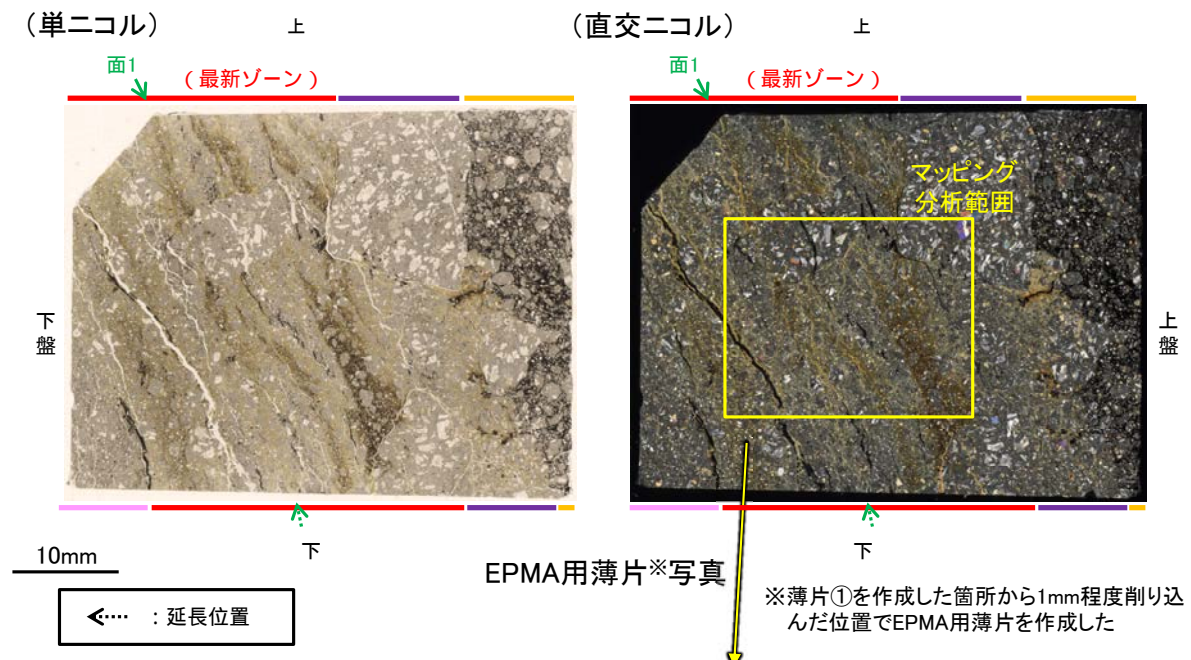
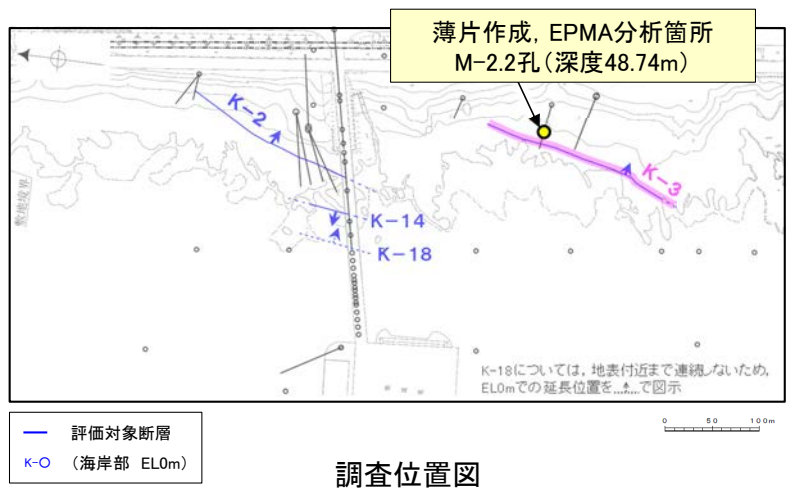
- ◆ K-3(M-2.2孔)
- ◆ 敷地の粘土鉱物
- ◆ 標準的なスメクタイト
Nakata et al.(2019)

・K-3試料の詳細検討結果は
補足資料5.2-2(2) P.5.2-2-50

I/S混合層の構造判定図(渡辺(1981)に一部加筆)

5.2.9 K-3 M-2.2孔 ー 鉱物の同定(EPMA分析(定量)) ー

○EPMA用薄片で実施したEPMA分析(定量)による化学組成の検討結果から、最新ゾーンやその周辺に分布する粘土鉱物はI/S混合層であると判断した。

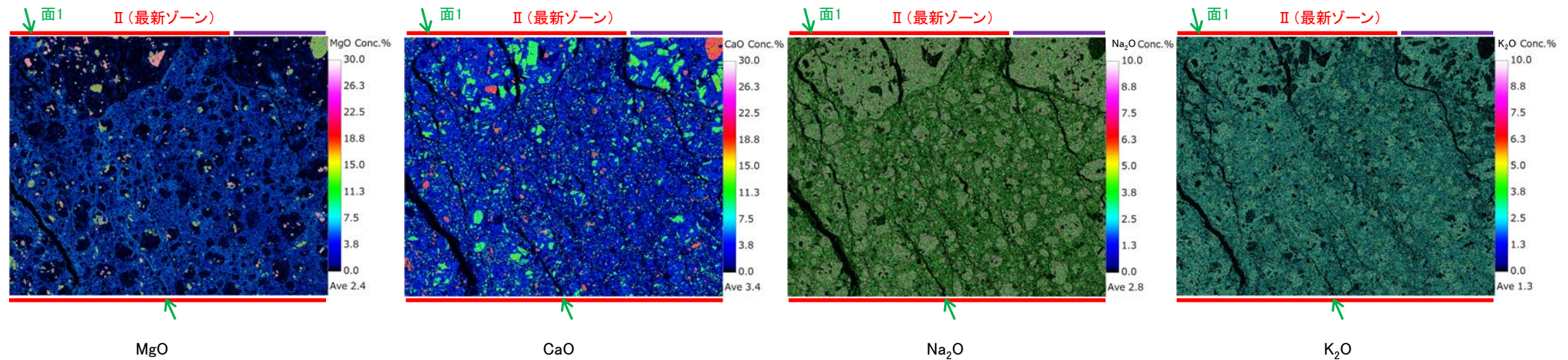
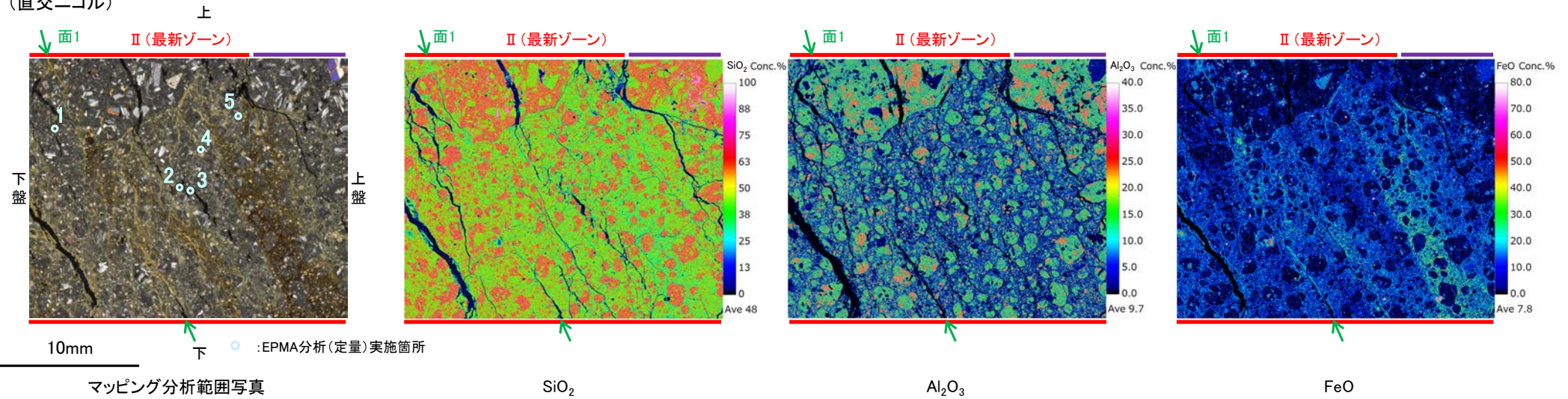


二八面体型雲母粘土鉱物及び関連鉱物の化学組成 (Srodon et al. (1984)に一部加筆)

5.2.9 K-3 M-2.2孔 ー変質鉱物の分布(EPMA分析(マッピング))ー

○EPMA用薄片でEPMA分析(マッピング)を実施した結果, EPMA分析(定量)で認められたI/S混合層が最新ゾーンやその周辺に分布していることを確認した。

(直交ニコル)



5.2.9 K-3 M-2.2孔 ー変質鉱物の分布(薄片観察)ー

○薄片①で実施した薄片観察や、EPMA用薄片で実施したEPMA分析(マッピング)における化学組成の観点での観察により、粘土鉱物(I/S混合層)の分布範囲を確認した結果、粘土鉱物(I/S混合層)が最新ゾーンやその周辺に分布している。

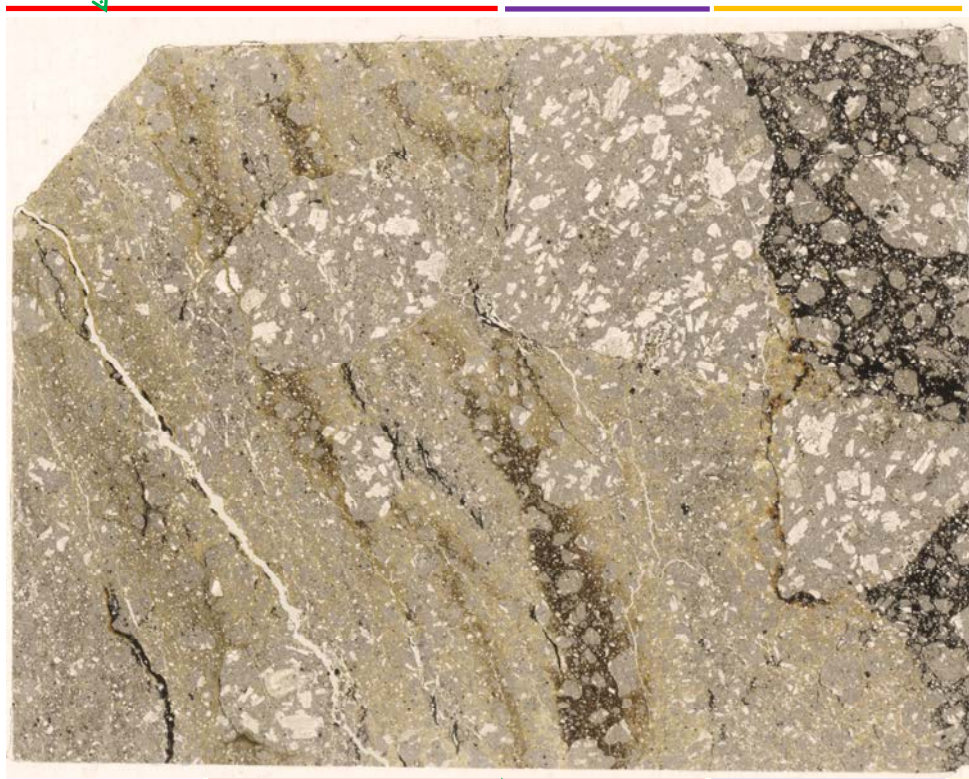
○この粘土鉱物(I/S混合層)と最新ゾーンとの関係を確認する。

(単ニコル)

上

面1

(最新ゾーン)



下盤

10mm

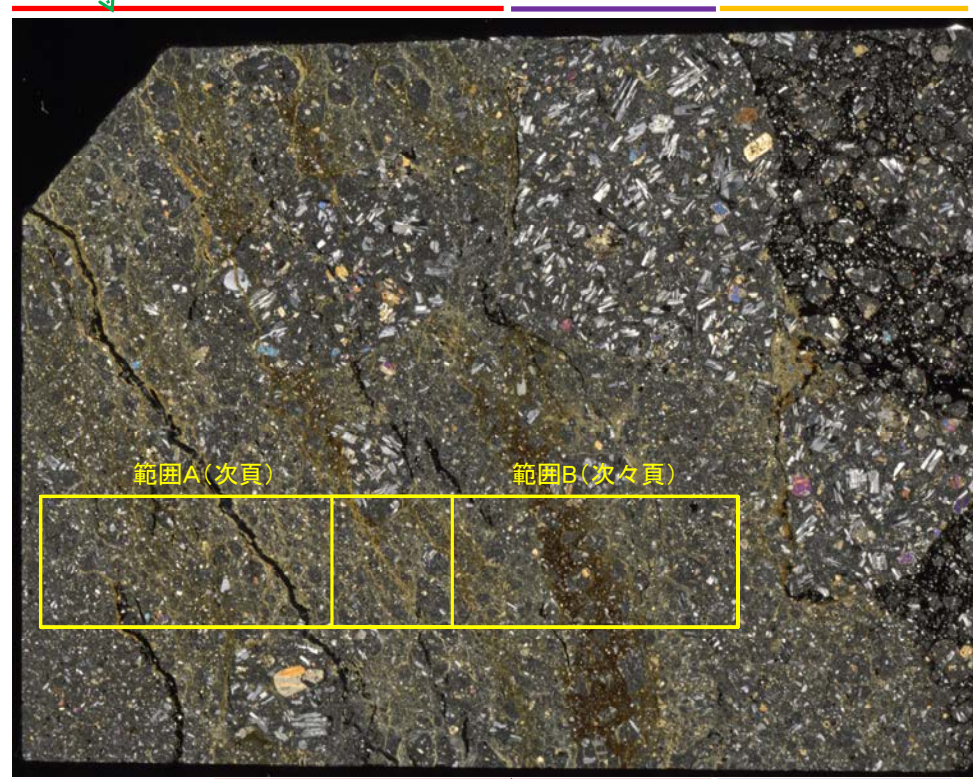
下

(直交ニコル)

上

面1

(最新ゾーン)



上盤

下

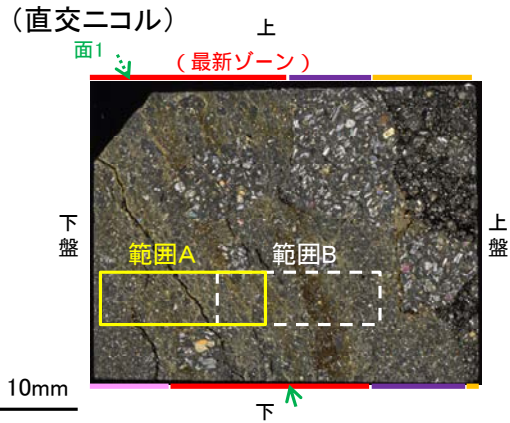
薄片①写真(M-2.2_90R)

←… : 延長位置

5.2.9 K-3 M-2.2孔 ー最新ゾーンとI/S混合層との関係ー

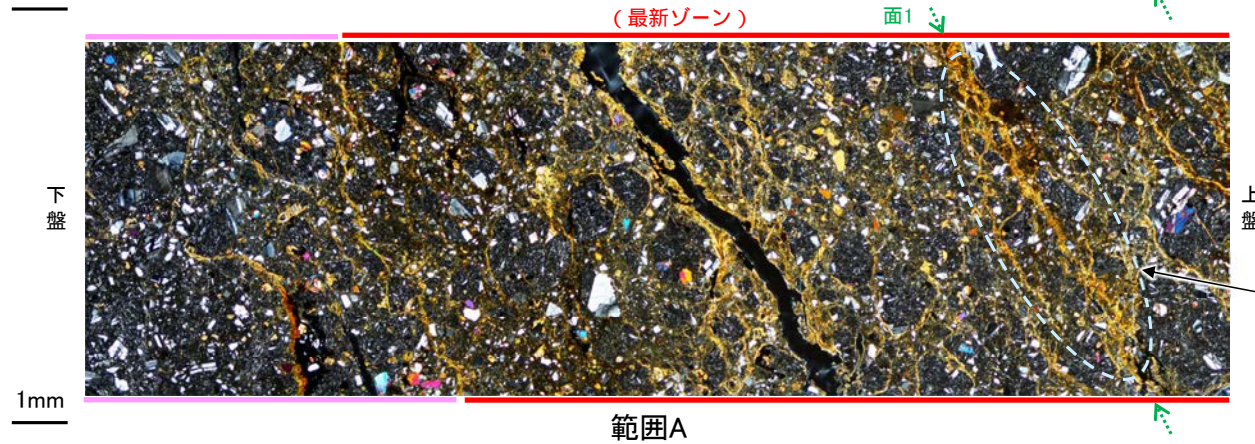
○最新ゾーンにおいて詳細に観察した結果、基質中や割れ目、岩片の縁辺部に粘土鉱物(I/S混合層)が網目状に分布し、最新ゾーン中の粘土鉱物(I/S混合層)に変位・変形は認められない。

【範囲A】

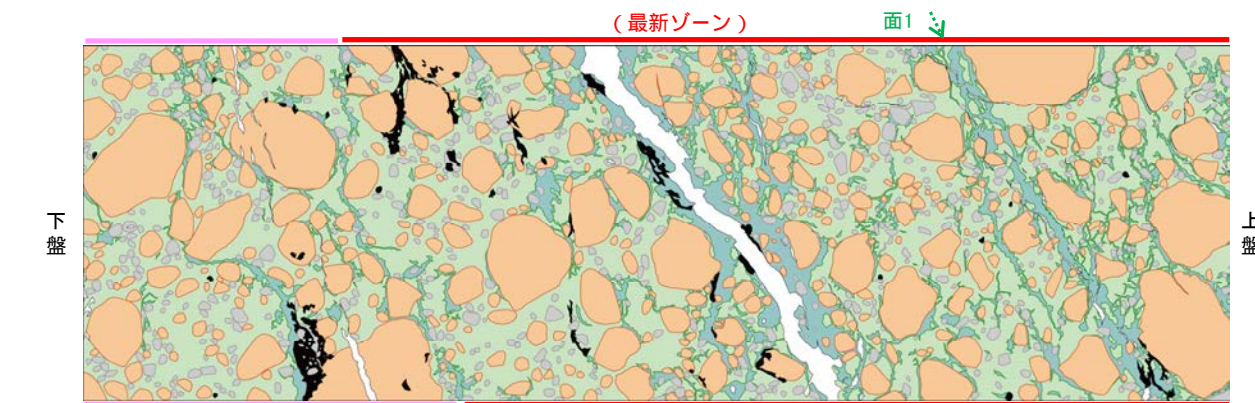


薄片①写真(M-2.2_90R)

←… : 延長位置



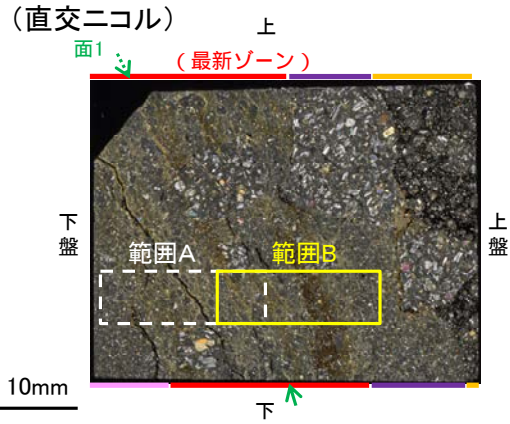
・非常に不明瞭ではあるものの最新ゾーンの中では比較的連続性がよい面1を横断して粘土鉱物(I/S混合層)が分布し、面1が不連続になっており、不連続箇所の粘土鉱物(I/S混合層)にせん断面や引きずりなどの変形は認められない。



- 凡例
- 主要な岩片
 - 変質部(I/S混合層)
 - 斜長石などの鉱物片
 - 主要な岩片等を除く基質部
 - 不透明鉱物
 - 空隙部

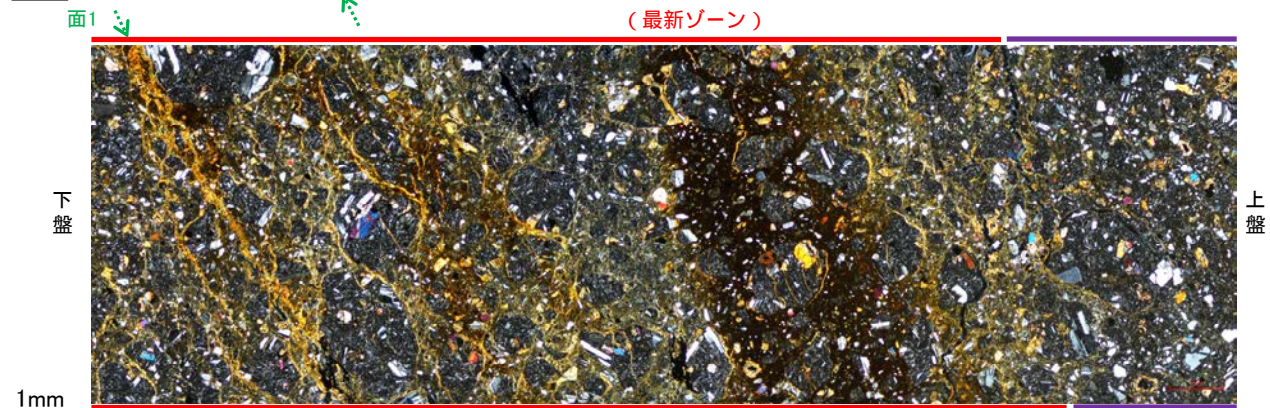
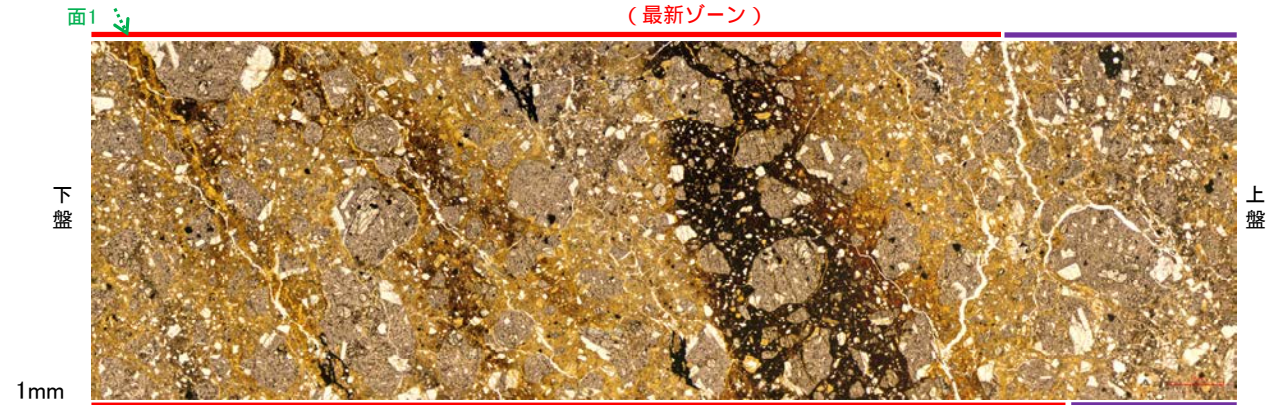
K-3_M-2.2孔

【範囲B】

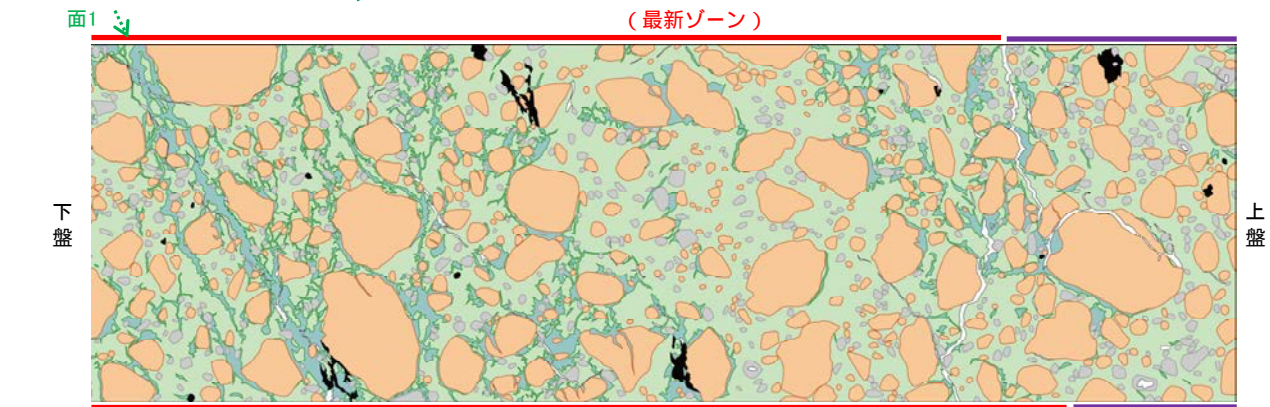


薄片①写真(M-2.2_90R)

←… : 延長位置



範囲B (最新ゾーン)



スケッチ

- 凡例
- 主要な岩片
 - 変質部 (I/S混合層)
 - 斜長石などの鉱物片
 - 主要な岩片等を除く基質部
 - 不透明鉱物
 - 空隙部

5.2.10 K-14

5.2.10 K-14の鉱物脈法による評価地点

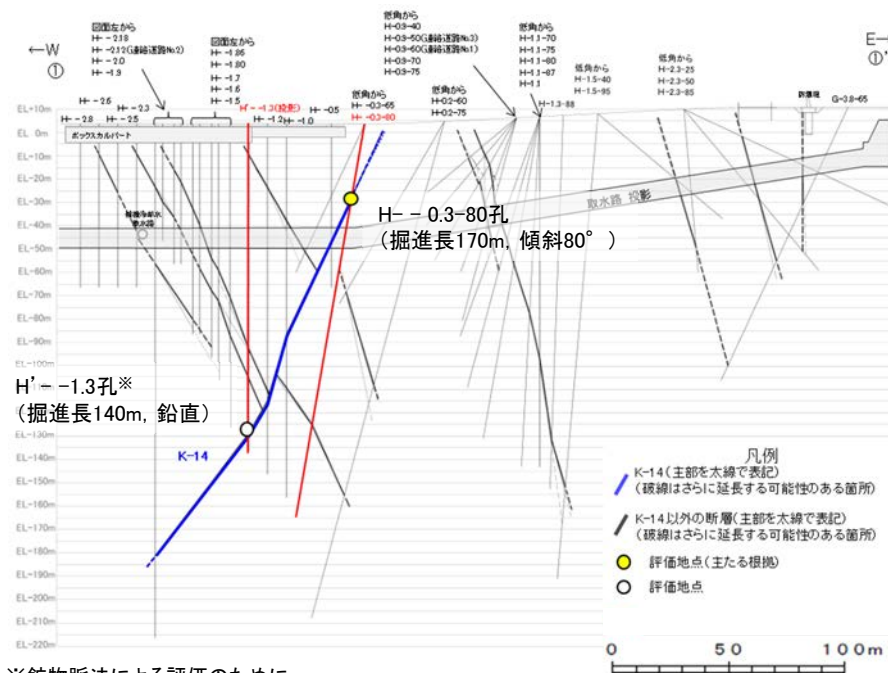
■ 鉱物脈法による評価地点

○ H- -0.3-80孔において、K-14の最新ゾーンに少なくとも後期更新世以降に生成されたものではないと評価した変質鉱物であるI/S混合層が認められたことから、断層活動(最新面)と変質鉱物との関係による評価を行った。

○ また、その他の調査地点(H' - -1.3孔)についても評価を行った。

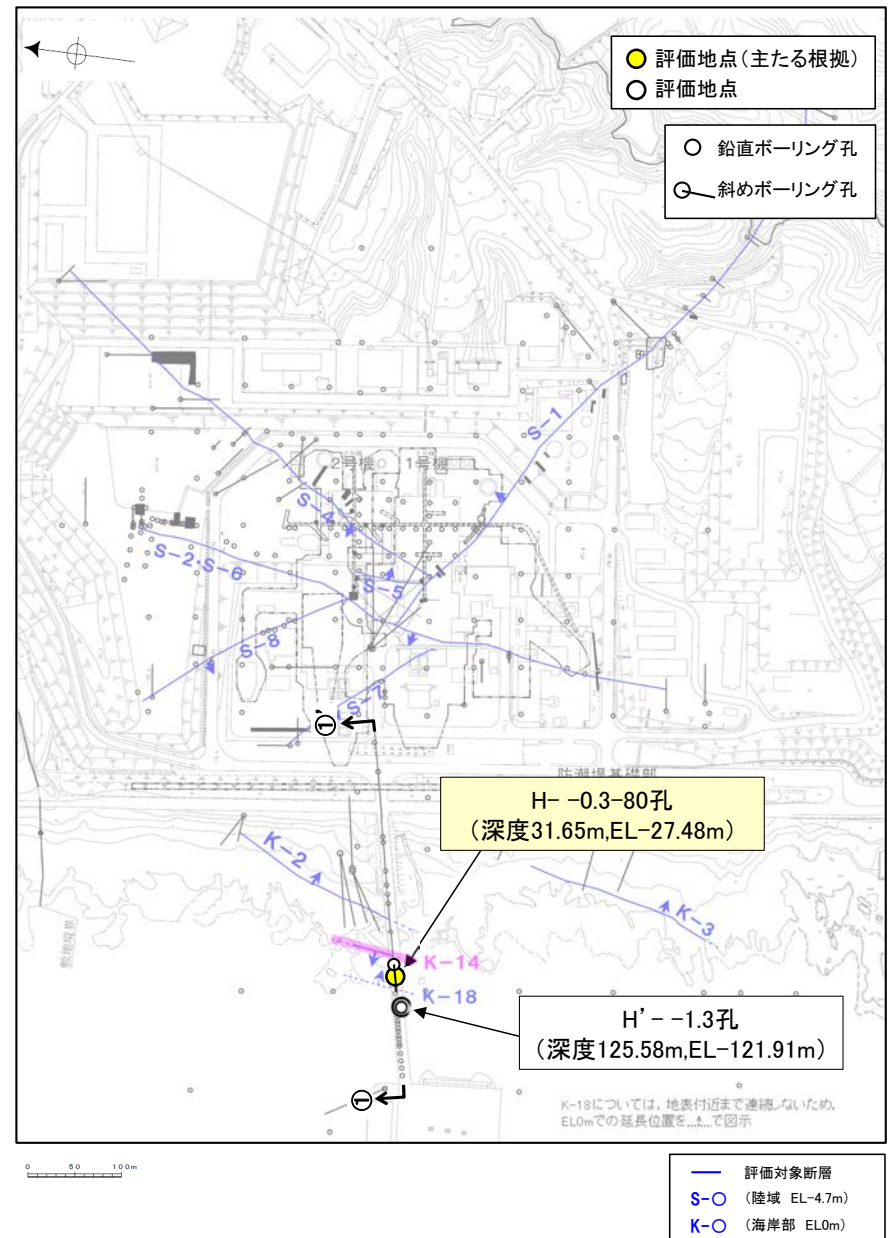
評価地点	記載頁
H- -0.3-80孔 (深度31.65m,EL-27.48m)	P.450~460
H' - -1.3孔 (深度125.58m,EL-121.91m)	補足資料5.2-10(1)-1

黄色網掛け: 主たる根拠として用いたもの



※ 鉱物脈法による評価のために実施したボーリング

①-①' 断面図



H- -0.3-80孔のボーリング柱状図、コア写真、BHTVIは、[データ集1.2.3](#)
H' - -1.3孔のK-14想定深度付近のコア写真は、[補足資料5.2-12\(3\)](#)

位置図

5.2.10 K-14 H- -0.3-80孔 ー評価結果ー

【最新面の認定】

○H- -0.3-80孔の深度31.60m付近で認められるK-14において、巨視的観察及び微視的観察を実施し、最新ゾーンの下盤側の境界に最新面を認定した(P.451~454)。

【鉱物の同定】

○微視的観察により確認した粘土鉱物は、EPMA分析(定量)による化学組成の検討結果及びXRD分析(粘土分濃集)による結晶構造判定結果から、I/S混合層であると判断した(P.455, 456)。

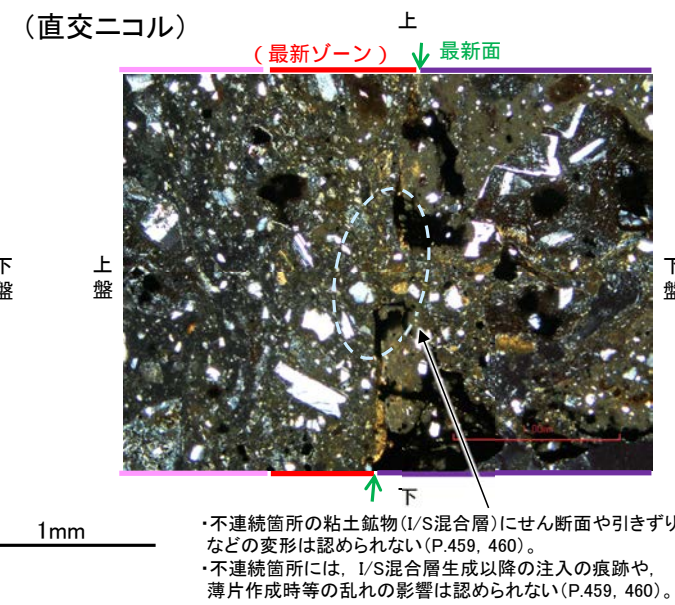
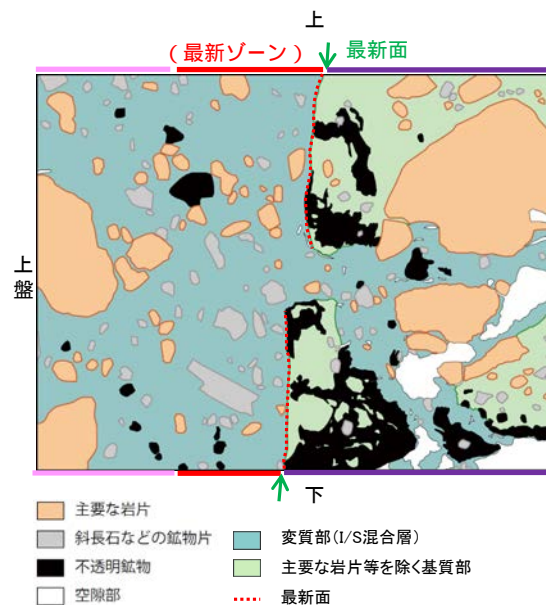
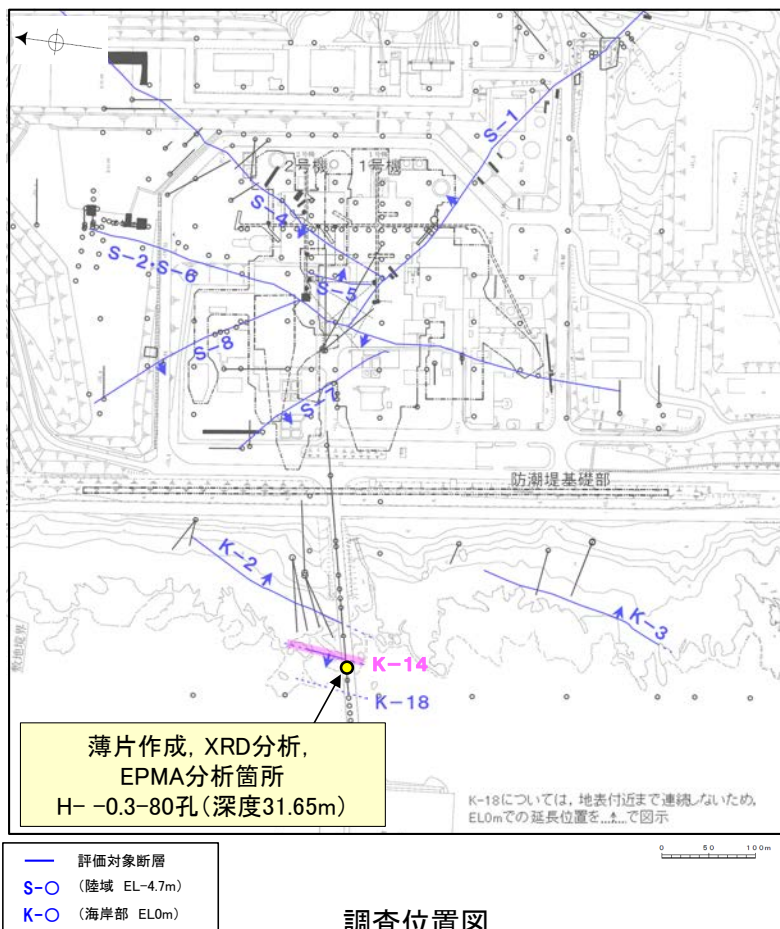
【変質鉱物の分布と最新面との関係】

○EPMA分析(マッピング)や薄片観察により、粘土鉱物(I/S混合層)の分布範囲を確認した結果、粘土鉱物(I/S混合層)は最新ゾーン及びその周辺に分布している(P.457, 458)。

○粘土鉱物(I/S混合層)が最新面を横断して分布し、最新面が不連続になっており、不連続箇所の粘土鉱物(I/S混合層)に変位・変形は認められない(P.459, 460)。

○以上のことを踏まえると、K-14の最新活動は、I/S混合層の生成以前である。

紫字: 第935回審査会合以降の変更箇所



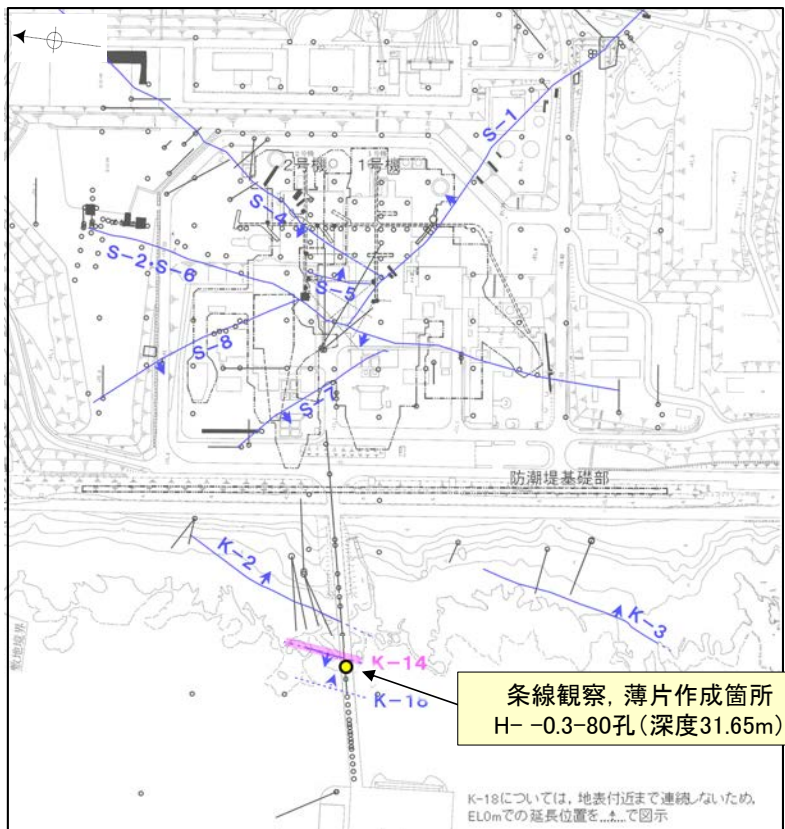
詳細観察範囲写真

5.2.10 K-14 H- -0.3-80孔 —最新面の認定(巨視的観察)—

○H- -0.3-80孔の深度31.60m付近で認められるK-14において、巨視的観察(ボーリングコア観察, CT画像観察)を実施し、最も直線性・連続性がよい断層面を主せん断面として抽出した。

○主せん断面における条線観察の結果, 87° R, 107° Rの2つの条線方向が確認されたことから、最も明瞭な107° Rの条線方向で薄片を作成した(ブロック写真)。

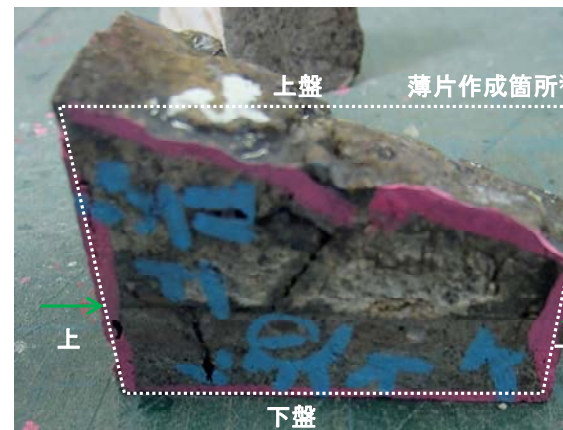
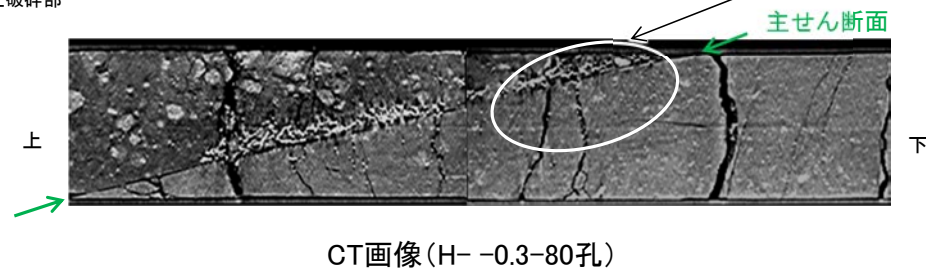
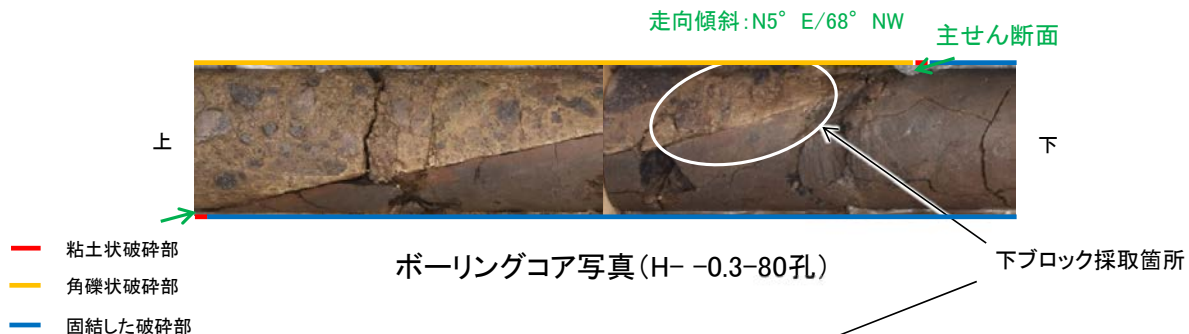
(深度) 31.4 31.5 31.6 31.7 31.8 (m)



- 評価対象断層
- S-O (陸域 EL-4.7m)
- K-O (海岸部 EL0m)

・条線観察結果については補足資料5.2-12(2)-8

調査位置図



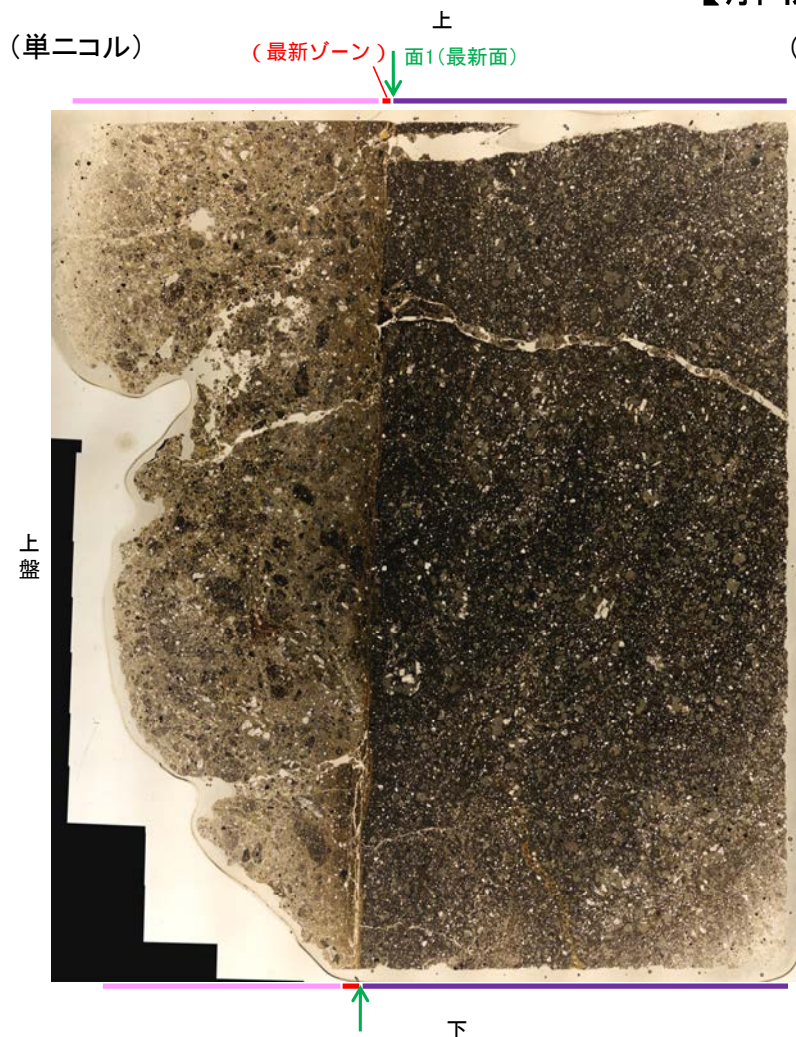
※図示した箇所では薄片①を作成し、向かい合った反対側の面でEPMA用薄片を作成した

5.2.10 K-14 H- -0.3-80孔 ー最新面の認定(微視的観察)ー

- 薄片①で実施した微視的観察(薄片観察)の結果, 色調や礫径などから, 上盤側よりⅠ～Ⅲに分帯した。
- そのうち, 最も細粒化している1mm以下の薄層である分帯Ⅱを最新ゾーンとして抽出した。
- 最新ゾーンと分帯Ⅲとの境界に, 面1が認められる。面1は薄片上部では不明瞭となり連続性に乏しいが, 最新ゾーンの中では比較的直線性がよい面である。
- 最新ゾーンと分帯Ⅰとの境界は, 不明瞭で漸移的であり, せん断面は認められない*。
- 以上より, 面1を最新面と認定し, 変質鉱物との関係を確認する。

※最新ゾーンと分帯Ⅰとの境界についての詳細は次々頁

【解釈線なし】



分帯とコア観察における破碎部区分との対応	
・分帯Ⅱ(最新ゾーン)	…粘土状破碎部
・分帯Ⅰ	…角礫状破碎部
・分帯Ⅲ	…固結した破碎部

Ⅰ: 単ニコルで褐灰～暗灰色, 直交ニコルで灰色の干渉色を呈する凝灰岩からなる。径5mm以下の岩片や鉱物片が細粒な基質中に含まれる。岩片, 鉱物片は垂角～垂円形である。粘土状破碎部との境界付近は比較的細粒化が進んでいる。一部の基質中や岩片の縁辺部に粘土鉱物が生成している。また, 単ニコルで褐灰色, 直交ニコルで暗灰色を呈する物質が, 岩片の間を充填する。

Ⅱ(最新ゾーン): 単ニコルで灰～褐灰色, 直交ニコルで褐灰～黄色の干渉色を呈する, 粘土鉱物を含む細粒物からなる。径1mm以下の岩片や鉱物片が細粒な基質中に含まれる。岩片, 鉱物片は垂角～垂円形である。基質中や割れ目に粘土鉱物が生成している。

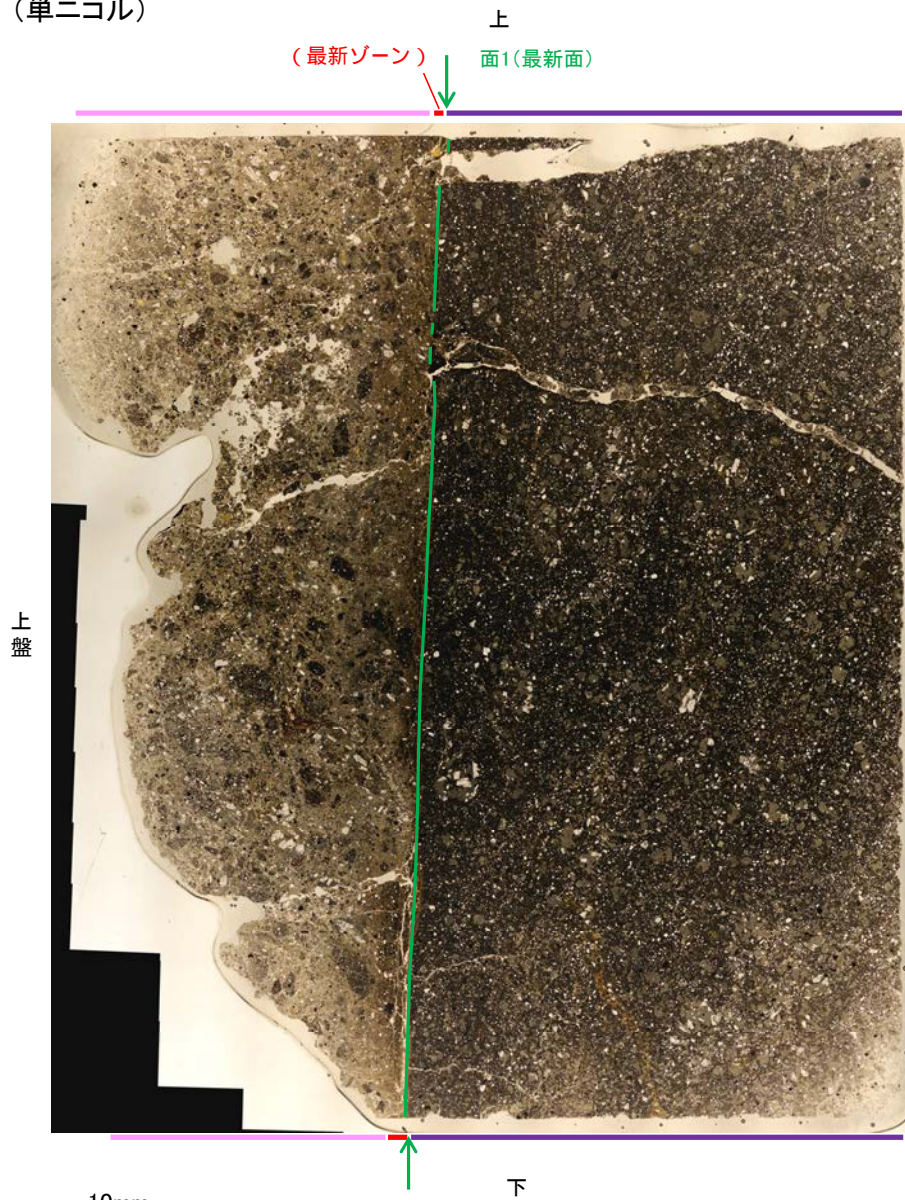
Ⅲ: 単ニコルで褐灰～暗灰色, 直交ニコルで灰色の干渉色を呈する凝灰岩からなる。径4mm以下の岩片や鉱物片が細粒な基質中に含まれる。岩片, 鉱物片は垂角～垂円形である。粘土状破碎部との境界付近は比較的細粒化が進んでいる。一部の割れ目沿いに粘土鉱物が生成している。

薄片①写真(H- -0.3-80_107R)

K-14_H- -0.3-80孔

【解釈線あり】

(単ニコル)



(直交ニコル)

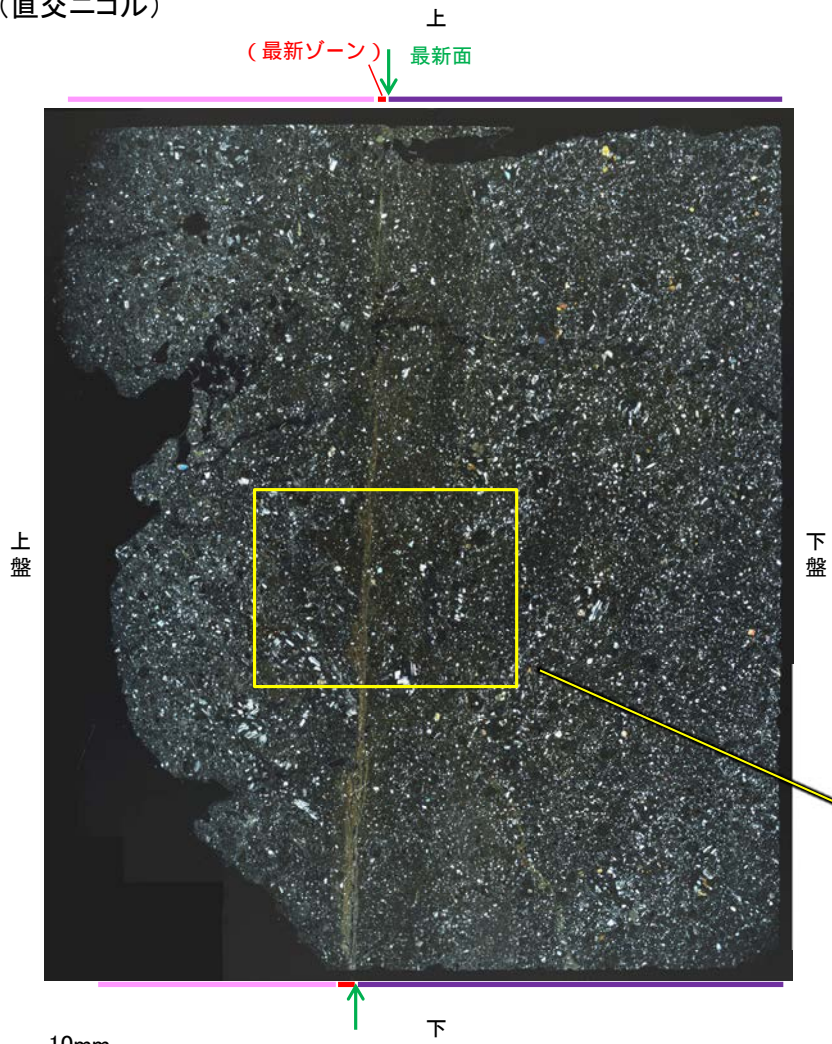


薄片①写真(H- -0.3-80_107R)

5.2.10 K-14 H- -0.3-80孔 -最新ゾーンと分帯 I との境界-

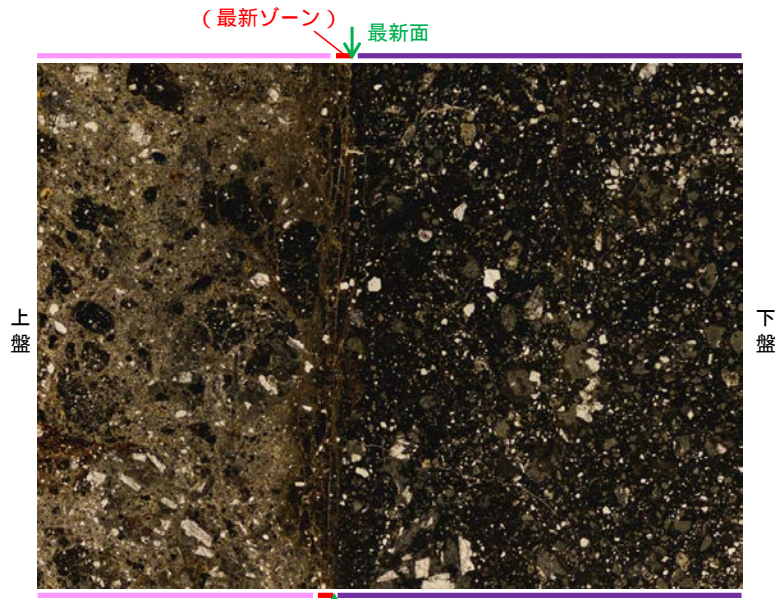
○薄片①で実施した微視的観察(薄片観察)の結果, 最新ゾーンと分帯 I との境界は不明瞭で漸移的であり, せん断面は認められない。

(直交ニコル)

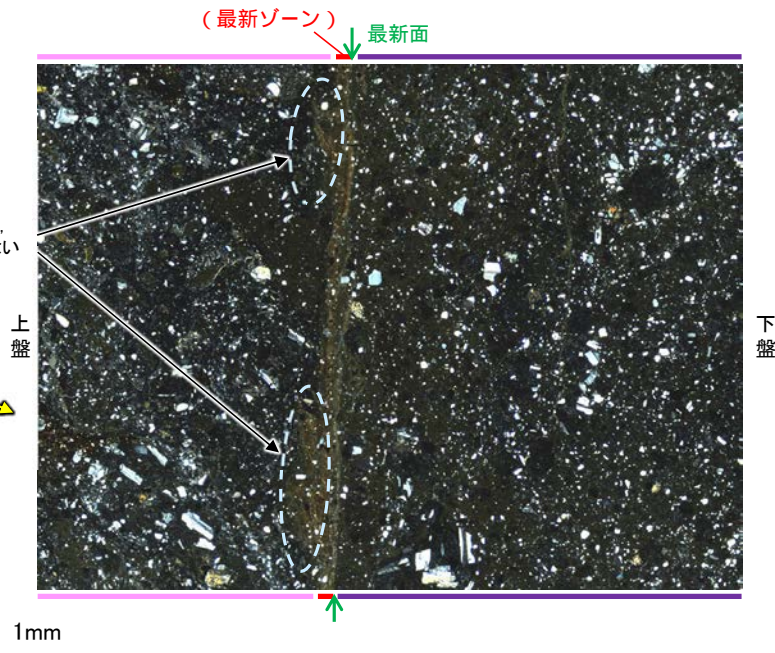


薄片①写真(H- -0.3-80_107R)

(単ニコル)

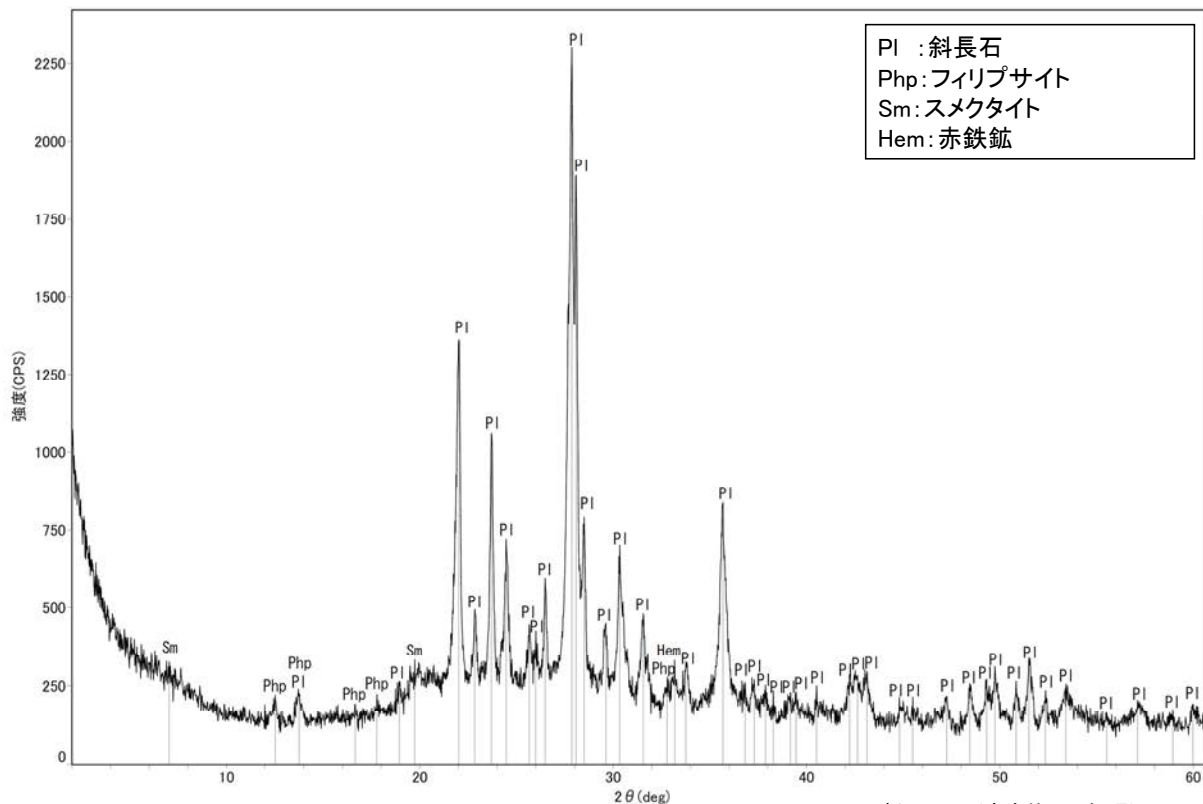
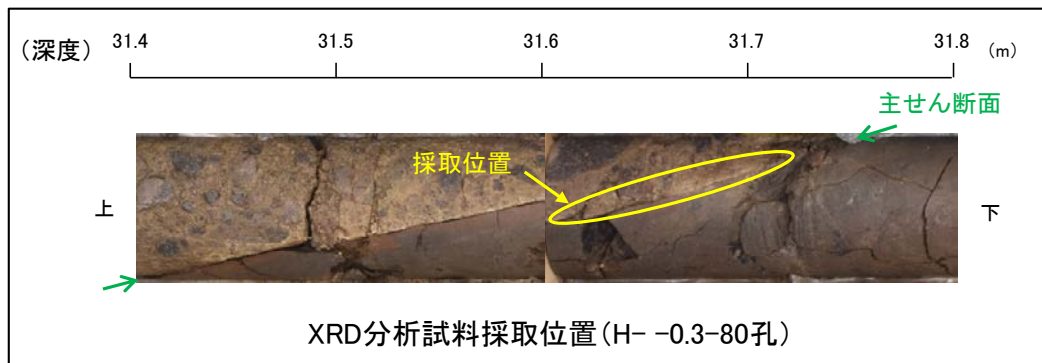


(直交ニコル)



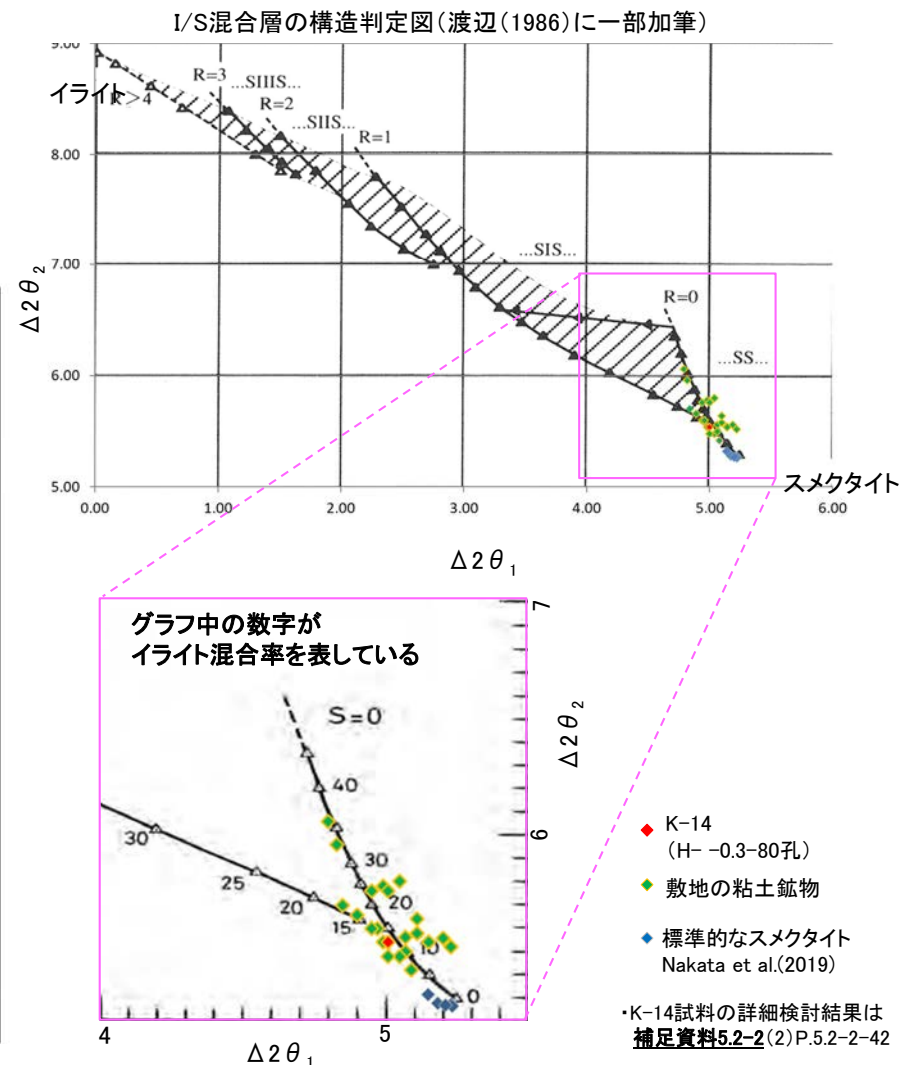
5.2.10 K-14 H- -0.3-80孔 ー 鉱物の同定 (XRD分析) ー

○最新ゾーン付近でXRD分析を実施した結果, 主な粘土鉱物としてスメクタイトが認められる。
○スメクタイトについて詳細な結晶構造判定を行うために, 薄片作成箇所と隣接する位置においてXRD分析(粘土分濃集)を実施した結果, I/S混合層と判定した。



回折チャート(不定方位) H- -0.3-80孔

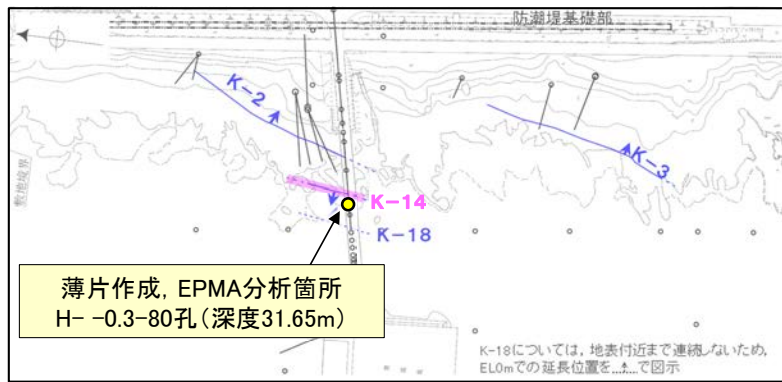
・回折チャート(定方位, EG処理)については,
補足資料5.2-12(1) P.5.2-12-45



I/S混合層の構造判定図(渡辺(1981)に一部加筆)

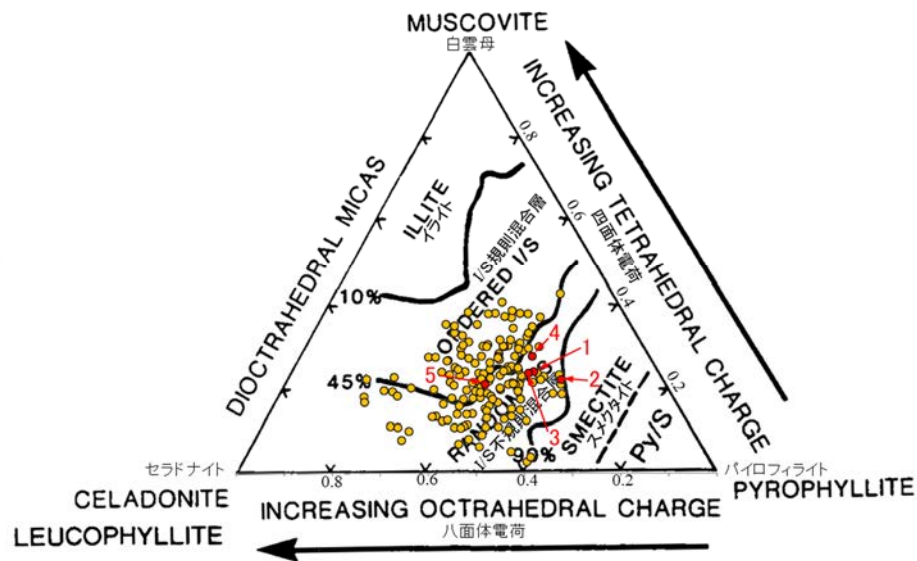
5.2.10 K-14 H- -0.3-80孔 — 鉱物の同定 (EPMA分析 (定量)) —

○EPMA用薄片で実施したEPMA分析 (定量) による化学組成の検討結果から、最新ゾーンやその周辺に分布する粘土鉱物はI/S混合層であると判断した。



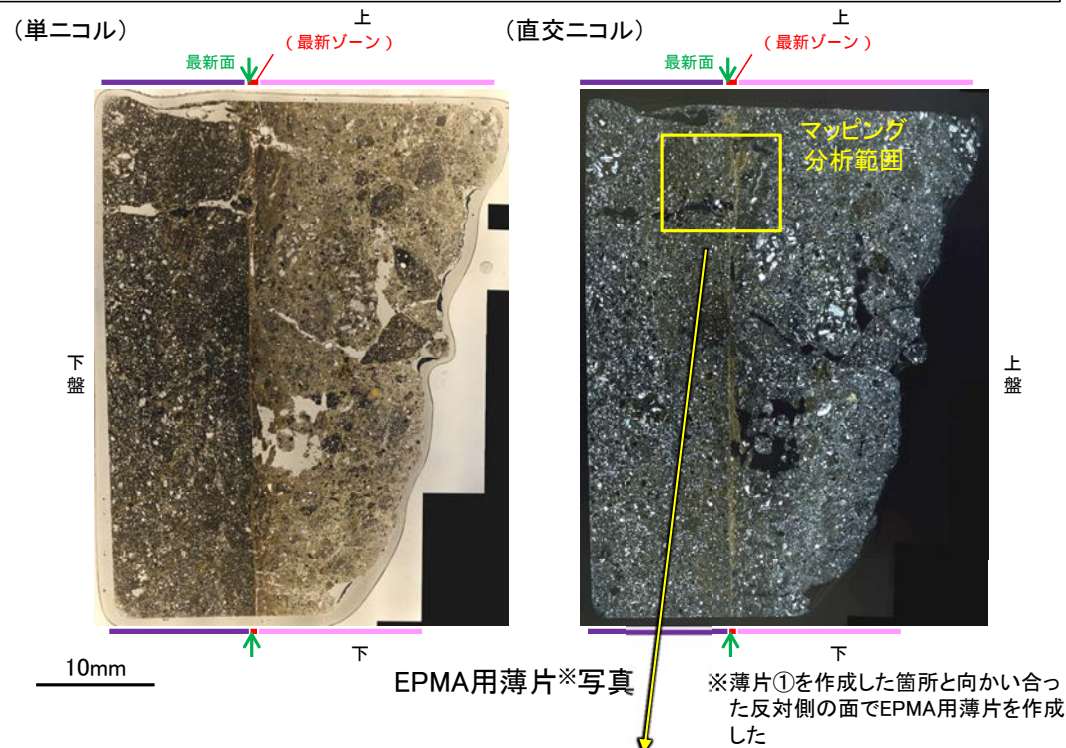
— 評価対象断層
K-O (海岸部 EL0m)

調査位置図



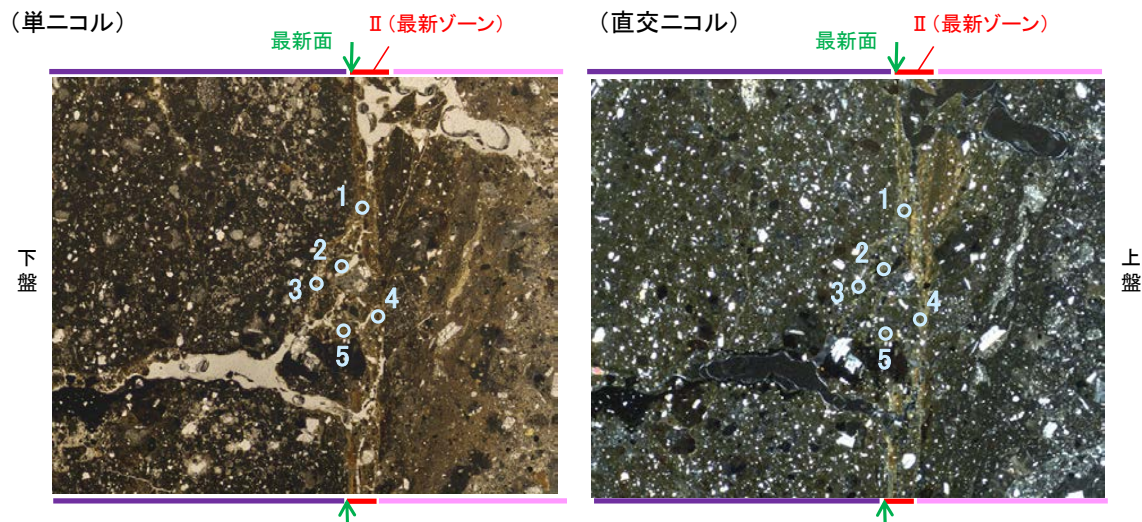
● 分析値 (K-14 H- -0.3-80孔)
● 分析番号位置は右図
● その他の分析値 (敷地の粘土鉱物)

2八面体型雲母粘土鉱物及び関連鉱物の化学組成 (Srodon et al. (1984) に一部加筆)



EPMA用薄片*写真

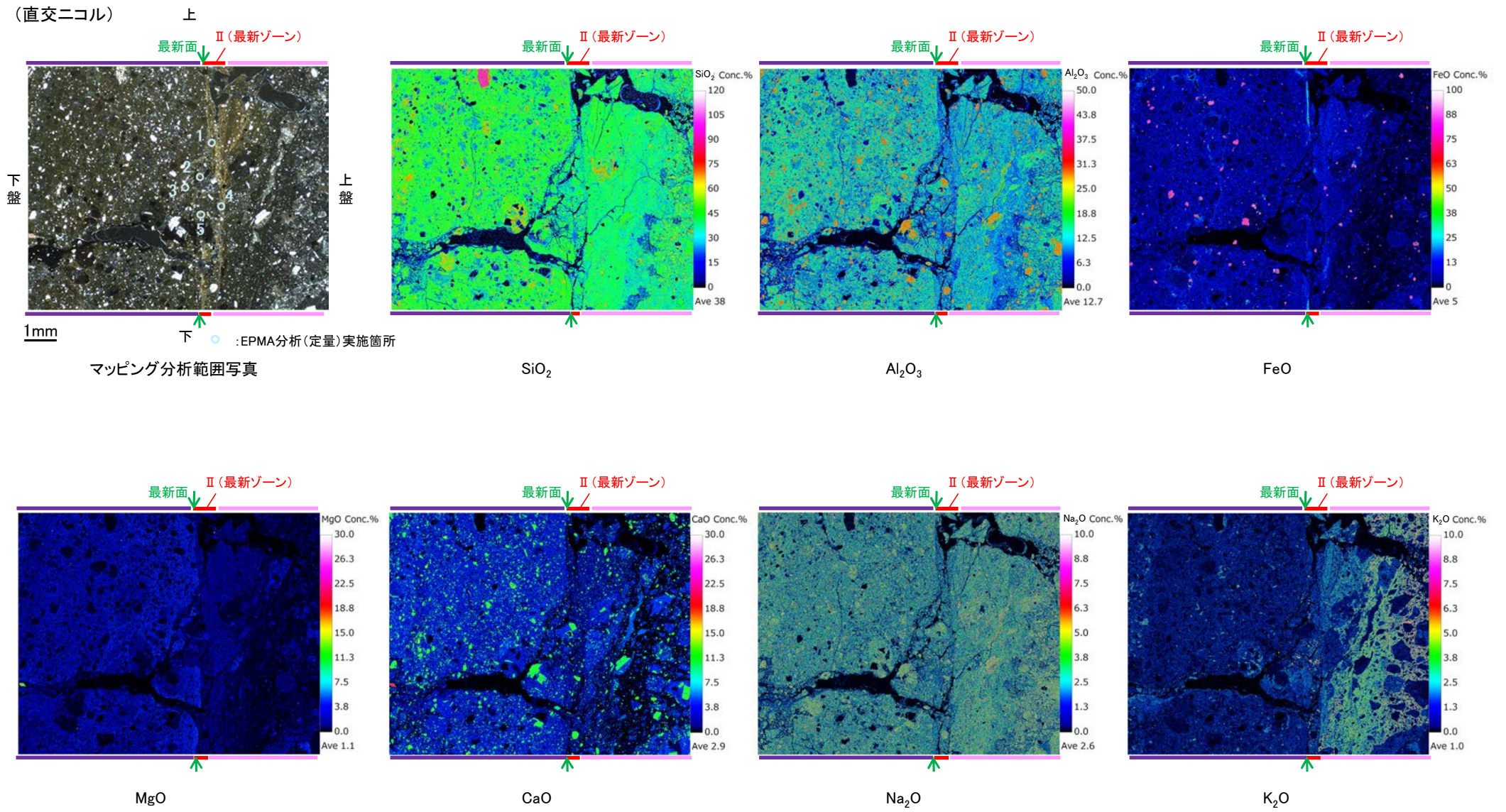
※薄片①を作成した箇所と向かい合った反対側の面でEPMA用薄片を作成した



マッピング分析範囲写真

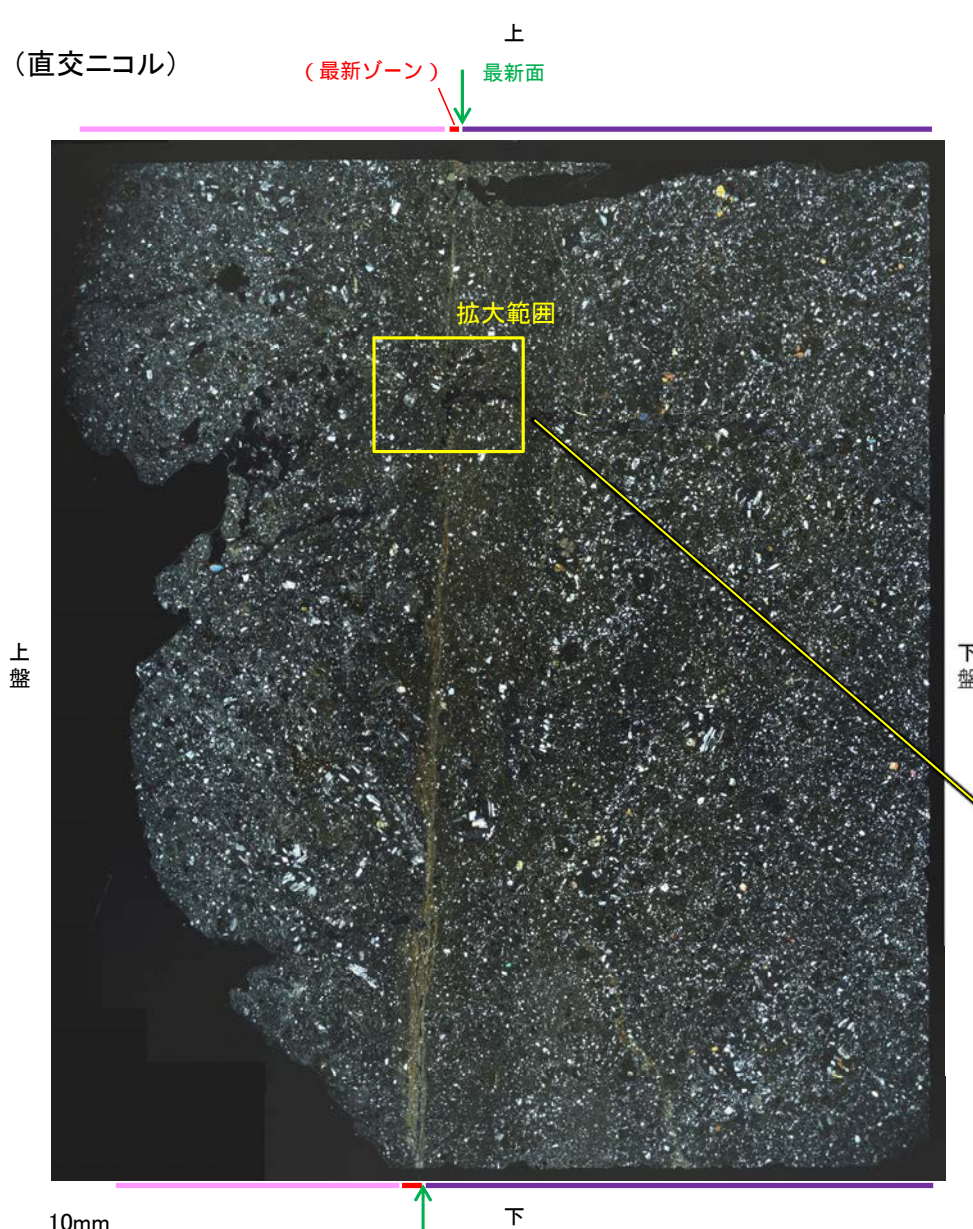
5.2.10 K-14 H- -0.3-80孔 ー変質鉱物の分布(EPMA分析(マッピング))ー

○EPMA用薄片でEPMA分析(マッピング)を実施した結果, EPMA分析(定量)で認められたI/S混合層が最新ゾーンやその周辺に分布していることを確認した。

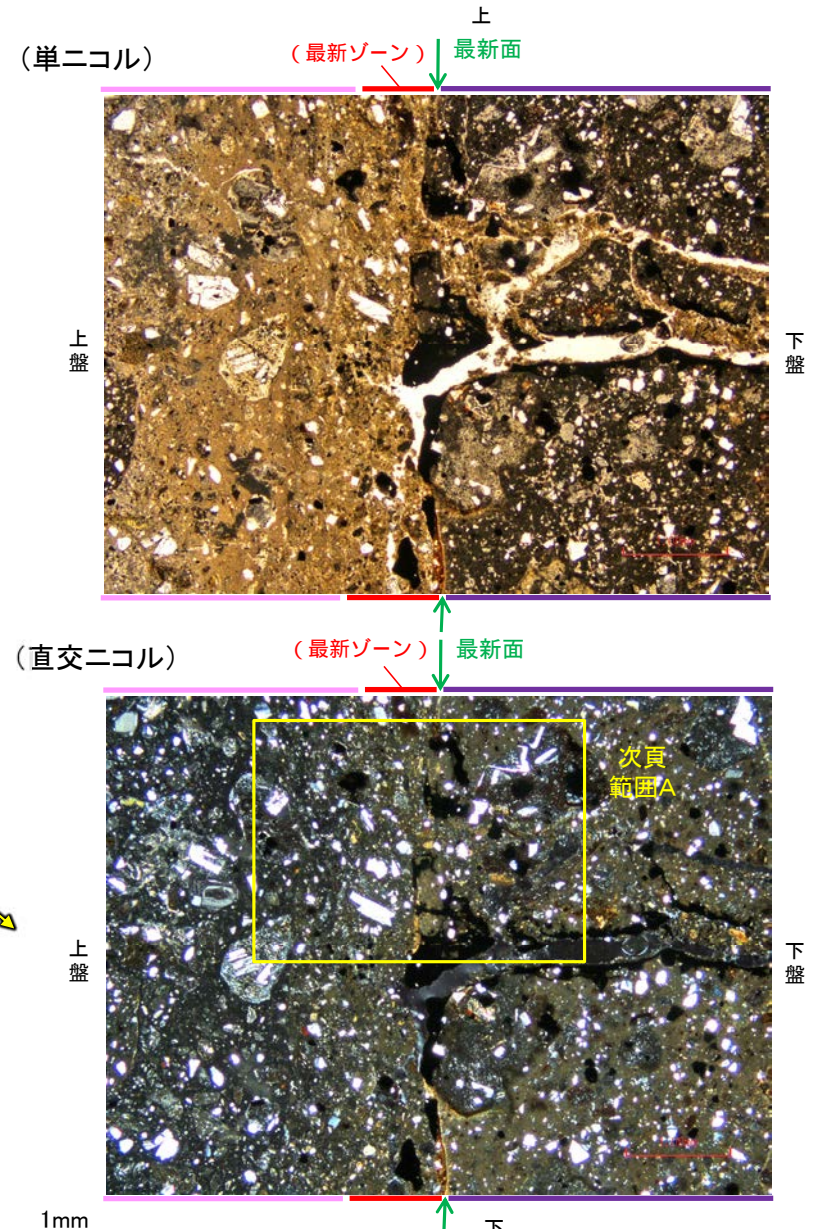


5.2.10 K-14 H- -0.3-80孔 ー変質鉱物の分布(薄片観察)ー

○薄片①で実施した薄片観察や、EPMA用薄片で実施したEPMA分析(マッピング)における化学組成の観点での観察により、粘土鉱物(I/S混合層)の分布範囲を確認した結果、粘土鉱物(I/S混合層)は最新ゾーンやその周辺に分布している。
○この粘土鉱物(I/S混合層)と最新面との関係を確認する。



薄片①写真(H- -0.3-80_107R)

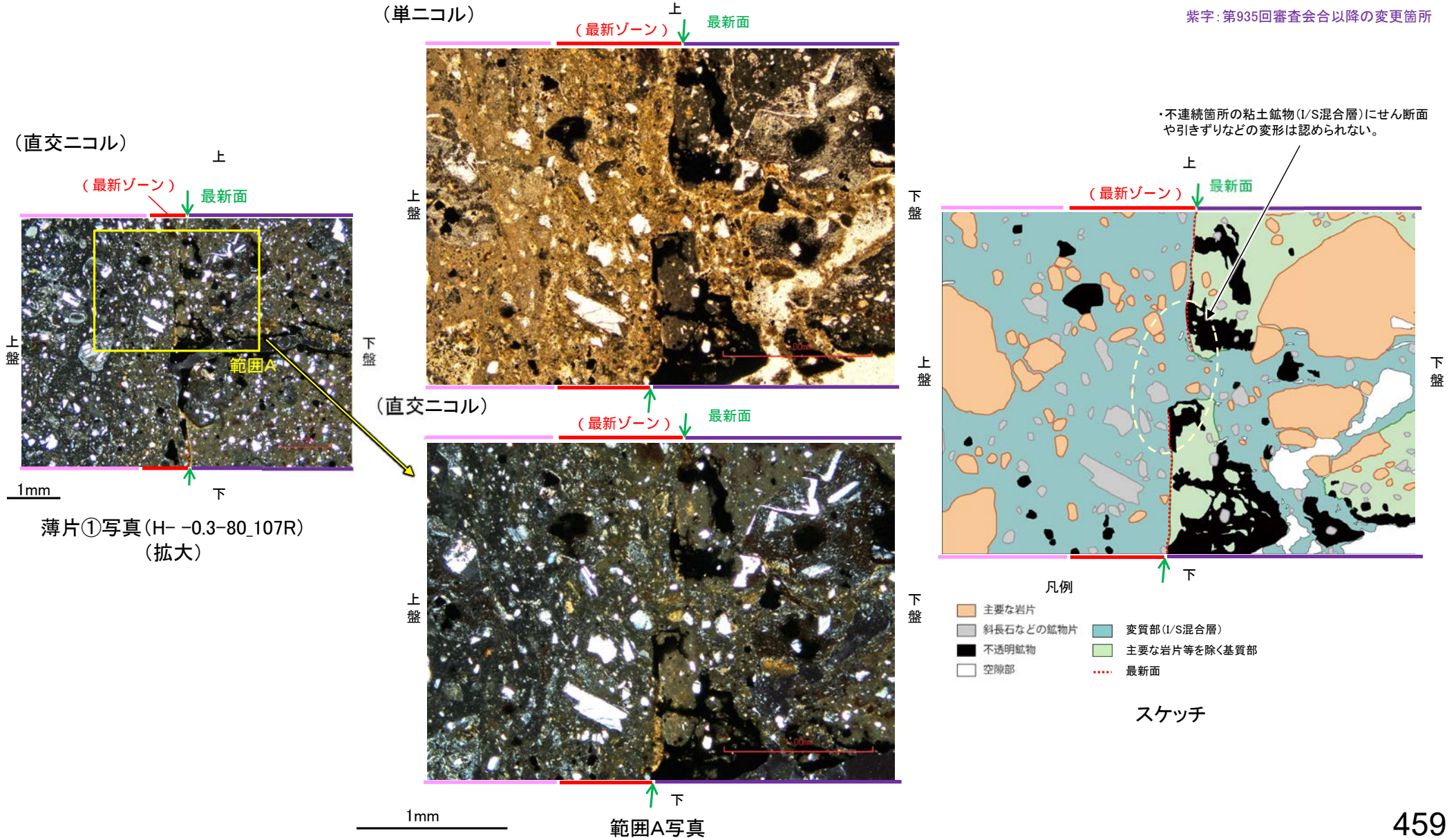


薄片①写真(H- -0.3-80_107R) (拡大)

5.2.10 K-14 H- -0.3-80孔 ー最新面とI/S混合層との関係(範囲A)ー

- 範囲Aにおいて詳細に観察した結果、粘土鉱物(I/S混合層)が最新面を横断して分布し、最新面が不連続になっており、不連続箇所の粘土鉱物(I/S混合層)にせん断面や引きずりなどの変形は認められない。
- なお、不連続箇所においてI/S混合層生成以降の注入現象の有無を確認した結果、弓状構造や粒子の配列などの注入の痕跡は認められない。
- さらに、薄片作成時等に生じた空隙は、明確に認定できる最新面が不連続になる箇所の粘土鉱物(I/S混合層)の構造に影響を与えていないことから、不連続箇所は薄片作成時等の乱れの影響を受けていないと判断した。

紫字: 第935回審査会合以降の変更箇所

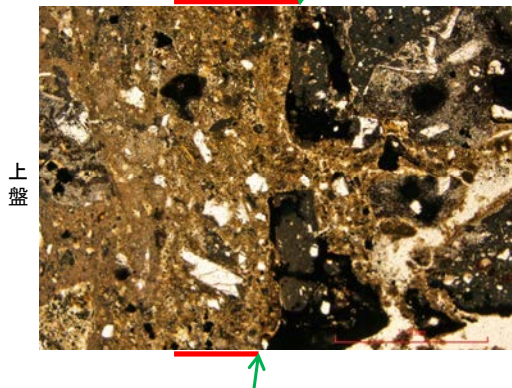


K-14_H- -0.3-80孔

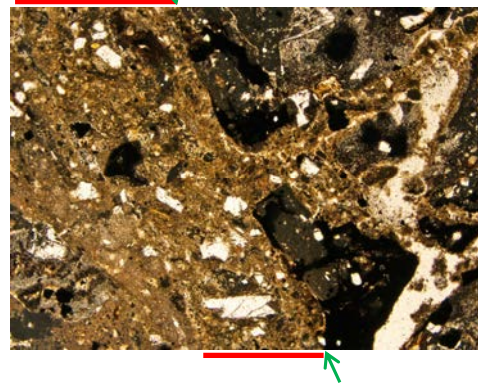
【ステージ回転(範囲A)】

(単ニコル)

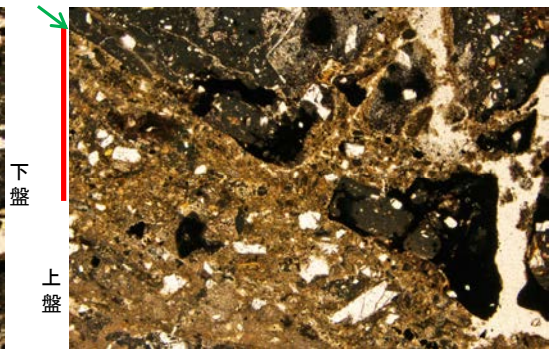
II (最新ゾーン) ↓ 最新面



II (最新ゾーン) ↓ 最新面



最新面



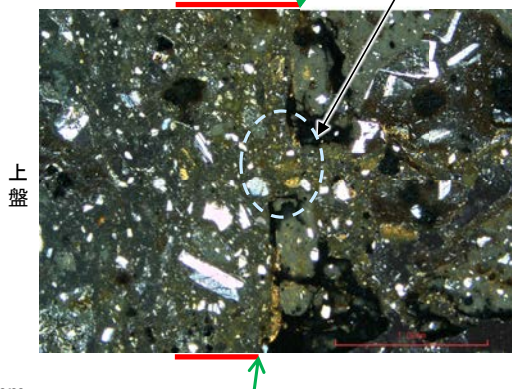
II (最新ゾーン)

カリフォルニアの事例	阿寺断層の事例
注入脈の壁に沿って凸状上向き の弓状構造が認められる	注入方向に粒子の配列が認 められる

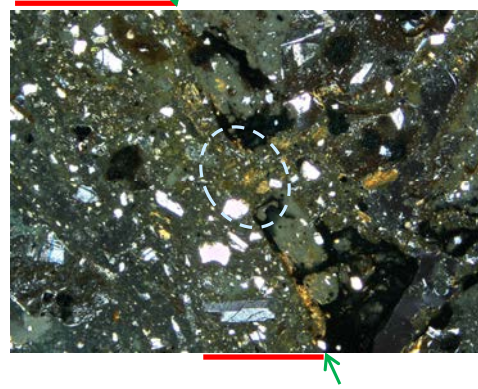
- ・不連続箇所の粘土鉱物(I/S混合層)にせん断面や引きずりなどの変形は認められない。
- ・注入の痕跡は認められない。

(直交ニコル)

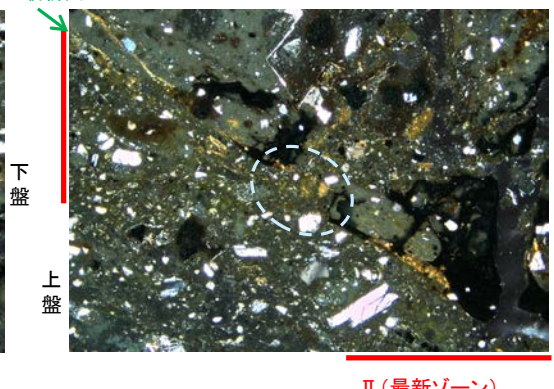
II (最新ゾーン) ↓ 最新面



II (最新ゾーン) ↓ 最新面



最新面



II (最新ゾーン)

1mm

0° 回転

左30° 回転

左60° 回転

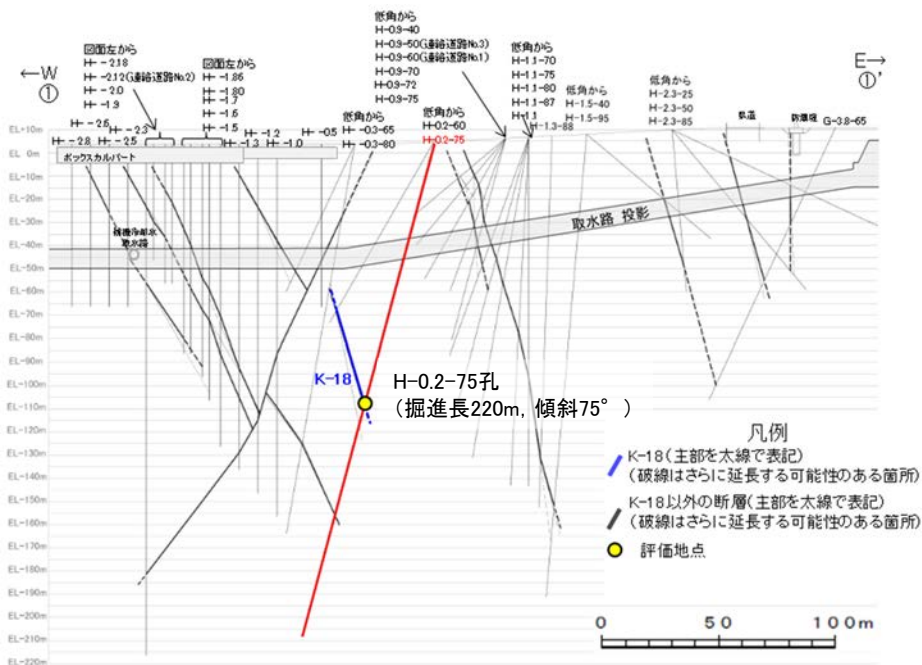
5.2.11 K-18

5.2.11 K-18の鉱物脈法による評価地点

■ 鉱物脈法による評価地点

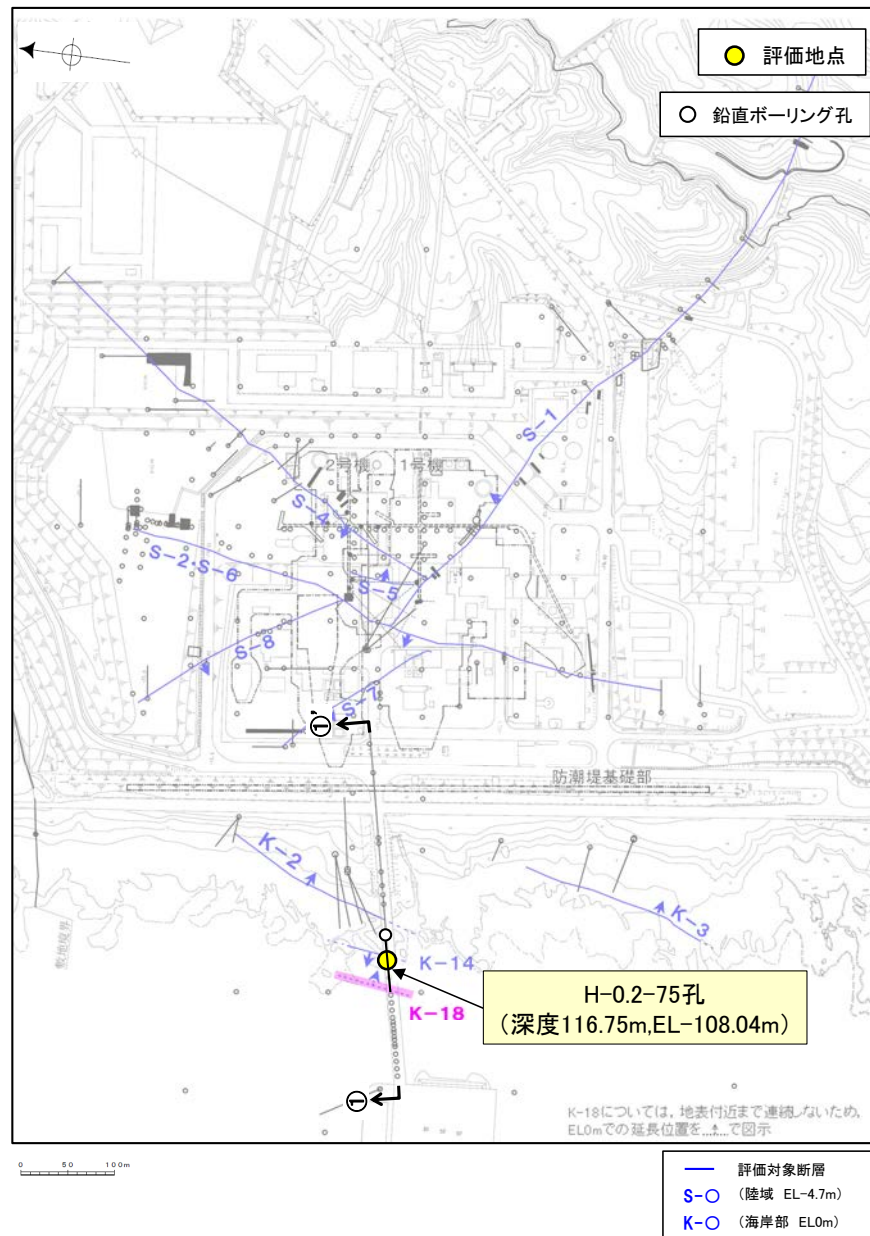
○ H-0.2-75孔において、K-18の最新ゾーンに少なくとも後期更新世以降に生成されたものではないと評価した変質鉱物であるI/S混合層が認められたことから、断層活動(最新面)と変質鉱物との関係による評価を行った。

評価地点	記載頁
H-0.2-75孔 (深度116.75m,EL-108.04m)	P.463~480



①-①' 断面図

H-0.2-75孔のボーリング柱状図, コア写真, BHTVは, データ集1. 2. 3



位置図

5.2.11 K-18 H-0.2-75孔 ー評価結果ー

【最新面の認定】

○H-0.2-75孔の深度116.80m付近で認められるK-18において、巨視的観察及び微視的観察を実施し、最新ゾーンの上盤側の境界に最新面を認定した(P.464～467, 474～476)。

【鉱物の同定】

○微視的観察により確認した粘土鉱物は、EPMA分析(定量)による化学組成の検討結果及びXRD分析(粘土分濃集)による結晶構造判定結果から、I/S混合層であると判断した(P.468, 469)。

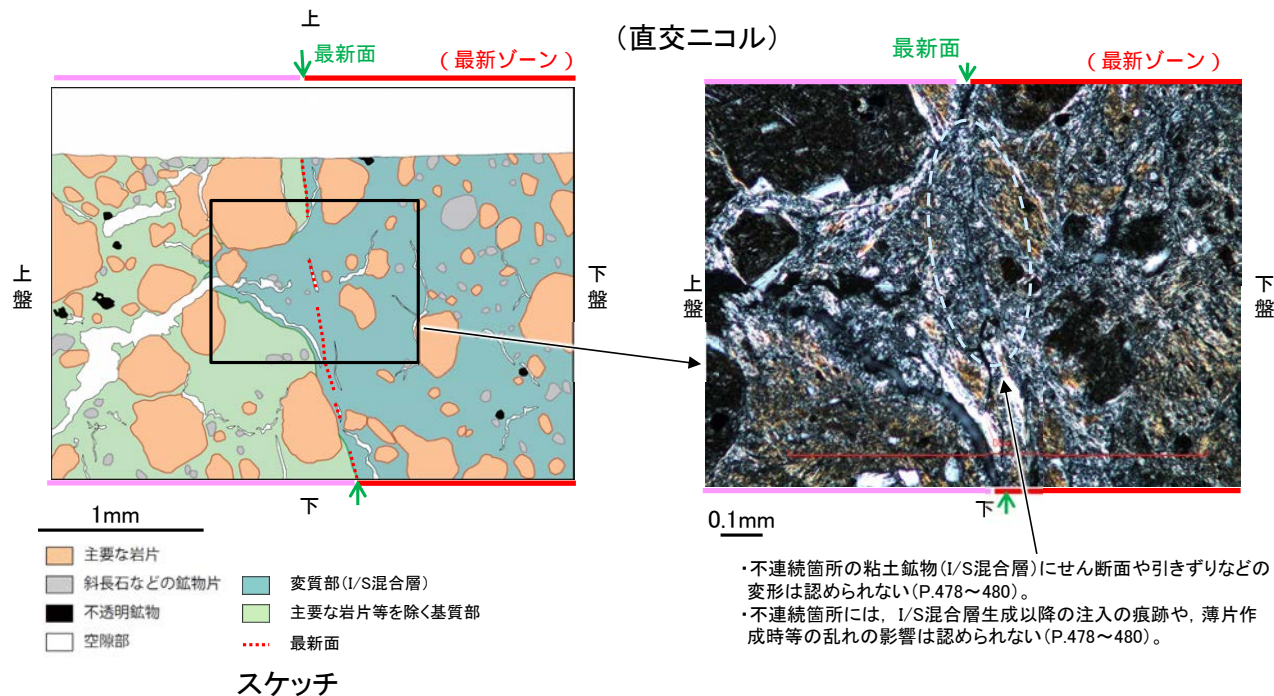
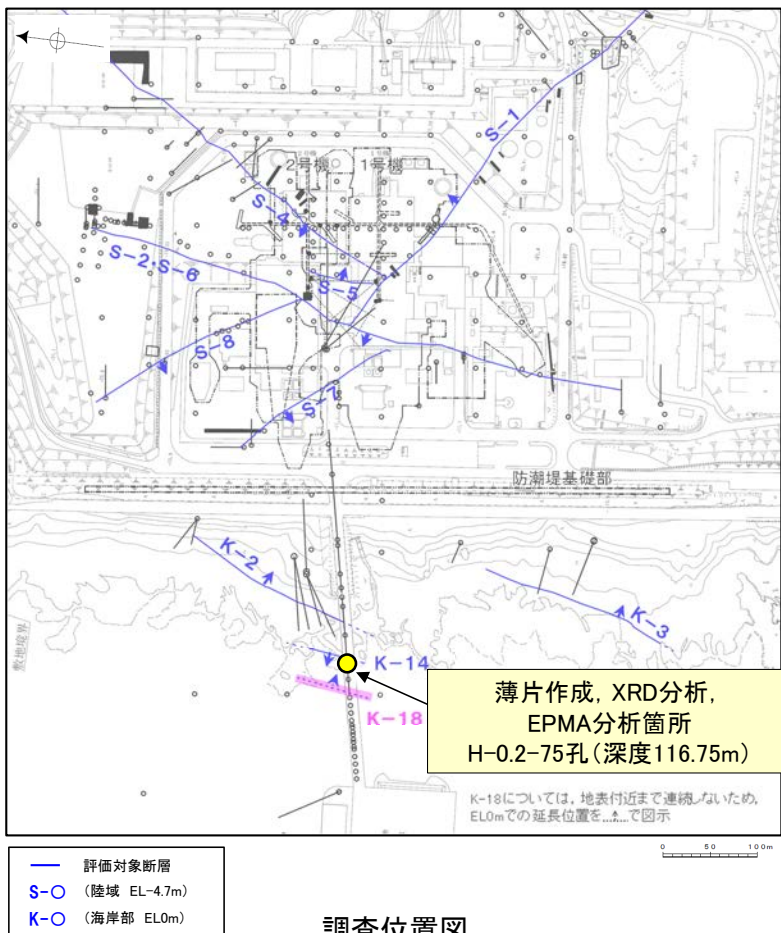
【変質鉱物の分布と最新面との関係】

○EPMA分析(マッピング)や薄片観察により、粘土鉱物(I/S混合層)の分布範囲を確認した結果、粘土鉱物(I/S混合層)は最新ゾーン及びその周辺に分布している(P.470, 471, 477)。

○粘土鉱物(I/S混合層)が最新面を横断して分布し、最新面が不連続になっており、不連続箇所の粘土鉱物(I/S混合層)に変位・変形は認められない(P.478～480)。

○以上のことを踏まえると、K-18の最新活動は、I/S混合層の生成以前である。

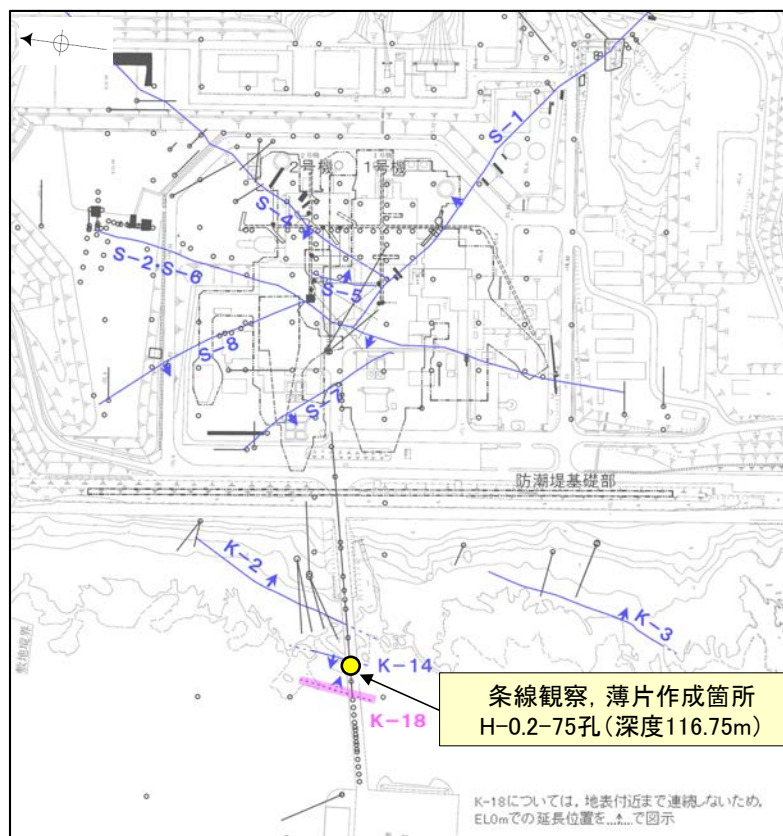
紫字: 第935回審査会合以降の変更箇所



5.2.11 K-18 H-0.2-75孔 —最新面の認定(巨視的観察)—

○H-0.2-75孔の深度116.80m付近で認められるK-18において、巨視的観察(ボーリングコア観察, CT画像観察)を実施し、最も直線性・連続性がよい断層面を主せん断面として抽出した。

○主せん断面における条線観察の結果、 $34^\circ R$ 、 $64^\circ R$ の2つの条線方向が確認されたことから、 $34^\circ R$ の条線方向で薄片を2枚作成した(ブロック写真)。

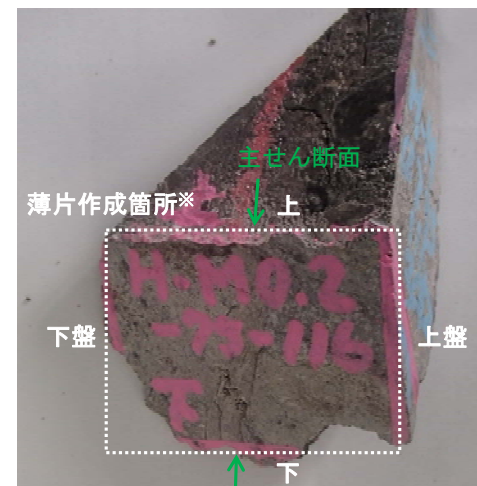
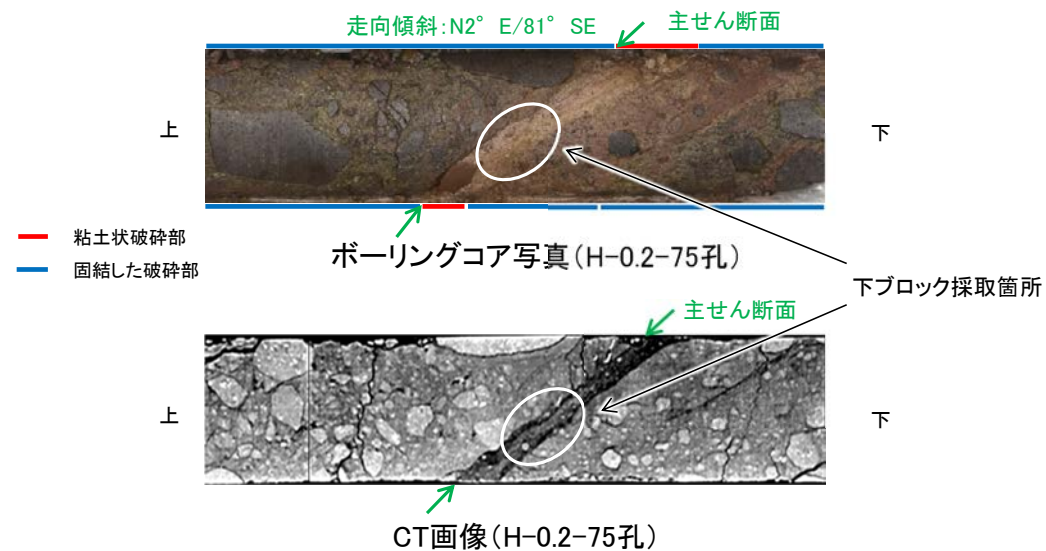


- 評価対象断層
- S-O (陸域 EL-4.7m)
- K-O (海岸部 EL0m)

・条線観察結果については補足資料5.2-12(2)-9

調査位置図

(深度) 116.6 116.7 116.8 116.9 (m)



ブロック写真

※図示した箇所では薄片①と②を作成し、そこから1mm程度削り込んだ位置でEPMA用薄片を作成した

5.2.11 K-18 H-0.2-75孔① —最新面の認定(微視的観察)—

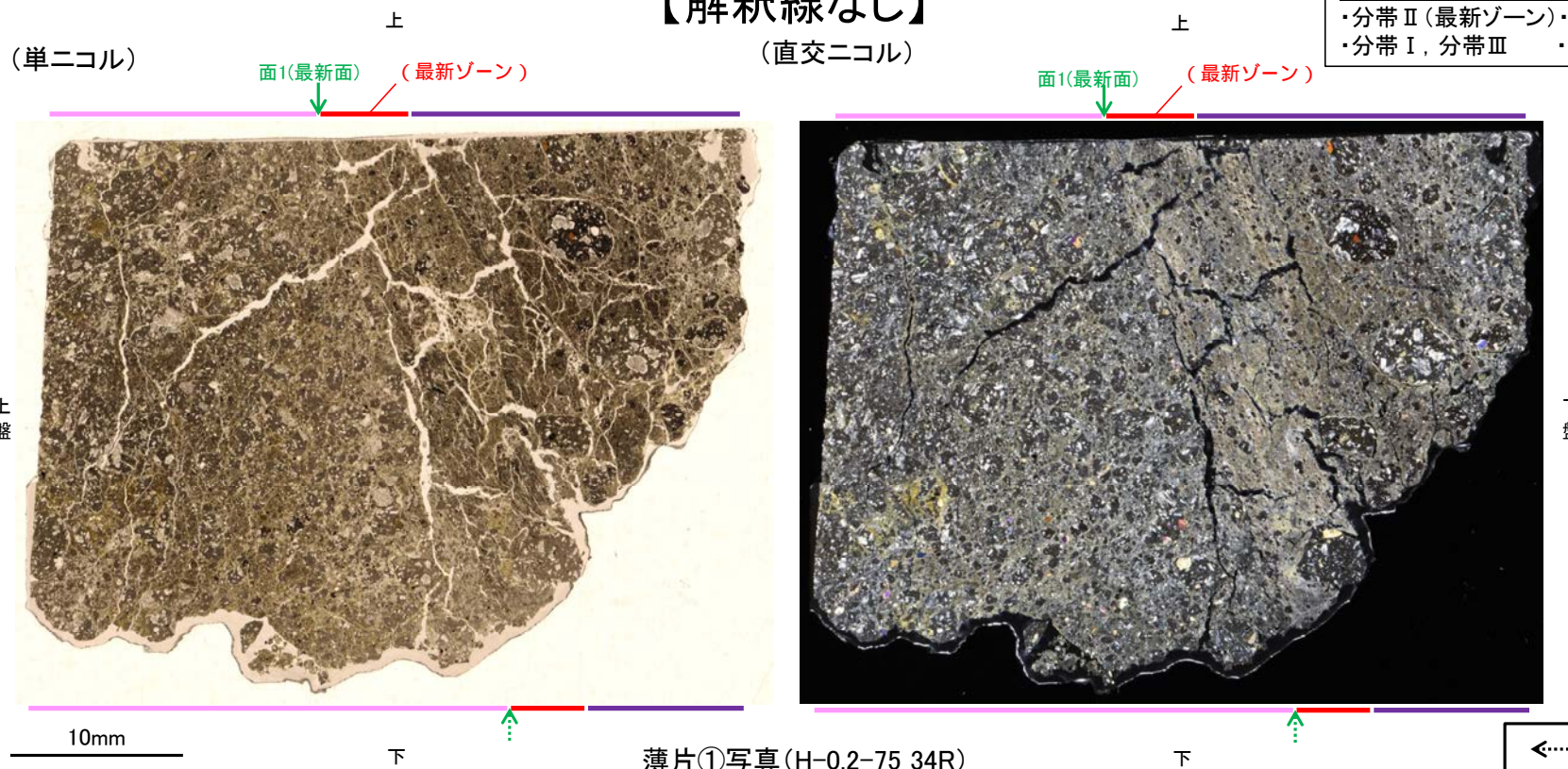
- 薄片①で実施した微視的観察(薄片観察)の結果, 色調や礫径などから, 上盤側よりⅠ～Ⅲに分帯した。
- そのうち, 最も細粒化している分帯Ⅱを最新ゾーンとして抽出した。
- 最新ゾーンと分帯Ⅰとの境界に, 面1が認められる。面1は全体として不明瞭であり, 連続性に乏しいが, 最新ゾーンの中では比較的直線性がよい面である。
- 最新ゾーンと分帯Ⅲとの境界は, 不明瞭で漸移的であり, せん断面は認められない※。
- 以上より, 面1を最新面と認定し, 変質鉱物との関係を確認する。

※最新ゾーンと分帯Ⅲとの境界についての詳細は次々頁

分帯とコア観察における破碎部区分との対応

- ・分帯Ⅱ(最新ゾーン) ……粘土状破碎部
- ・分帯Ⅰ, 分帯Ⅲ ……固結した破碎部

【解釈線なし】



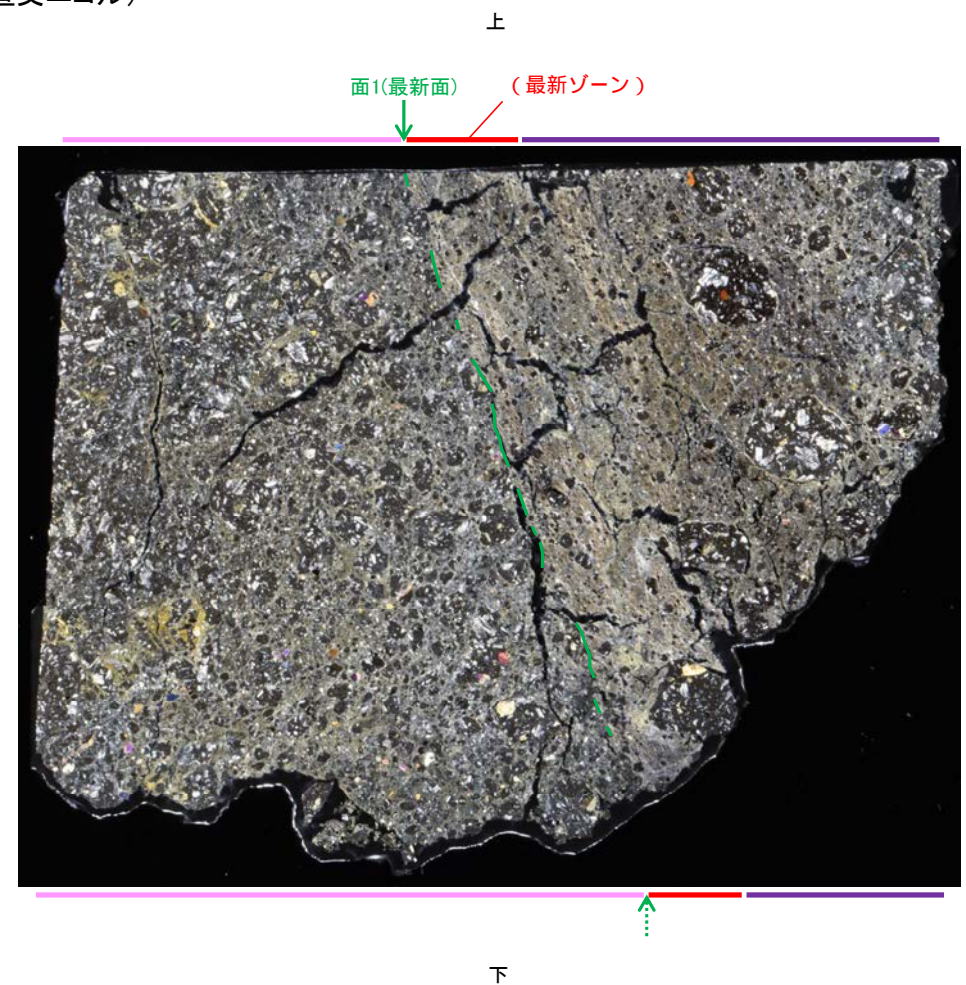
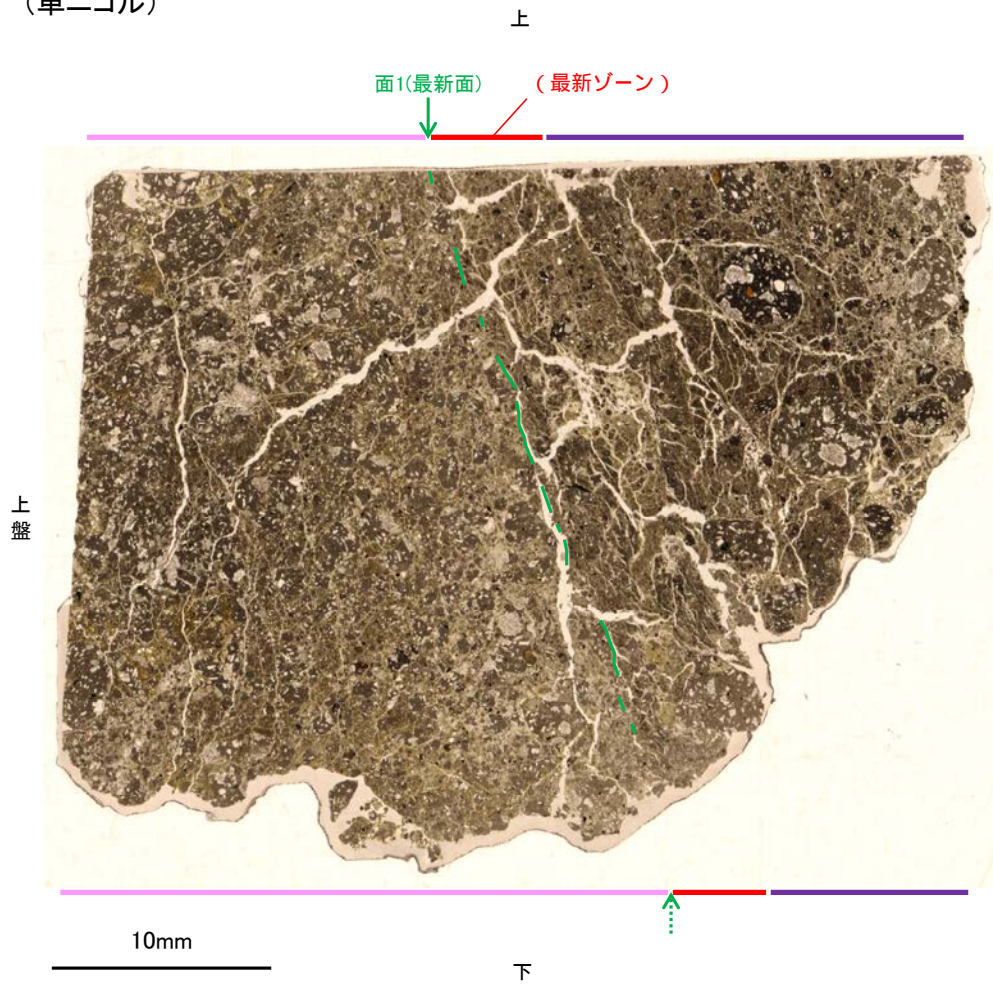
- I: 単ニコルで褐灰色, 直交ニコルで灰色の干渉色を呈する。径6mm以下の岩片や鉱物片が細粒な基質中に含まれる。岩片, 鉱物片は角～亜角形である。基質中や割れ目, 岩片の縁辺部には粘土鉱物が生成している。
- II: 単ニコルで褐灰色, 直交ニコルで黄～灰色の干渉色を呈する。径4mm以下の岩片や鉱物片が細粒な基質中に含まれる。岩片, 鉱物片は亜角～亜円形である。基質中や割れ目, 岩片の縁辺部には粘土鉱物が生成している。
- III: 単ニコルで褐灰色, 直交ニコルで灰色の干渉色を呈する。径5mm以下の岩片や鉱物片が細粒な基質中に含まれる。岩片, 鉱物片は亜角～亜円形である。基質中や割れ目, 岩片の縁辺部には粘土鉱物が生成している。

K-18_H-0.2-75孔①

【解釈線あり】

(単ニコル)

(直交ニコル)

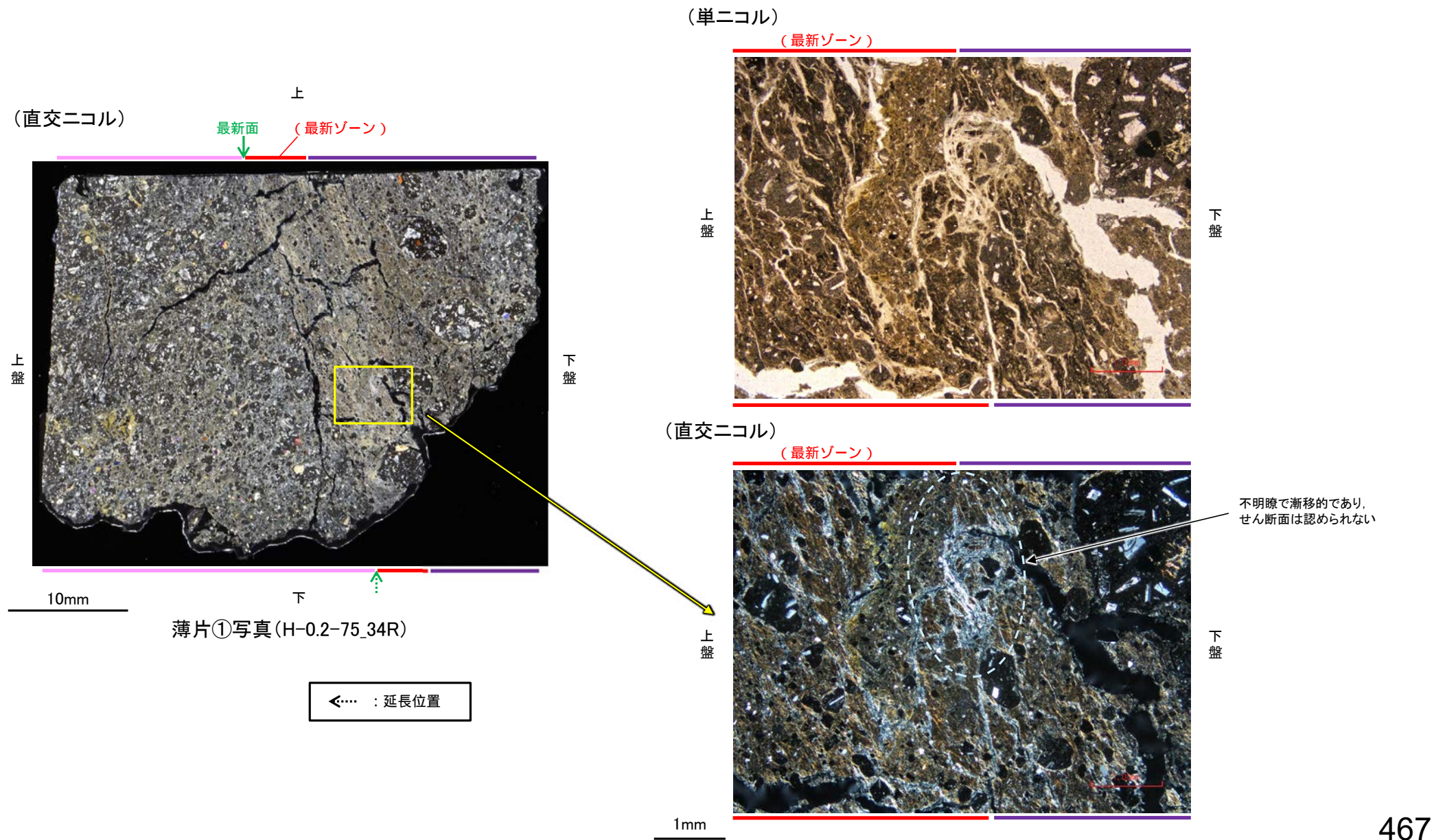


薄片①写真(H-0.2-75_34R)

←… : 延長位置

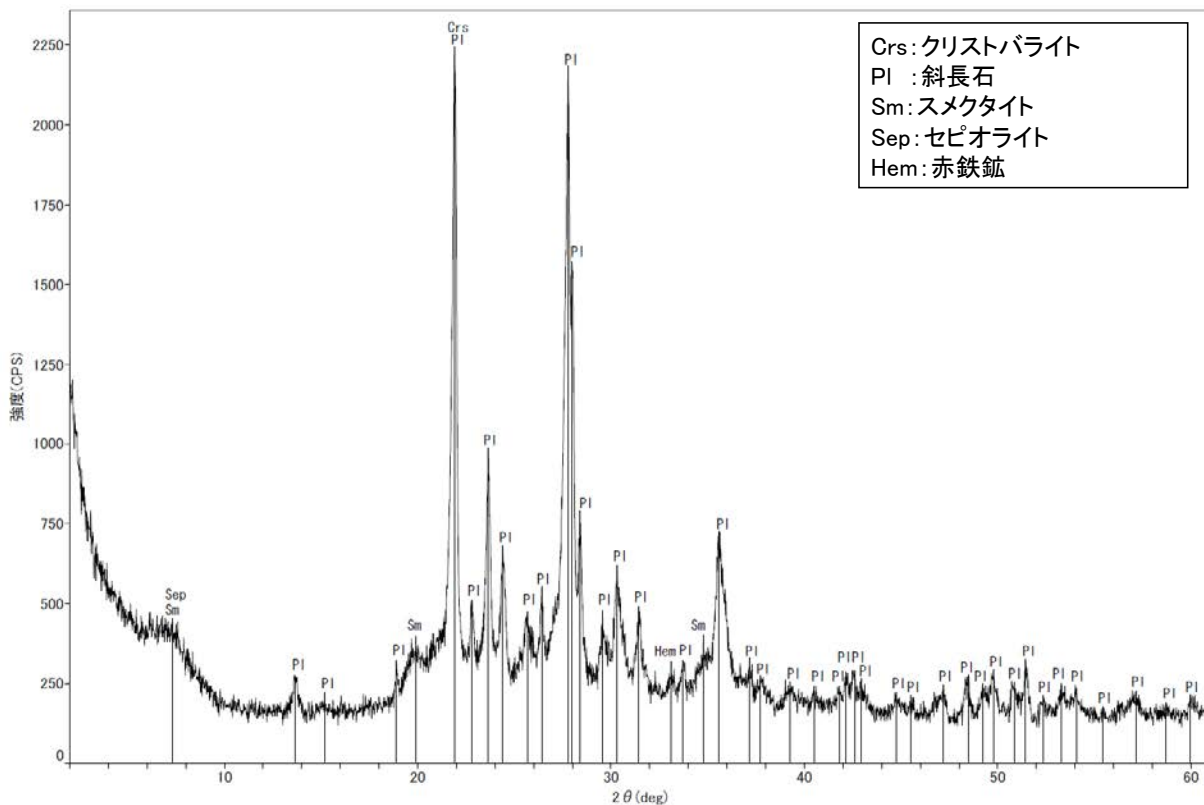
5.2.11 K-18 H-0.2-75孔① -最新ゾーンと分帯Ⅲとの境界-

○薄片①の微視的観察(薄片観察)の結果, 最新ゾーンと分帯Ⅲとの境界は不明瞭で漸移的であり, せん断面は認められない。



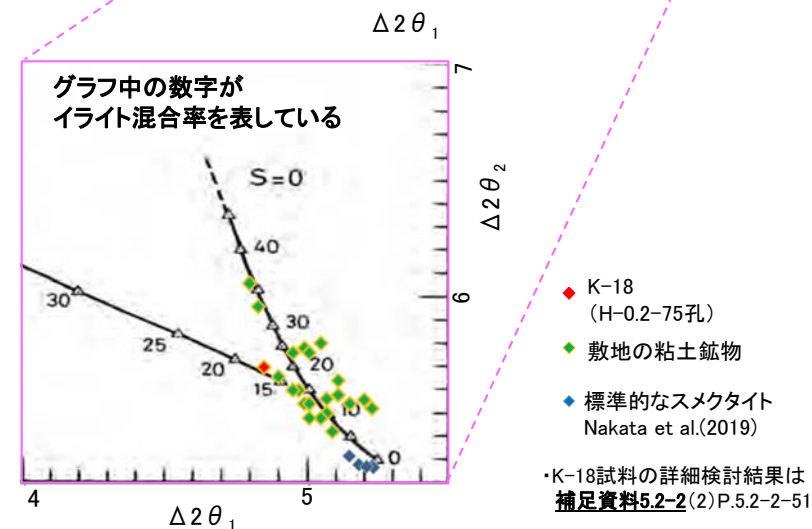
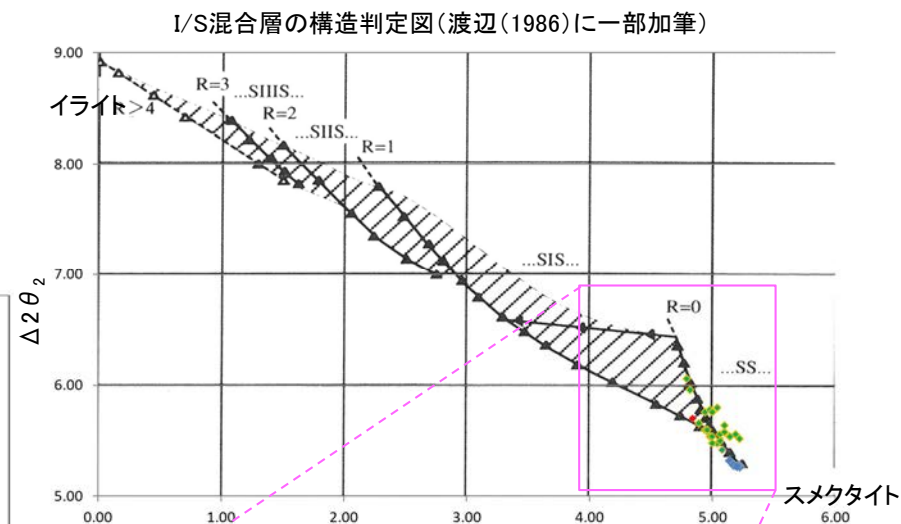
5.2.11 K-18 H-0.2-75孔① – 鉱物の同定(XRD分析) –

- 最新ゾーン付近でXRD分析を実施した結果、主な粘土鉱物としてスメクタイトが認められる。
- スメクタイトについて詳細な結晶構造判定を行うために、薄片作成箇所と隣接する位置においてXRD分析(粘土分濃集)を実施した結果、I/S混合層と判定した。
- また、その他の粘土鉱物としてセピオライトが認められる。



回折チャート(不定方位) H-0.2-75孔

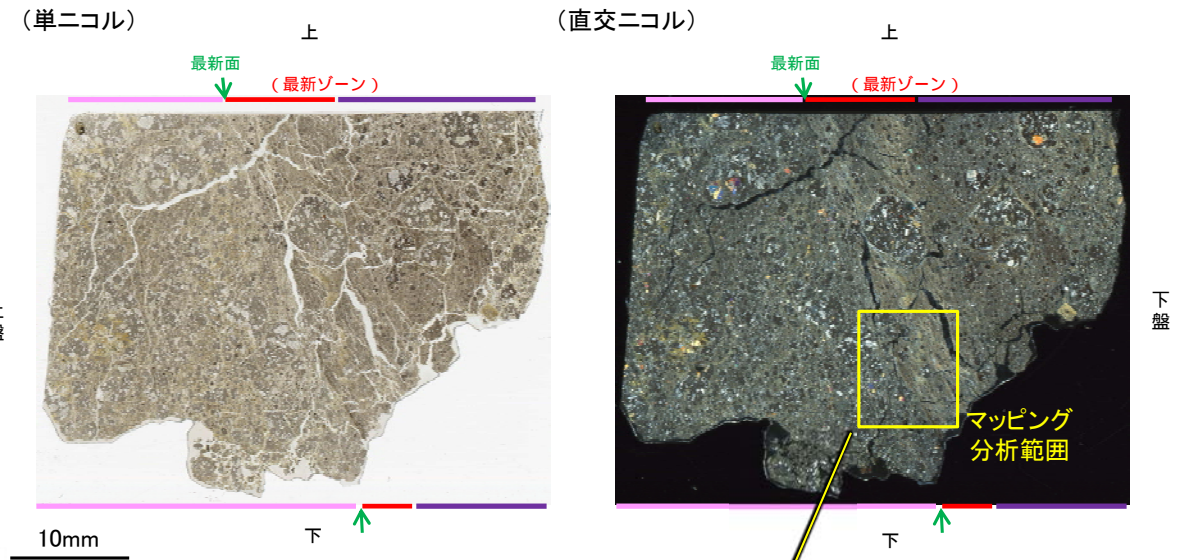
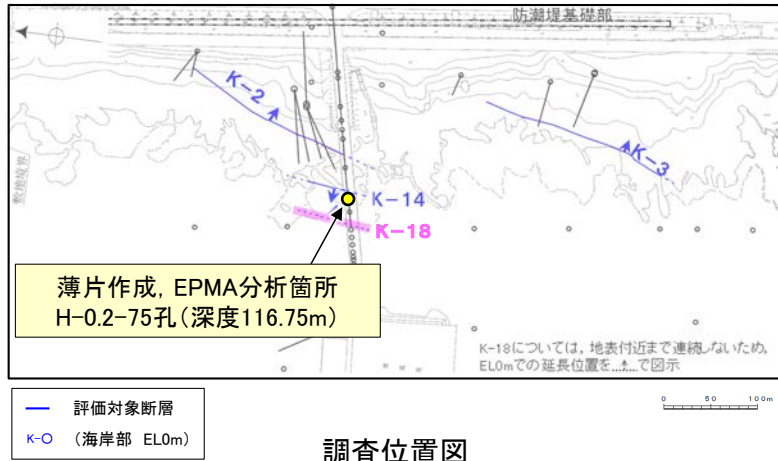
・回折チャート(定方位, EG処理)については、
補足資料5.2-12(1) P.5.2-12-49



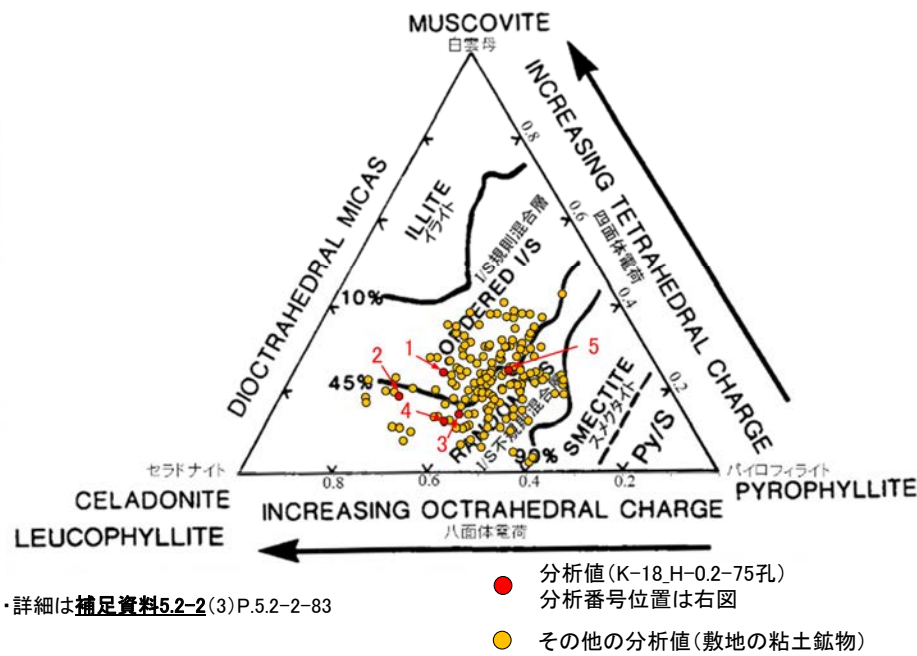
I/S混合層の構造判定図(渡辺(1981)に一部加筆)

5.2.11 K-18 H-0.2-75孔① – 鉱物の同定 (EPMA分析(定量)) –

○EPMA用薄片で実施したEPMA分析(定量)による化学組成の検討結果から、最新ゾーンやその周辺に分布する粘土鉱物はI/S混合層であると判断した。

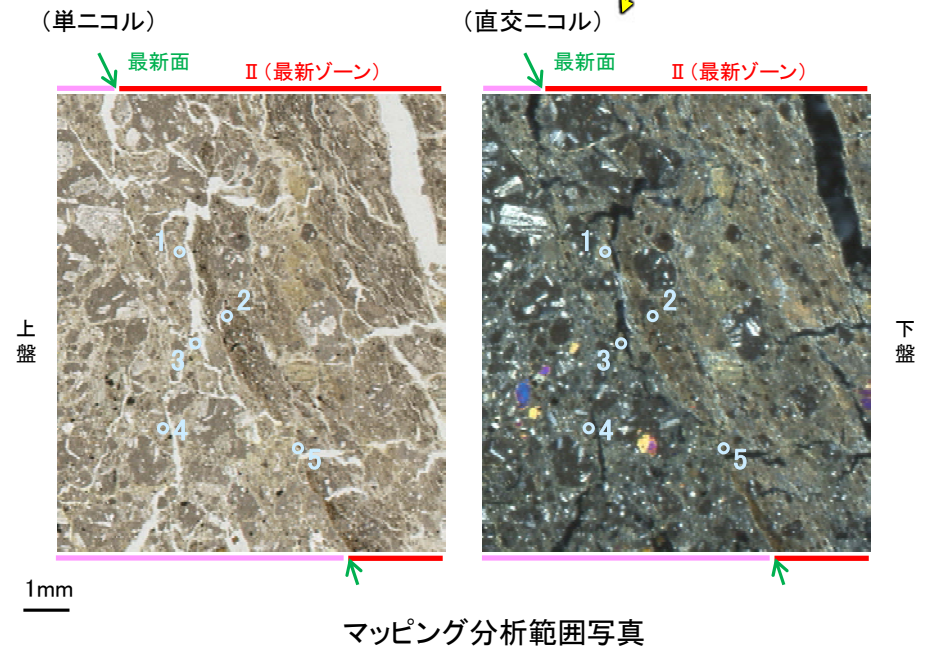


※薄片①を作成した箇所から1mm程度削り込んだ位置で作成した



・詳細は補足資料5.2-2(3)P.5.2-2-83

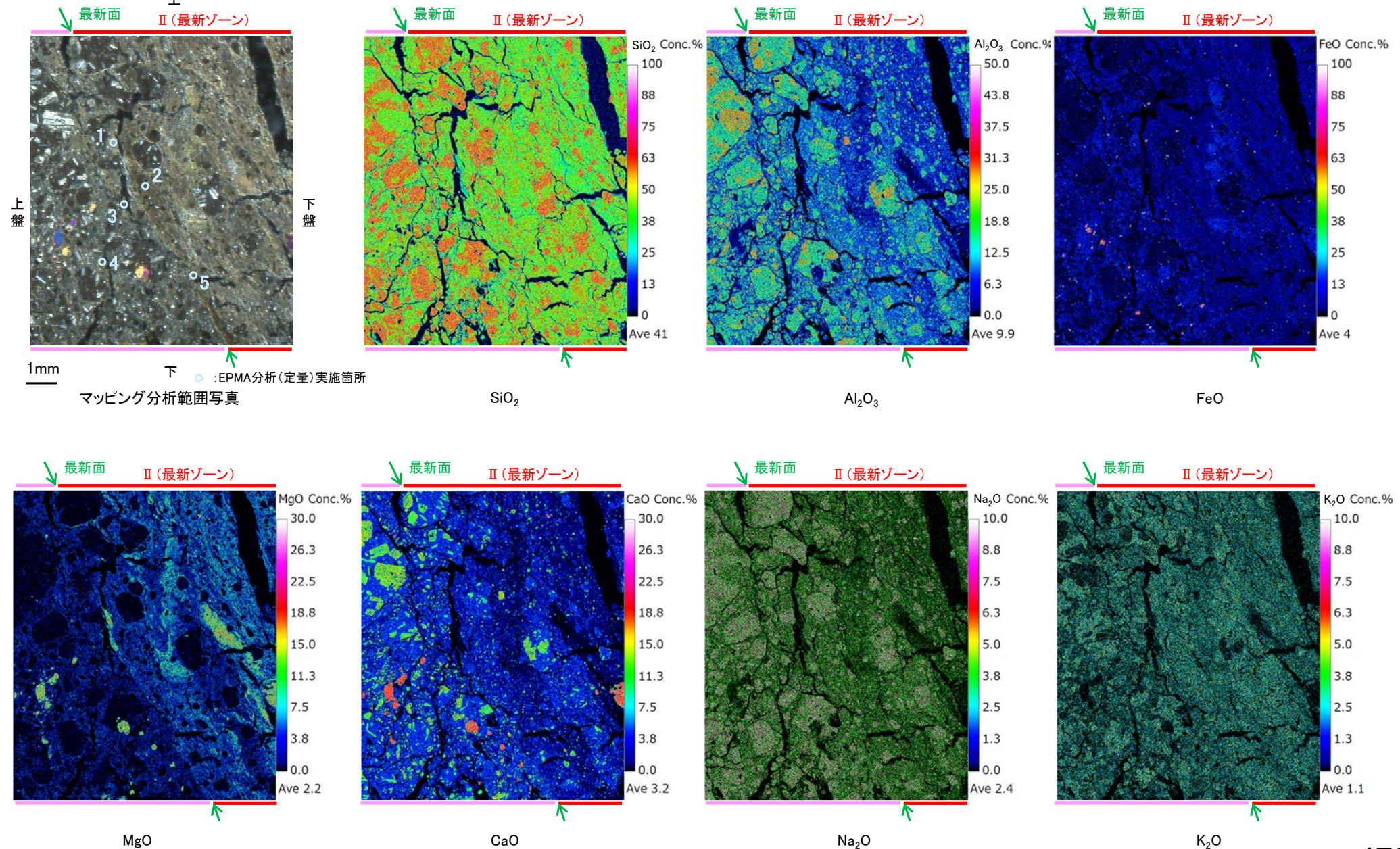
2八面体型雲母粘土鉱物及び関連鉱物の化学組成 (Srodon et al. (1984)に一部加筆)



5.2.11 K-18 H-0.2-75孔① - 変質鉱物の分布 (EPMA分析 (マッピング)) -

○EPMA用薄片でEPMA分析 (マッピング) を実施した結果, EPMA分析 (定量) で認められたI/S混合層が最新ゾーンやその周辺に分布していることを確認した。

(直交ニコル)

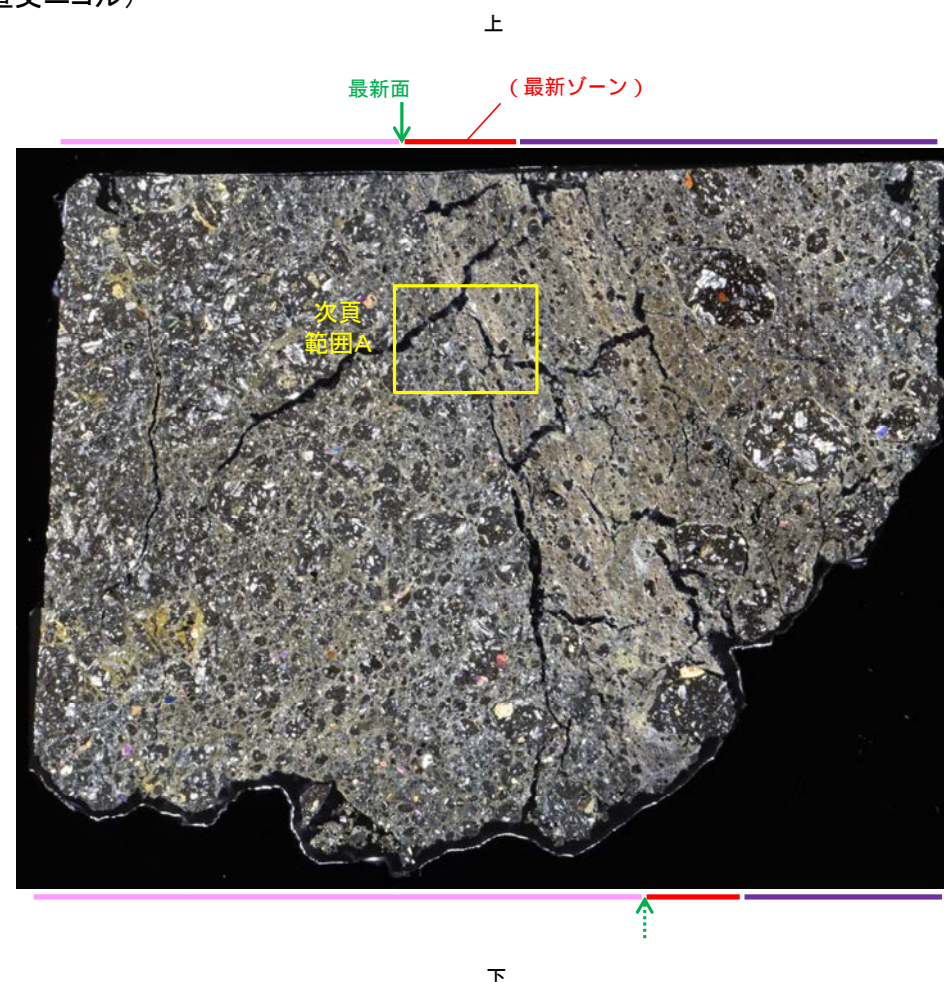
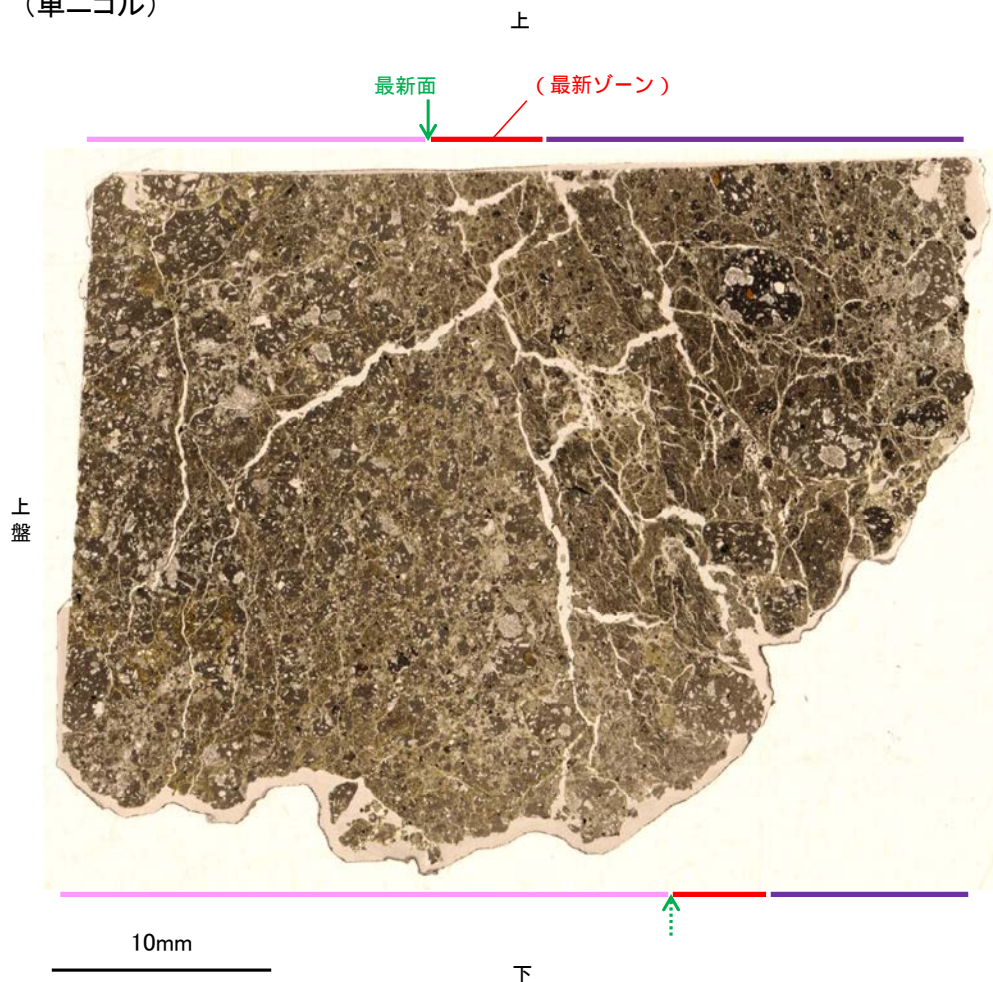


5.2.11 K-18 H-0.2-75孔① -変質鉱物の分布(薄片観察)-

○薄片①で実施した薄片観察や、EPMA用薄片で実施したEPMA分析(マッピング)における化学組成の観点での観察により、粘土鉱物(I/S混合層)の分布範囲を確認した結果、粘土鉱物(I/S混合層)が最新ゾーンやその周辺に分布している。
○この粘土鉱物(I/S混合層)と最新面との関係を確認する。

(単ニコル)

(直交ニコル)



薄片①写真(H-0.2-75_34R)

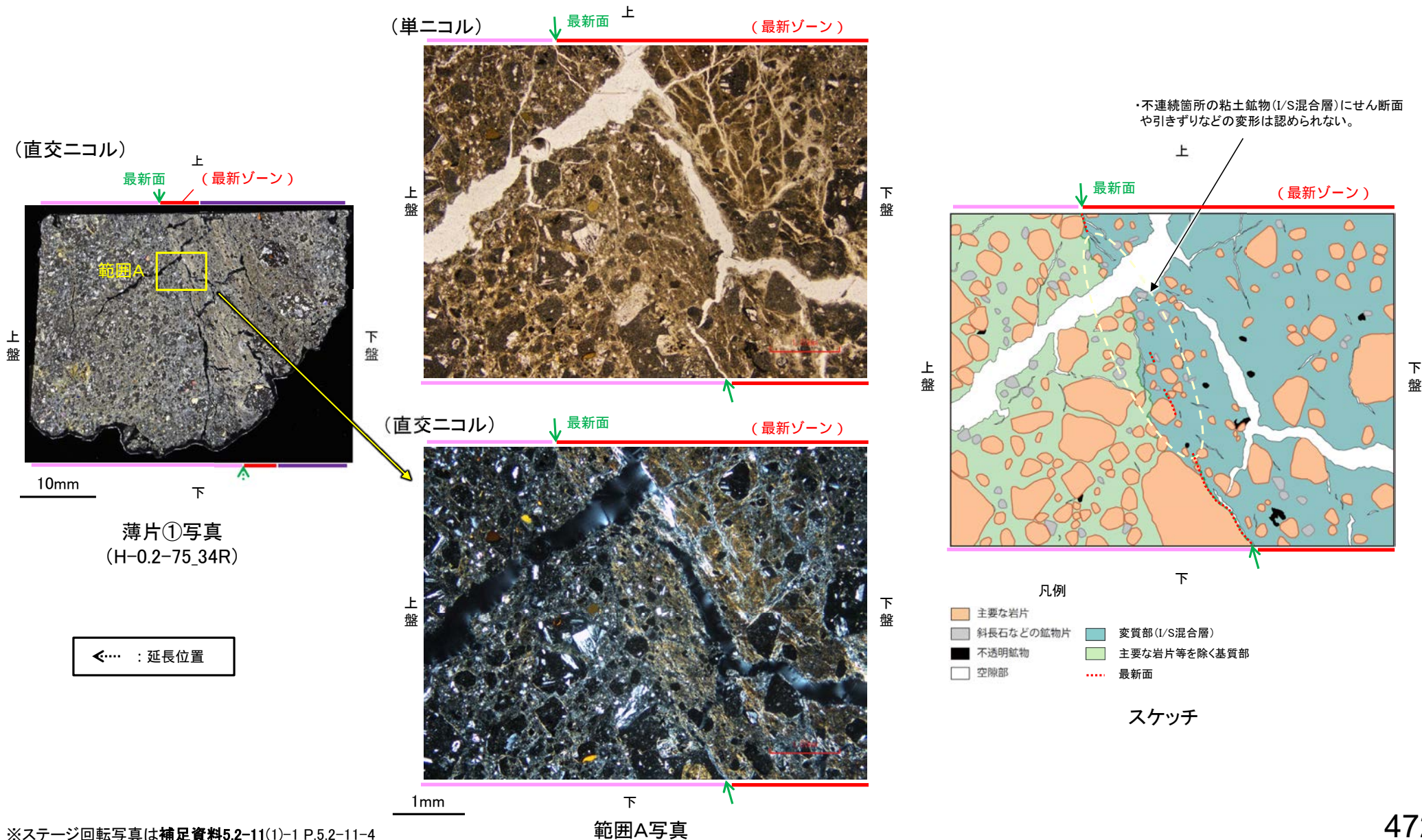
◀... : 延長位置

5.2.11 K-18 H-0.2-75孔① – 最新面とI/S混合層との関係(範囲A) –

○薄片①の範囲Aにおいて詳細に観察した結果、粘土鉱物(I/S混合層)が最新面付近に分布し、最新面が不連続になっており、不連続箇所の粘土鉱物(I/S混合層)にせん断面や引きずりなどの変形は認められない。

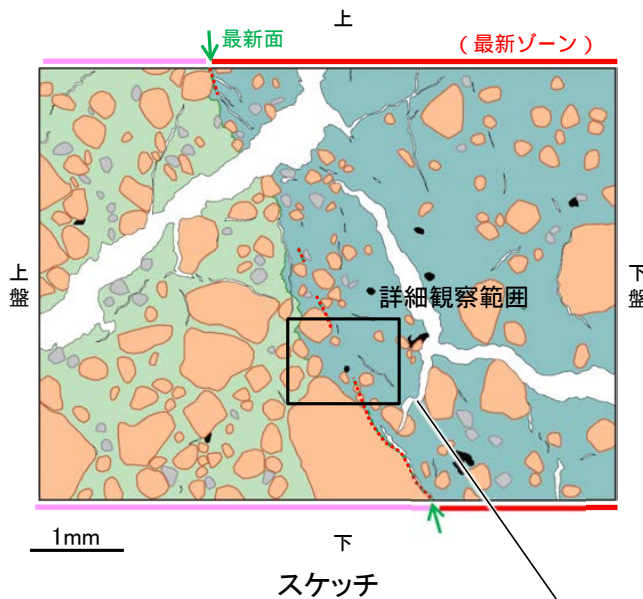
○ただし、現地調査における「断層の最新面が不明瞭になっているものもあり、鉱物脈が明瞭に横断しているようには見えない箇所がある」との指摘を踏まえ、最新面と鉱物脈との切り合い関係については、薄片①から3mm程度削り込んだ位置の薄片②で評価を行った(P.474~480)。

紫字: 第935回審査会合以降の変更箇所



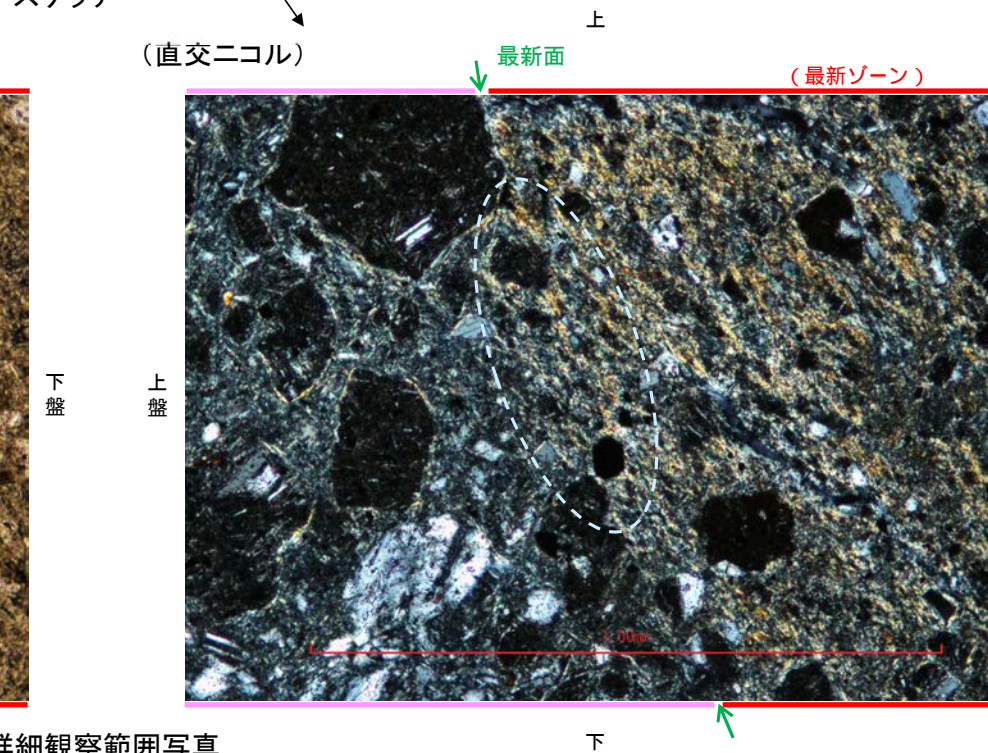
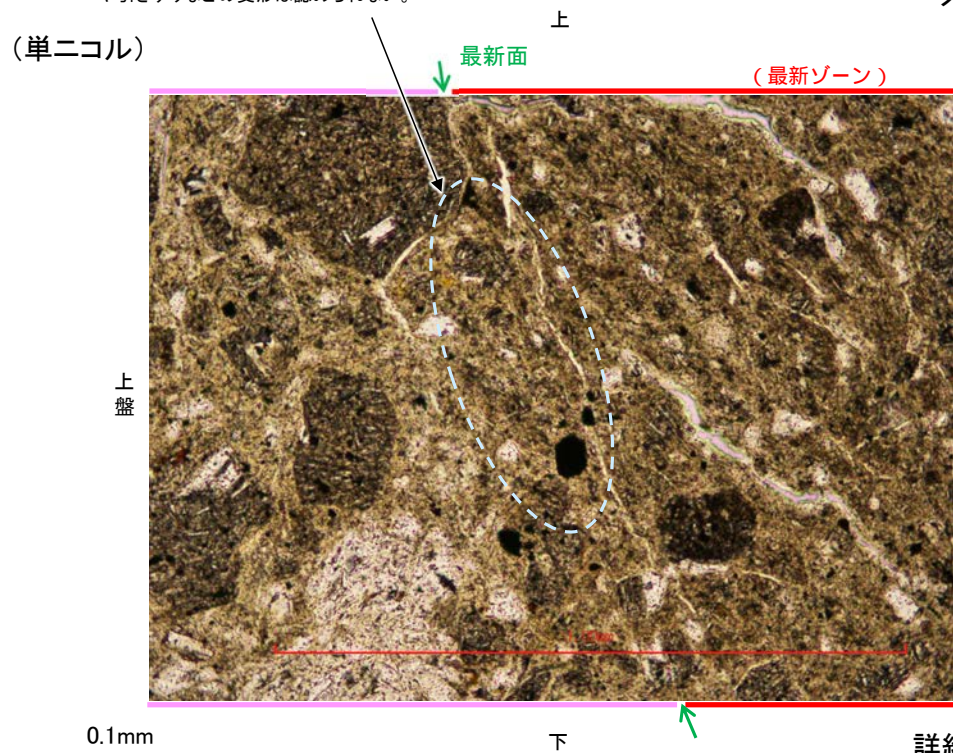
K-18_H-0.2-75孔①

【詳細観察(範囲A)】



- 凡例
- 主要な岩片
 - 斜長石などの鉱物片
 - 変質部(1/S混合層)
 - 主要な岩片等を除く基質部
 - 不透明鉱物
 - 空隙部
 - 最新面

・不連続箇所の粘土鉱物(1/S混合層)にせん断面や引きずりなどの変形は認められない。



詳細観察範囲写真

5.2.11 K-18 H-0.2-75孔② —最新面の認定(微視的観察)—

- 薄片②で実施した微視的観察(薄片観察)の結果, 色調や礫径などから, 上盤側よりⅠ～Ⅲに分帯した。
- そのうち, 最も細粒化している分帯Ⅱを最新ゾーンとして抽出した。
- 最新ゾーンと分帯Ⅰとの境界に, 面1が認められる。面1は薄片上部では不明瞭だが, 最新ゾーンの中では比較的連続性がよい面である。
- 最新ゾーンと分帯Ⅲとの境界は, 不明瞭で漸移的であり, せん断面は認められない※。
- 以上より, 面1を最新面と認定し, 変質鉱物との関係を確認する。

※最新ゾーンと分帯Ⅲとの境界についての詳細は次々頁

【解釈線なし】

分帯とコア観察における破碎区分との対応

- ・分帯Ⅱ(最新ゾーン)・・・粘土状破碎部
- ・分帯Ⅰ, 分帯Ⅲ・・・固結した破碎部

(単ニコル)

面1(最新面)

上

(最新ゾーン)

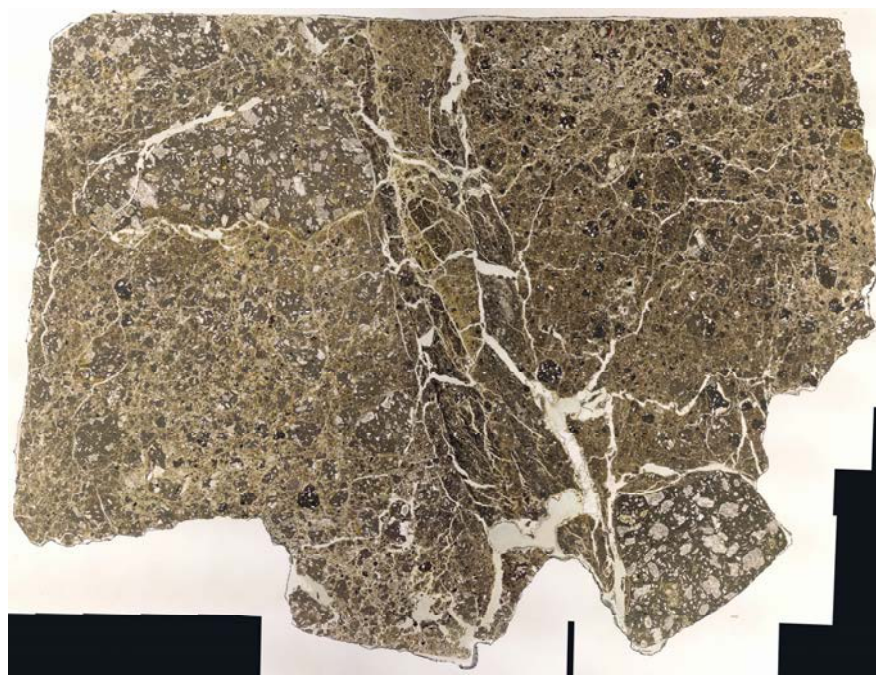
(直交ニコル)

面1(最新面)

上

(最新ゾーン)

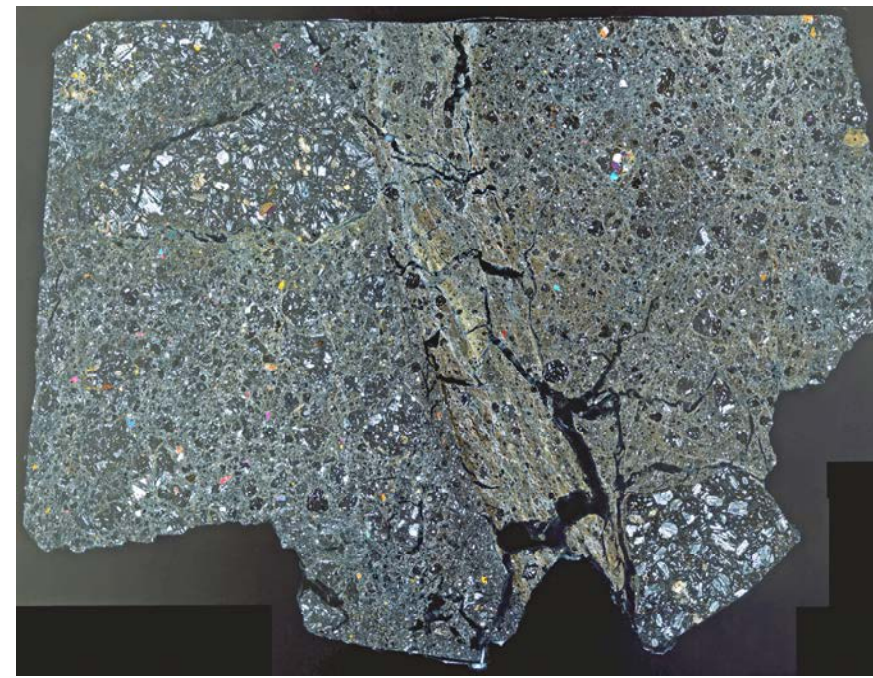
上盤



10mm

下

薄片②写真(H-0.2-75_34R)



下盤

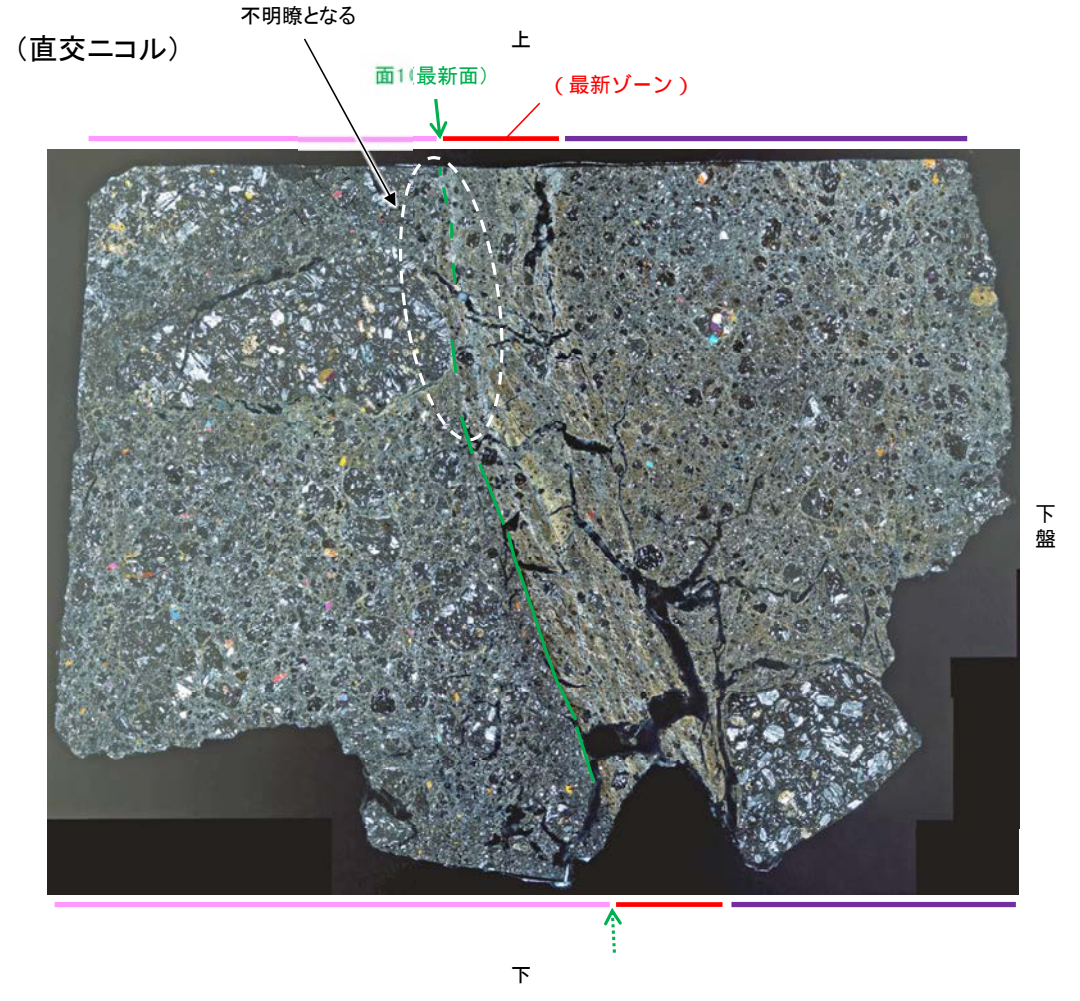
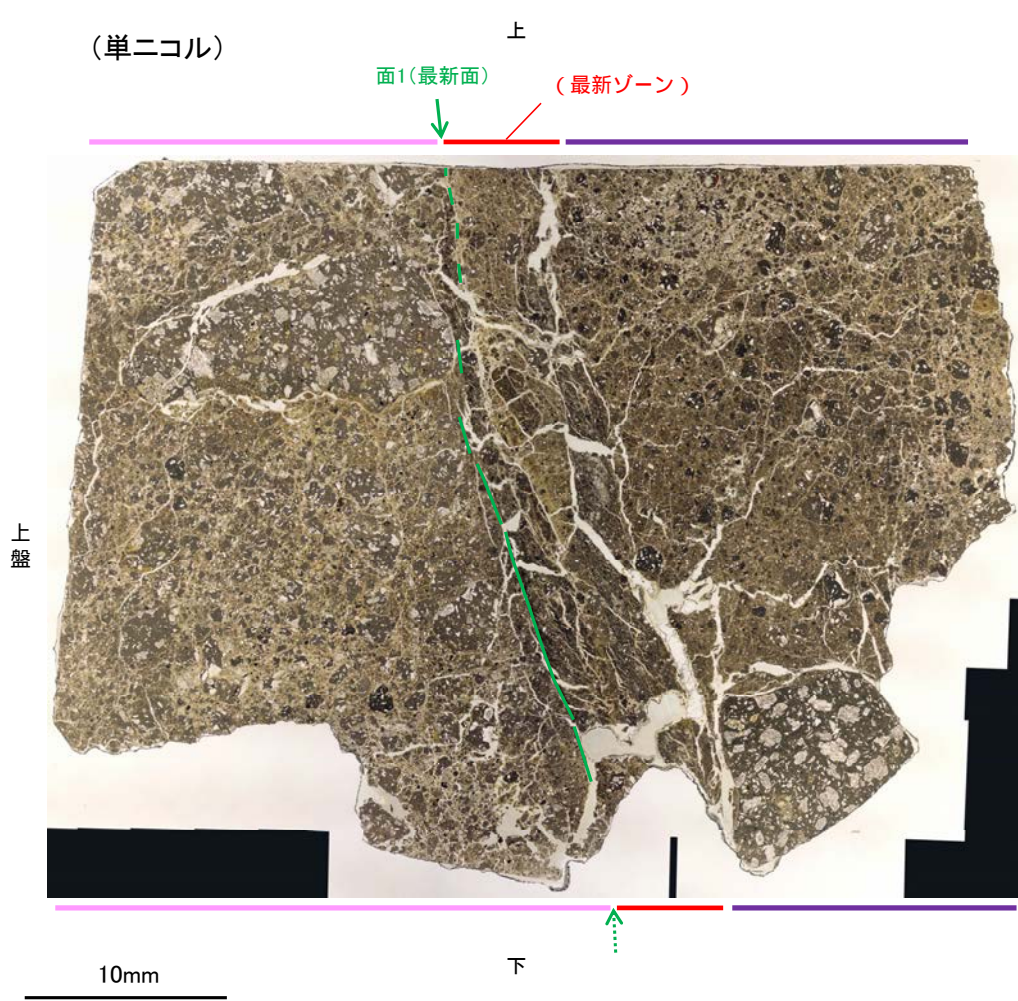
下

←… : 延長位置

- Ⅰ: 単ニコルで褐灰色, 直交ニコルで灰色の干渉色を呈する。径17mm以下の岩片や鉱物片が細粒な基質に含まれる。岩片, 鉱物片は角～亜角形である。基質中や岩片の縁辺部には粘土鉱物が生成している。
- Ⅱ: 単ニコルで褐灰色, 直交ニコルで黄～灰色の干渉色を呈する。径3mm以下の岩片や鉱物片が細粒な基質に含まれている。岩片, 鉱物片は亜角～亜円形である。基質中や割れ目, 岩片の縁辺部には粘土鉱物が生成している。
- Ⅲ: 単ニコルで褐灰色, 直交ニコルで灰色の干渉色を呈する。径3mm以下の岩片や鉱物片が細粒な基質に含まれており, 径11mm以上の岩片も認められる。岩片, 鉱物片は亜角～亜円形である。基質中や割れ目, 岩片の縁辺部には粘土鉱物が生成している。

K-18_H-0.2-75孔②

【解釈線あり】



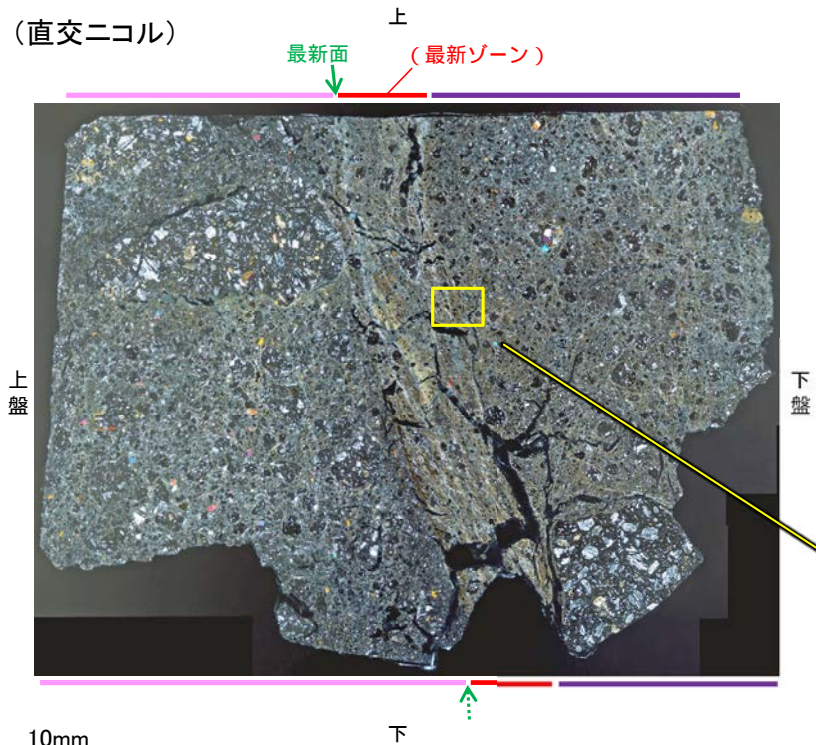
薄片②写真(H-0.2-75_34R)

←… : 延長位置

5.2.11 K-18 H-0.2-75孔② -最新ゾーンと分帯Ⅲとの境界-

○薄片②の微視的観察(薄片観察)の結果, 最新ゾーンと分帯Ⅲとの境界は不明瞭で漸移的であり, せん断面は認められない。

(直交ニコル)

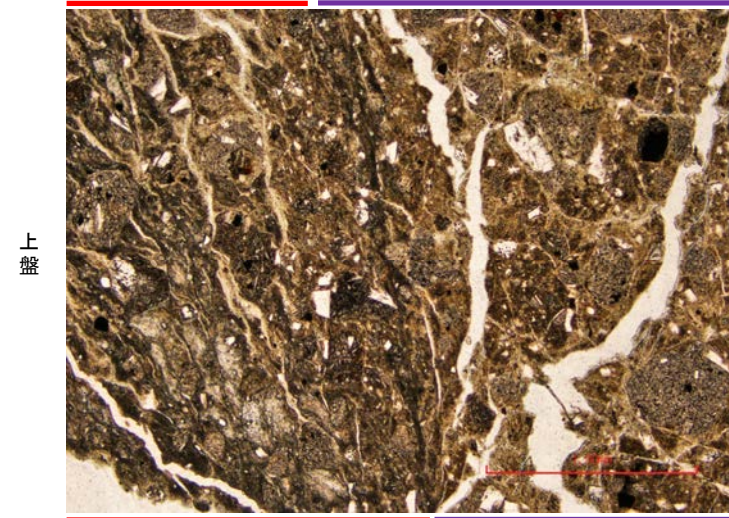


薄片②写真(H-0.2-75_34R)

←… : 延長位置

(単ニコル)

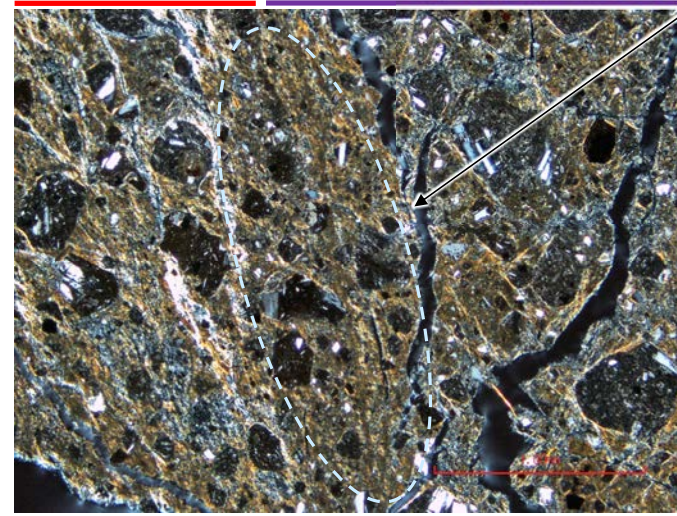
(最新ゾーン)



(直交ニコル)

(最新ゾーン)

Ⅲ

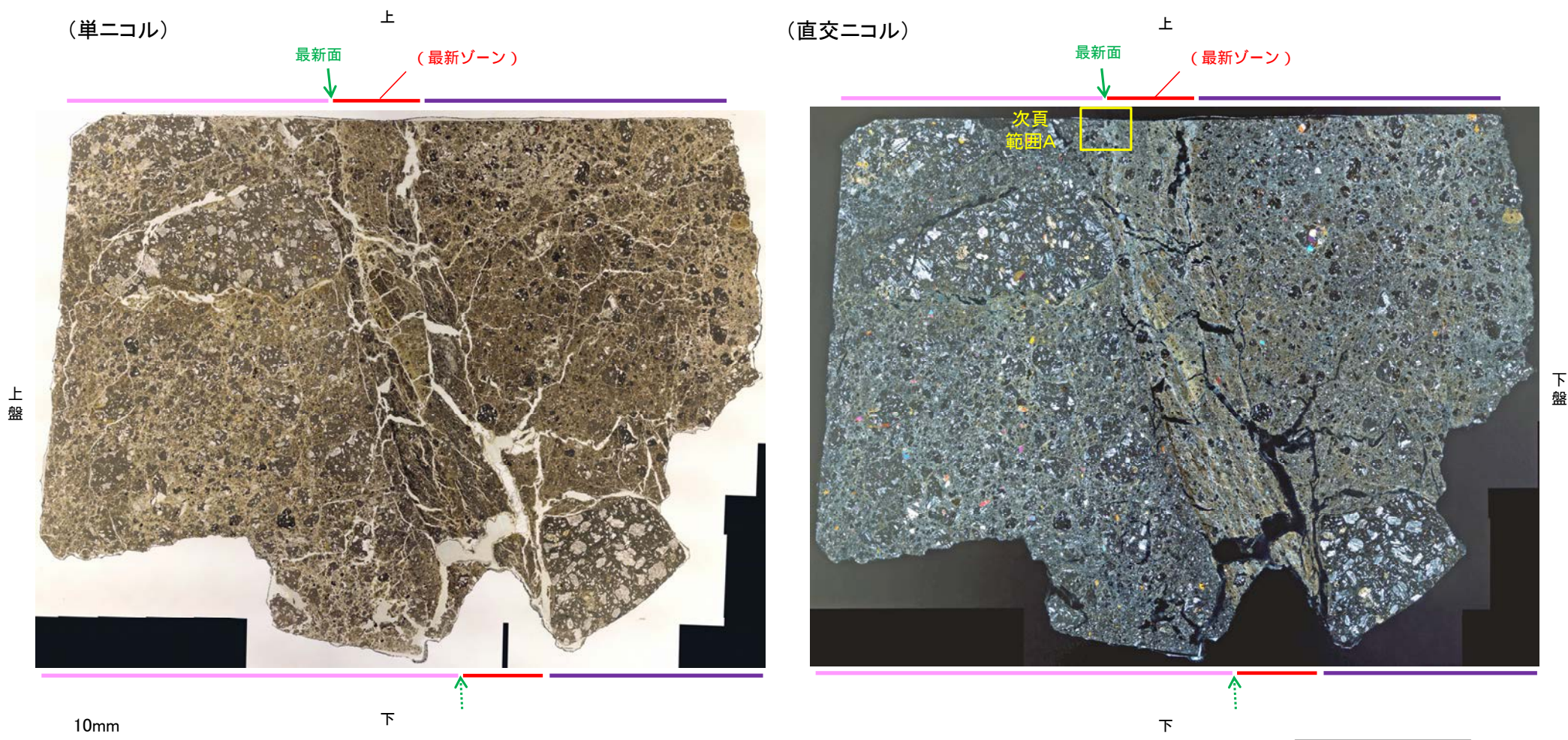


不明瞭で漸移的であり,
せん断面は認められない

1mm

5.2.11 K-18 H-0.2-75孔② -変質鉱物の分布(薄片観察)-

- 薄片②で実施した薄片観察や、EPMA用薄片で実施したEPMA分析(マッピング)における化学組成の観点での観察により、粘土鉱物(I/S混合層)の分布範囲を確認した結果、粘土鉱物(I/S混合層)が最新ゾーンやその周辺に分布している。
- この粘土鉱物(I/S混合層)と最新面との関係を確認する。

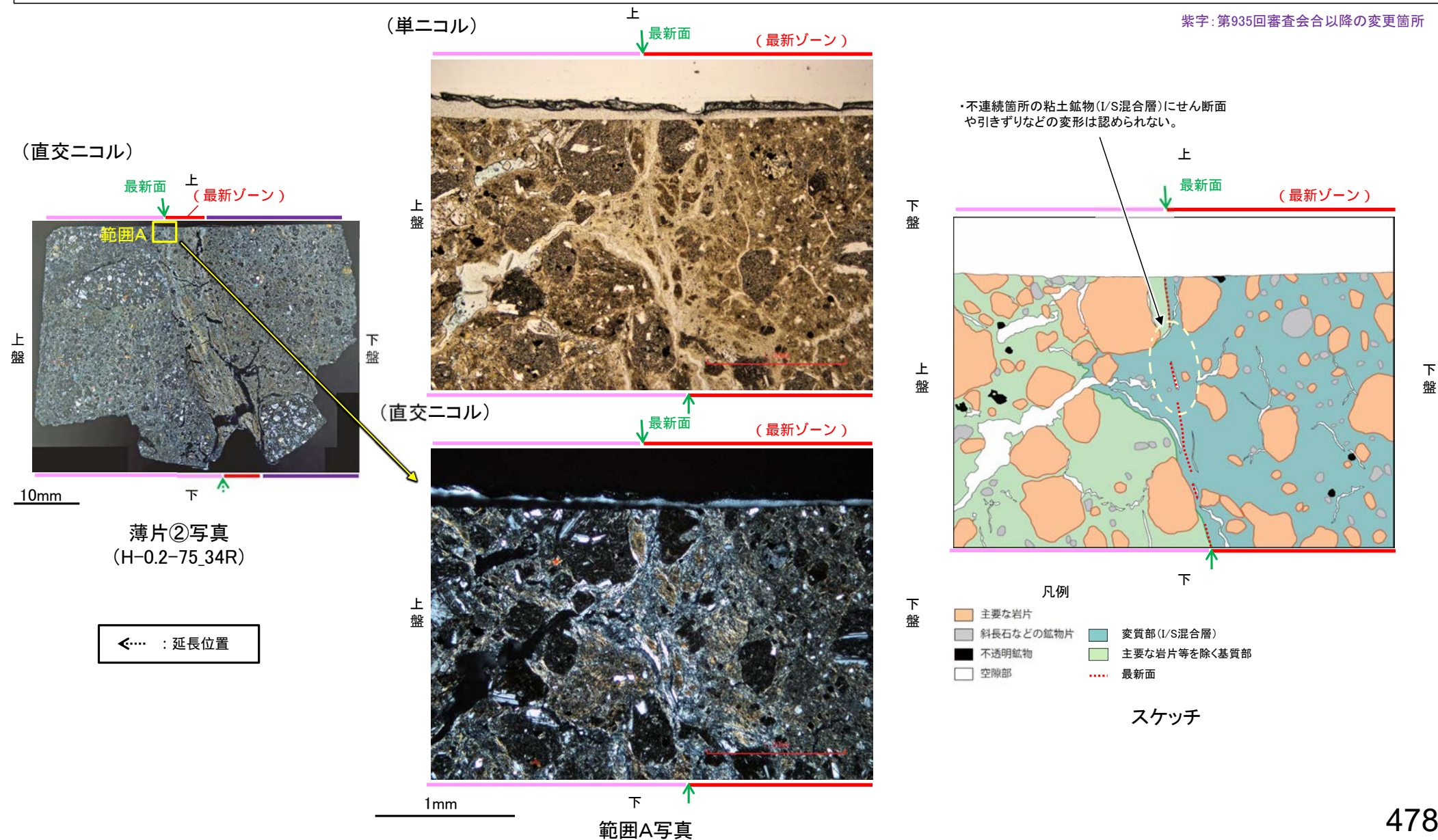


薄片②写真(H-0.2-75_34R)

←… : 延長位置

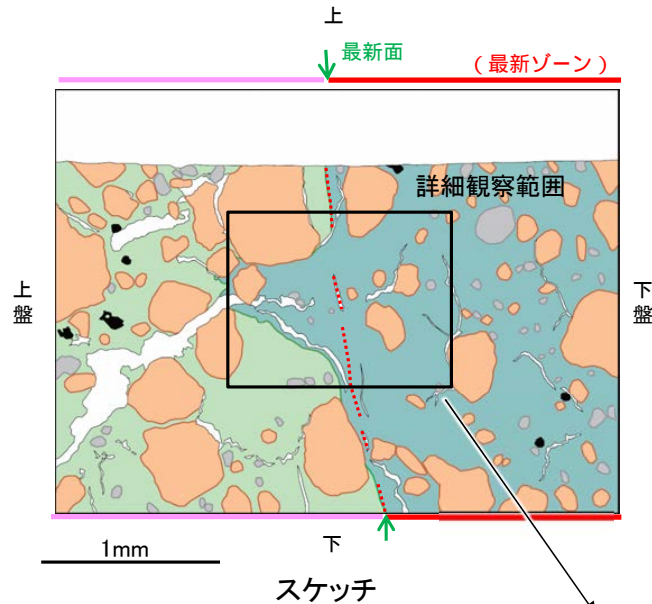
5.2.11 K-18 H-0.2-75孔② - 最新面とI/S混合層との関係(範囲A) -

- 薄片②の範囲Aにおいて詳細に観察した結果、粘土鉱物(I/S混合層)が最新面を横断して分布し、最新面が不連続になっており、不連続箇所の粘土鉱物(I/S混合層)にせん断面や引きずりなどの変形は認められない。
- なお、不連続箇所においてI/S混合層生成以降の注入現象の有無を確認した結果、弓状構造や粒子の配列などの注入の痕跡は認められない。
- さらに、薄片作成時等に生じた空隙は、明確に認定できる最新面が不連続になる箇所の粘土鉱物(I/S混合層)の構造に影響を与えていないことから、不連続箇所は薄片作成時等の乱れの影響を受けていないと判断した。



K-18_H-0.2-75孔②

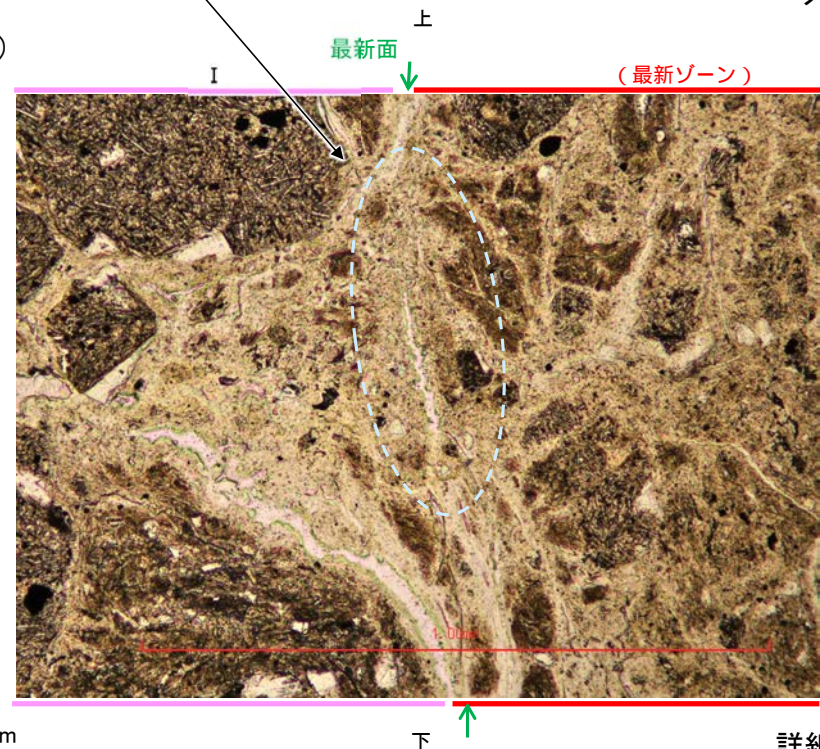
【詳細観察(範囲A)】



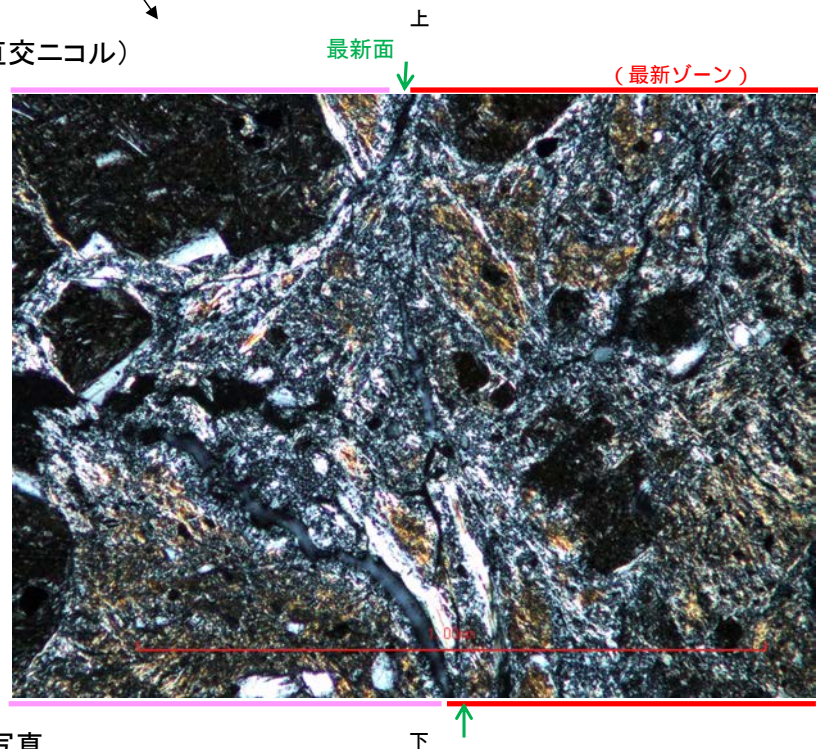
- 凡例
- 主要な岩片
 - 斜長石などの鉱物片
 - 不透明鉱物
 - 空隙部
 - 変質部(I/S混合層)
 - 主要な岩片等を除く基質部
 - 最新面

・不連続箇所の粘土鉱物(I/S混合層)にせん断面や引きずりなどの変形は認められない。

(単ニコル)



(直交ニコル)

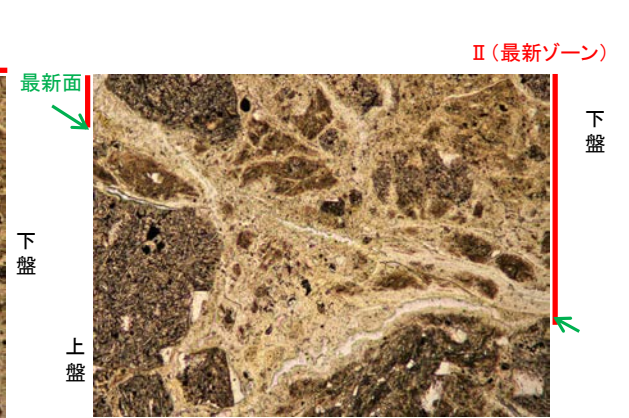
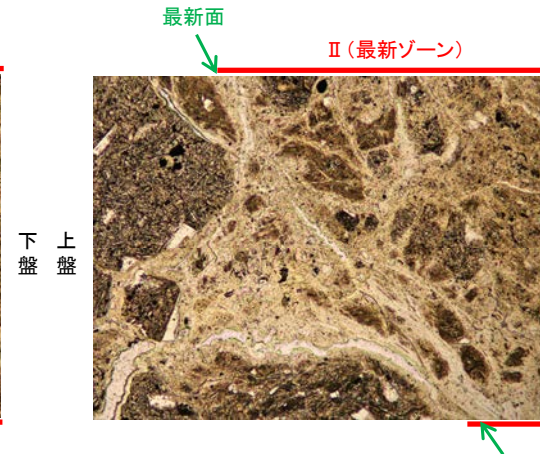
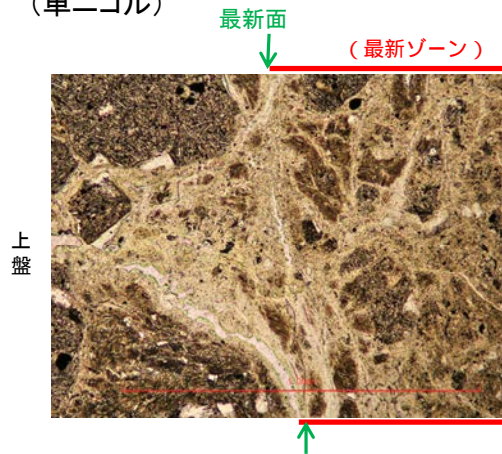


詳細観察範囲写真

K-18_H-0.2-75孔②

【ステージ回転(範囲A)】

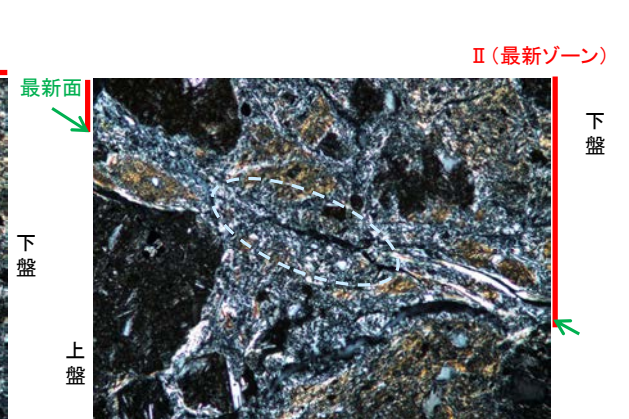
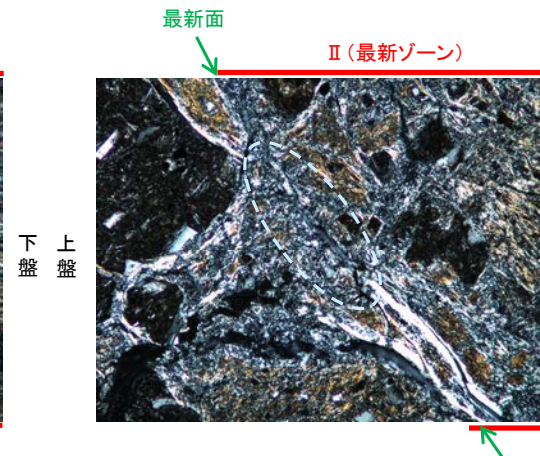
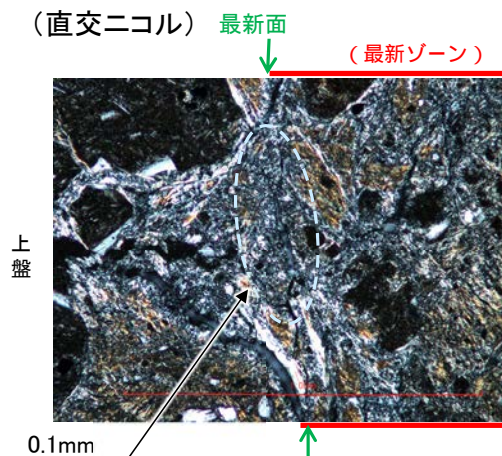
(単ニコル)



カリフォルニアの事例	阿寺断層の事例
注入脈の壁に沿って凸状上向き の弓状構造が認められる	注入方向に粒子の配列が認 められる

注入現象の事例
(関西電力株式会社, 2016)

(直交ニコル)



- ・不連続箇所の粘土鉱物(I/S混合層)にせん断面や引きずりなどの変形は認められない。
- ・注入の痕跡は認められない。

0° 回転

左30° 回転

左60° 回転

5.2.12 鉍物脈法による評価に用いた薄片一覧表

5.2.12 鉱物脈法による評価に用いた薄片一覧表

評価対象断層	評価地点			評価に用いた変質鉱物等	断層活動(最新面及び最新ゾーン)と変質鉱物との関係			備考	該当頁	
	孔名	薄片名	確認範囲		最新面1	最新面2	最新ゾーン			
S-1	H-6.6-1孔	薄片①	範囲A	I/S混合層	○	—	—		P.174	
			範囲B	I/S混合層	—	○	—		P.176	
	H-6.7孔	薄片①	範囲A	I/S混合層	○	—	—		P.185	
			範囲B	I/S混合層	—	※1	—	※1:現地調査で「鉱物脈が明瞭に横断しているようには見えない」との指摘を受けた	P.188	
			薄片②	範囲A	I/S混合層	○	—	—		P.192
				範囲B	I/S混合層	—	○※1'	—	※1':※1の指摘を踏まえ、最新面2を横断する鉱物脈の観察データを追加した	P.195
M-12.5"孔	薄片①	範囲A	碎屑岩脈	○	—	—		P.208		
		範囲B	碎屑岩脈	—	○	—		P.209		
S-2・S-6	K-6.2-2孔	薄片①	範囲A	I/S混合層	○	○	—		P.240	
	F-8.5'孔	薄片①	範囲A	I/S混合層	○	△	—		P.255	
	E-8.5-2孔	薄片①	範囲A	I/S混合層	○	△	—		P.270	
範囲B			I/S混合層	○	△	—		P.273		
S-4	E-8.50'''孔	薄片①	範囲A	I/S混合層	○	※2	—	※2:現地調査で「鉱物脈が明瞭に横断しているようには見えない」との指摘を受けた	P.285, 288	
			範囲B	I/S混合層	○	○※2'	—	※2':※2の指摘を踏まえ、最新面2を横断する鉱物脈の観察データを追加した	P.292	
			薄片②	範囲A	I/S混合層	—	○※2'	—	※2':※2の指摘を踏まえ、最新面2を横断する鉱物脈の観察データを追加した	P.297
				範囲B	I/S混合層	—	○※2'	—		
E-8.60孔	薄片①	範囲A	I/S混合層	○	△	—		P.307		
S-5	R-8.1-1-3孔	薄片①	範囲A	I/S混合層	※3	△	—	※3:現地調査で「鉱物脈が明瞭に横断しているようには見えない」との指摘を受けた	P.345	
	R-8.1-1-2孔	薄片①	範囲A	I/S混合層	○※3'	△	—	※3':※3の指摘を踏まえ、最新面を横断する鉱物脈の観察データを追加した	P.328	
S-7	H-5.4-1E孔	薄片①	範囲A	I/S混合層	○	△	—		P.357	
			範囲B	I/S混合層	○	—	—		P.369	
	H-5.7'孔	薄片①	範囲A	I/S混合層	—	※4	—	※4:現地調査で「鉱物脈が明瞭に横断しているようには見えない」との指摘を受けた	P.372	
			範囲B	I/S混合層	—	※4	—			
		薄片②	範囲A	I/S混合層	—	○※4'	—	※4':※4の指摘を踏まえ、最新面2を横断する鉱物脈の観察データを追加した	P.377	
			範囲B	I/S混合層	—	○※4'	—		P.380	
S-8	F-6.75孔	薄片①	範囲A	I/S混合層	○	△	—		P.397	
			範囲B	I/S混合層	○	△	—		P.400	
K-2	H-1.1-87孔	薄片①	範囲A	I/S混合層	○	※5	—	※5:再観察の結果、鉱物脈が最新面を明瞭に横断していないと判断した	P.411, 414	
			範囲B	I/S混合層	—	○※5'	—	※5':※5を踏まえ、最新面を横断する鉱物脈の観察データを追加した	P.415	
K-3	M-2.2孔	薄片① ほか	破碎部 全体	I/S混合層	△	△	□※6	※6:現地調査で「断層の最新面が不明瞭になっている」との指摘を受け再観察した結果、最新面を明確に認定できないことから、最新面が分布する可能性のある最新ゾーンと鉱物脈との関係を確認した	P.428~ 436, 446, 447	
K-14	H--0.3-80孔	薄片①	範囲A	I/S混合層	○	△	—		P.459	
K-18	H-0.2-75孔	薄片①	範囲A	I/S混合層	※7	△	—	※7:再観察の結果、鉱物脈が最新面を明瞭に横断していないと判断した	P.472	
		薄片②	範囲A	I/S混合層	○	△	—		P.478	

○:最新面を横断する鉱物脈に変位・変形が認められない

□:最新ゾーン中の鉱物脈に変位・変形が認められない

—:当該範囲では確認できない

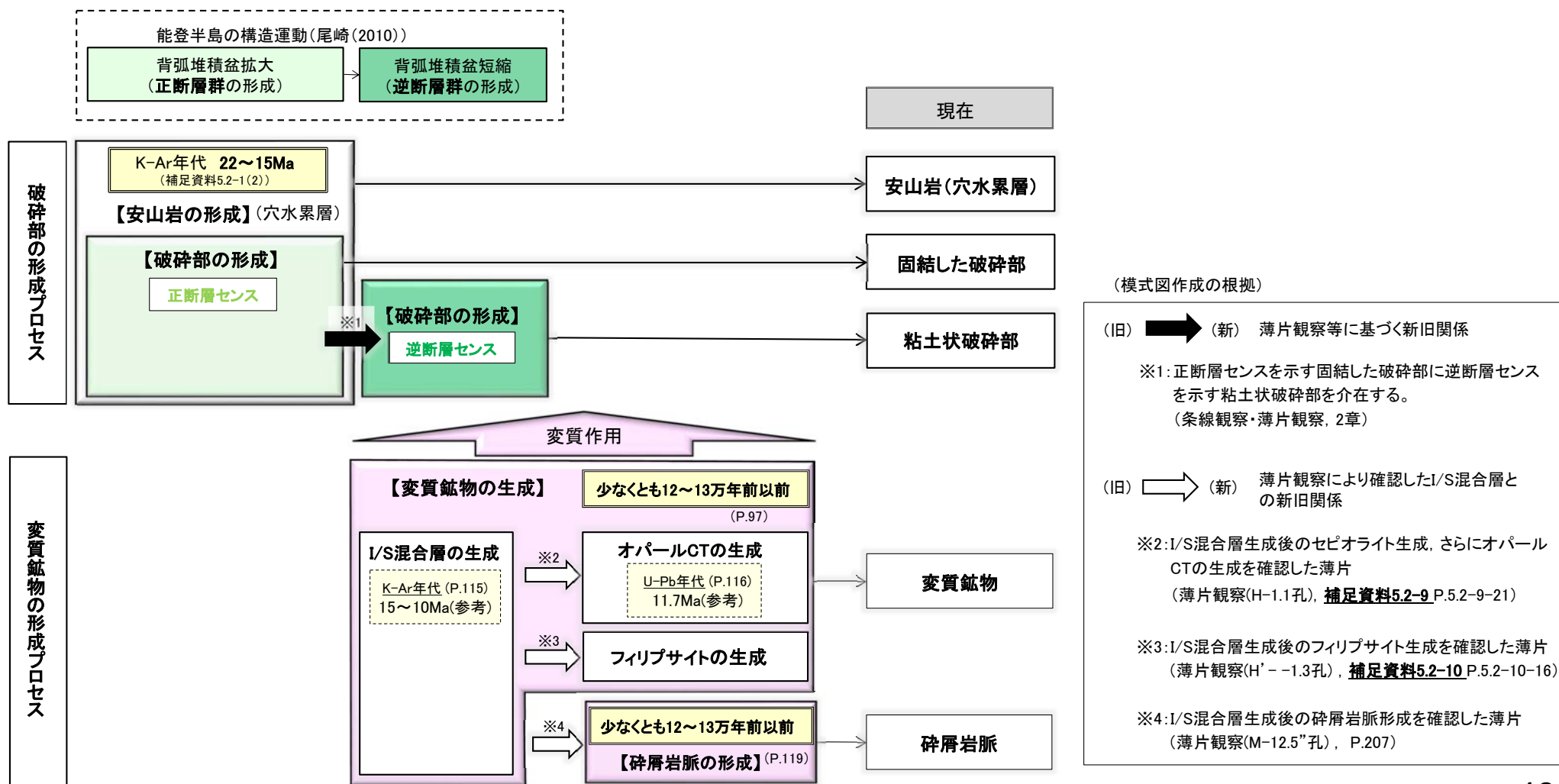
水色:第935回審査会合以降に追加したデータ

5.2.13 破砕部と変質鉱物の形成プロセス

5.2.13 破砕部と変質鉱物の形成プロセス —概要—

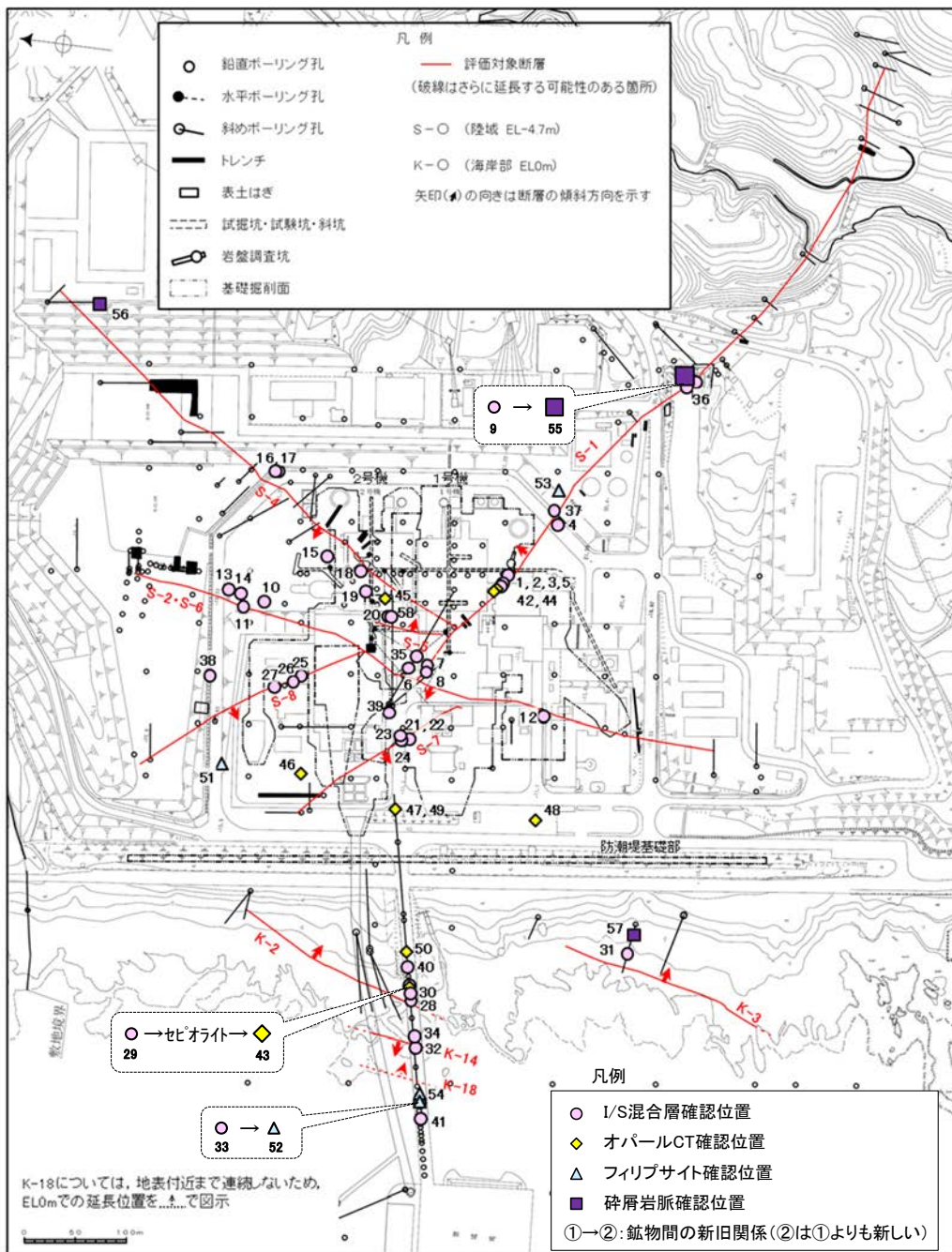
- 敷地における破砕部及び変質鉱物の形成プロセスについて、薄片観察等の観察事実を踏まえて整理した模式図を以下に示す。
- 現在の固結した破砕部に対応する破砕部は、安山岩形成時に正断層センスの断層活動によって形成され、現在の粘土状破砕部に対応する破砕部は、その後の逆断層センスの断層活動によって形成された。
- 変質鉱物は、少なくとも12~13万年前以前に生成した。なお、薄片観察により、I/S混合層とその他の変質鉱物の新旧関係として、I/S混合層生成後のオパールCT生成、フィリップサイト生成、碎屑岩脈形成を確認した。
- 変質鉱物を確認した位置について、次頁に位置図と表で示す。
- また、断層活動と鉱物脈法による活動性評価に用いた変質鉱物等(I/S混合層、碎屑岩脈)との関係について、P.486, 487に模式図で示す。

■破砕部と変質鉱物の形成プロセス(模式図)



【変質鉱物の確認位置】

鉱物脈法による評価を実施した位置及び変質鉱物の確認位置



位置図

鉱物	断層	確認位置 (左位置図)	標高	鉱物	断層	確認位置 (左位置図)	標高
I / S 混合層	S-1	1 岩盤調査坑 No.27孔	EL -16.45m	非破砕部	I / S 混合層	K-18 34 H-0.2-75孔	EL -108.04m
		2 岩盤調査坑No.7-1孔	EL -17.05m			35 H-6.5-2孔	EL -59.02m EL -59.10m
		3 岩盤調査坑No.16付近	EL -17.90m			36 M-12.5"孔	EL -27.25m
		4 K-10.3SW孔	EL -6.17m			37 K-10.8SW-1孔	EL -18.88m
		5 岩盤調査坑No.25切羽	EL -17.60m			38 E-6.2孔	EL -123.37m
		6 H-6.5-2孔	EL -49.50m			39 H-6.5' 孔	EL -24.19m
		7 H-6.6-1孔	EL -37.95m			40 H-1.1-80孔	EL -36.01m
		8 H-6.7孔	EL -19.01m			41 H-1.80孔	EL -44.66m
		9 M-12.5"孔	EL -21.66m				
	S-2・S-6	10 E-8.5+5"孔	EL 11.82m	S-1 42 KR-13孔	EL -16.75m		
		11 E-8.4' 孔	EL -10.61m	K-2 43 H-1.1孔	EL -96.84m		
		12 K-6.2-2孔	EL -19.45m	非破砕部	44 岩盤調査坑No.30切羽	EL -15.56m	
		13 E-8.5-2孔	EL 12.66m		45 H-6.4孔	EL -68.78m	
		14 F-8.5' 孔	EL 12.63m		46 F-4.9孔	EL -125.44m	
	15 F-9.3-4孔	EL -45.82m	47 R-4.5孔		EL -57.56m		
	16 E-11.1SE-6孔	EL 19.91m	48 K-4.2孔		EL -69.36m		
	S-4	17 E-11.1SE-2孔	EL 19.72m	49 R-4.5孔	EL -60.03m		
		18 E-8.60孔	EL -35.91m	50 H-1.5-95孔	EL -168.01m		
		19 E-8.50"孔	EL -39.83m				
	S-5	20 R-8.1-1-3孔	EL -11.12m	フィリップサイト	S-2・S-6 51 E-5.7孔	EL -158.08m	
		21 H-5.5-2孔	EL -3.75m		K-14 52 H' - -1.3孔	EL -121.91m	
	S-7	22 H-5.64-2孔	EL 2.84m	非破砕部	53 J-10.8SW-1孔	EL -62.11m	
		23 H-5.4-1E孔	EL 4.80m		54 H- -1.0孔	EL -123.22m	
		24 H-5.7' 孔	EL -3.26m	碎屑岩脈	S-1 55 M-12.5"孔	EL -21.66m	
		25 F-6.82-6孔	EL -1.97m		56 A-14.5S孔	EL -15.77m	
	S-8	26 F-6.80-2孔	EL -5.83m	57 M-2.2-2孔	EL -15.74m		
		27 F-6.75孔	EL -15.76m				
		28 H-0.9-40孔	EL -6.36m				
	K-2	29 H-1.1孔	EL -96.84m EL -96.99m				
		30 H-1.1-87孔	EL -77.44m				
	K-3	31 M-2.2孔	EL -31.45m				
		32 H- -0.3-80孔	EL -27.48m				
		33 H' - -1.3孔	EL -121.91m				

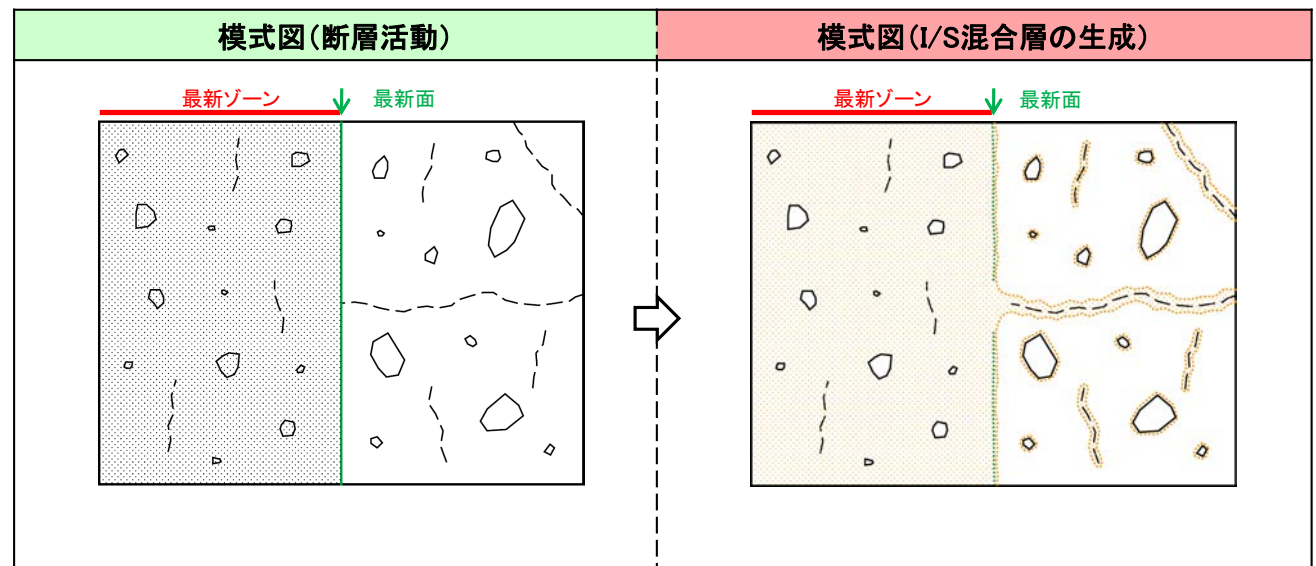
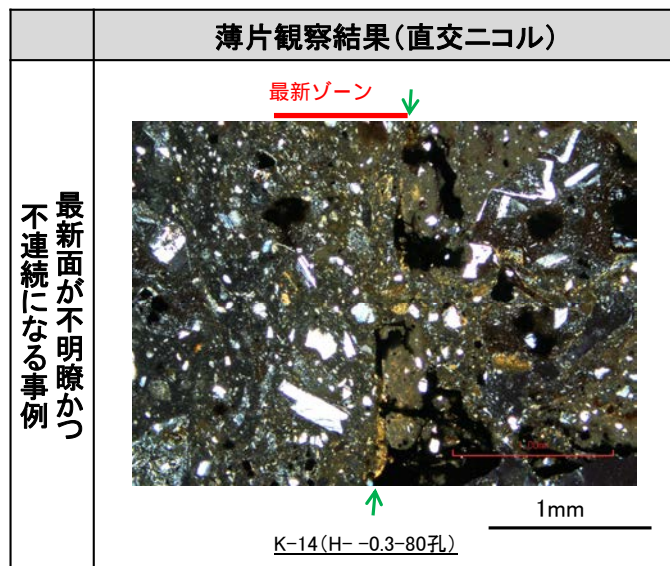
下線は鉱物脈法による評価を実施した薄片

5.2.13 破砕部と変質鉱物の形成プロセス –断層活動とI/S混合層の関係–

- 断層活動(最新面)とI/S混合層に関する形成プロセスの模式図を以下に示す。
- 最新活動後に、I/S混合層が生成し、最新面が不連続になった。

観察事実	⇒	解釈
<ul style="list-style-type: none"> ・巨視的観察で抽出された主せん断面において薄片観察を行った結果、周囲よりも細粒なゾーン(最新ゾーン)を抽出した。(例:P.451, 452) ・最新ゾーンには、直線性・連続性がよい面(最新面)が認められる。(例:P.452, 453) ・粘土鉱物(I/S混合層)が最新面を横断して分布し、最新面が不連続になっており、不連続箇所(粘土鉱物(I/S混合層)にせん断面や引きずりなどの変形は認められない。(例:P.458~460) 		<ul style="list-style-type: none"> ・断層活動により最新ゾーン及び最新面が形成された。 ・最新活動後に変質を被り、割れ目や岩片等の縁辺部、破砕部にI/S混合層が生成し、最新面が不連続になった。

- 模式図凡例
- 最新ゾーン
 - 変質部 (I/S混合層)
 - 岩片・鉱物片
 - 最新面 (変質前)
 - 最新面 (変質後)
 - 割れ目

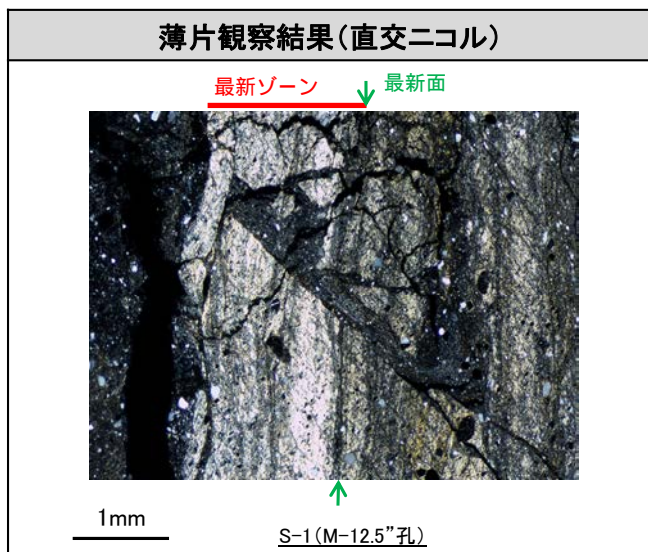


・断層活動により最新ゾーン及び最新面が形成された。

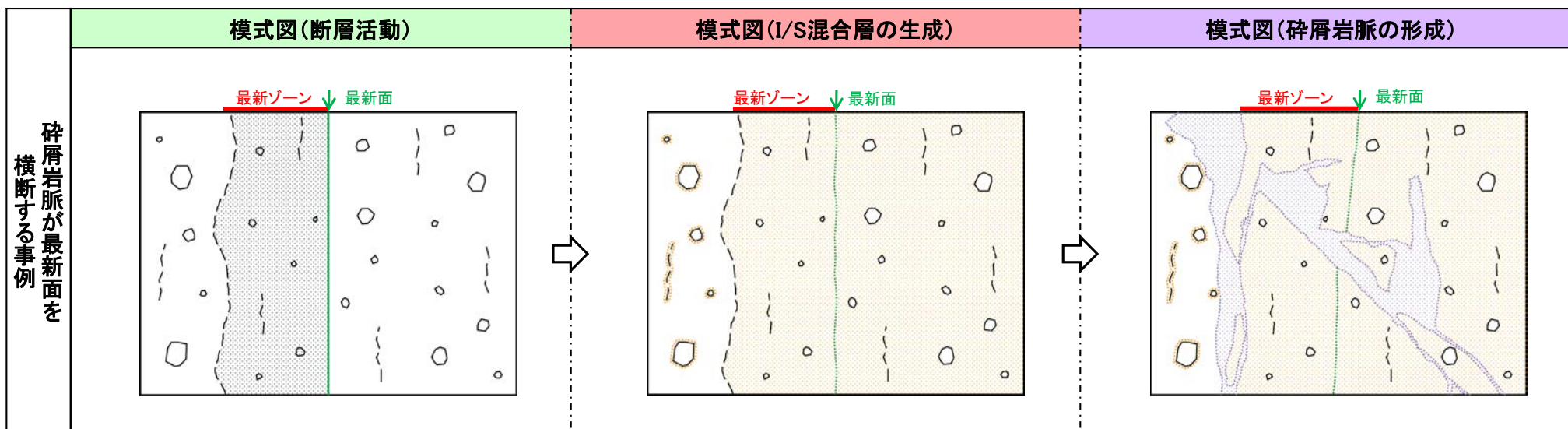
・最新活動後に変質を被り、割れ目や岩片等の縁辺部、破砕部にI/S混合層が生成し、最新面が不連続になった。

5.2.13 破砕部と変質鉱物の形成プロセス —断層活動と碎屑岩脈の関係—

- 断層活動(最新面)と碎屑岩脈に関する形成プロセスの模式図を以下に示す。
- 最新活動後に, I/S混合層が生成し, さらにその後最新面及び最新ゾーン全体を横断して碎屑岩脈が形成した。



観察事実	解釈
<ul style="list-style-type: none"> ・巨視的観察で抽出された主せん断面において薄片観察を行った結果, 周囲よりも細粒なゾーン(最新ゾーン)を抽出した。(P.199, 200) ・最新ゾーンには, 直線性・連続性がよい面(最新面)が認められる。(P.200, 201) 	<ul style="list-style-type: none"> ・断層活動により最新ゾーン及び最新面が形成された。
<ul style="list-style-type: none"> ・最新ゾーン及びその周辺には, I/S混合層が分布している。(P.202~204) 	<ul style="list-style-type: none"> ・最新活動後に変質を被り, 割れ目や岩片等の縁辺部, 破砕部にI/S混合層が生成した。
<ul style="list-style-type: none"> ・碎屑岩脈が最新面及び最新ゾーン全体を横断して分布し, 横断箇所에선断面や引きずりなどの変形は認められない。(P.208~210) 	<ul style="list-style-type: none"> ・I/S混合層生成後に最新面及び最新ゾーン全体を横断して碎屑岩脈が形成した。



・断層活動により最新ゾーン及び最新面が形成された。

・最新活動後に変質を被り, 割れ目や岩片等の縁辺部, 破砕部にI/S混合層が生成した。

・I/S混合層生成後に最新面及び最新ゾーン全体を横断して碎屑岩脈が形成した。

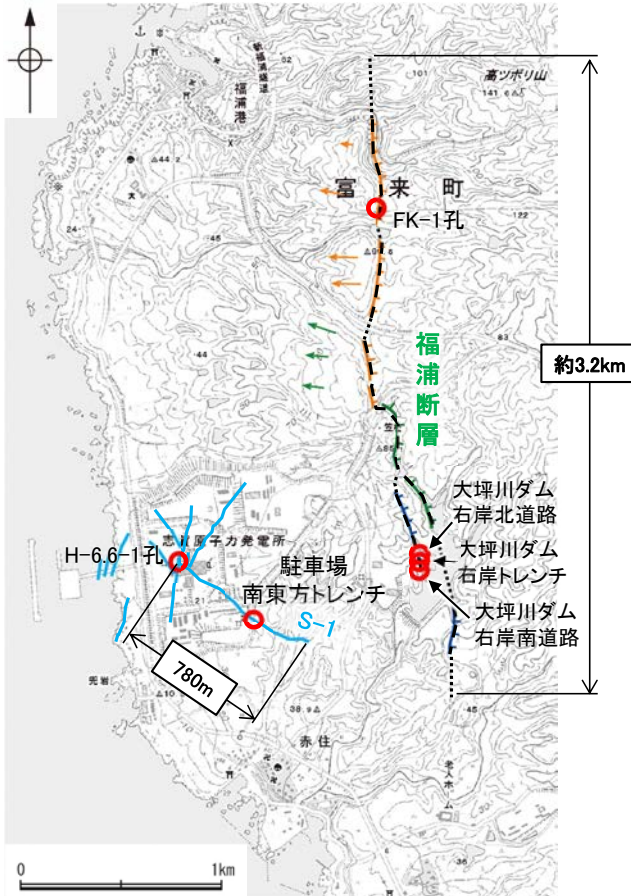
5.2.14 敷地内断層と活断層との破砕部性状の比較

5.2.14 敷地内断層と活断層との破砕部性状の比較 一概要一

○非活断層と評価した敷地内断層について、近傍の活断層(福浦断層)と破砕部性状(断層規模, 活動の痕跡など)に違いがあるか比較を行った。
 ○その結果, 露頭調査, 薄片観察のいずれにおいても, 敷地内断層と活断層で破砕部性状に明瞭な違いが認められた。

○以上より, 敷地内断層は活断層と異なる破砕部性状を有しており, 敷地内断層の最新活動はI/S混合層(少なくとも後期更新世以降に生成したものではない)の生成以前と評価したと整合的である。

敷地内断層と活断層との性状比較



位置図

凡例

- (リニアメント・変動地形)
- ↑ (変動地形である可能性がある)
- ↓ (変動地形である可能性が低い)
- ↑↓ (変動地形である可能性は非常に低い)
- ↑ (変動地形である可能性は非常に低い)
- ↑は低下側を示す。
- ↓は地形面の傾斜の向きを示す。
- 敷地内断層(評価対象断層)

	敷地内断層 (S-1)	活断層 (福浦断層)			記載頁		
地形調査	リニアメント・変動地形が判読されない。	逆向きの低崖等からなるリニアメント・変動地形が判読される。			次頁		
断層長さ	780m	約3.2km			本頁		
露頭調査結果	調査位置	駐車場南東方トレンチ (高位段丘 I a面上)	大坪川ダム右岸トレンチ (高位段丘 I b面上)			次頁	
	走向傾斜 (走向は真北基準)	N51° W/77° NE	N10° E/74° NW				
	破砕部幅	5~10cm	25~35cm			敷地内断層:P.491 活断層:P.492	
	層状構造	なし	あり				
	上載地層との関係	第四系に変位・変形を与えていない。	第四系に変位・変形を与えている。				次頁
薄片観察結果	調査位置	H-6.6-1孔 (EL-37.95m)	FK-1孔 (EL57.32m)	大坪川ダム右岸トレンチ (露頭)	大坪川ダム右岸北道路 (露頭)	大坪川ダム右岸南道路 (露頭)	本頁
	複合面構造	不明瞭	明瞭			H-6.6-1孔:P.498 FK-1孔:P.499 右岸トレンチ:P.504, 506 右岸北道路:P.510 右岸南道路:P.514	
	層状構造	なし	あり			H-6.6-1孔:P.498 FK-1孔:P.500 右岸トレンチ:P.504, 506 右岸北道路:P.510 右岸南道路:P.514	
	変質鉱物との関係	粘土鉱物(I/S混合層)に変位・変形を与えていない。	粘土鉱物(I/S混合層)に変位・変形を与えている。	粘土鉱物(ハロイサイト等)に変位・変形を与えている。		H-6.6-1孔:P.498 FK-1孔:P.501 右岸トレンチ:P.505, 507 右岸北道路:P.511 右岸南道路:P.515	

5.2.14 敷地内断層と活断層との破碎部性状の比較 — 露頭調査 —

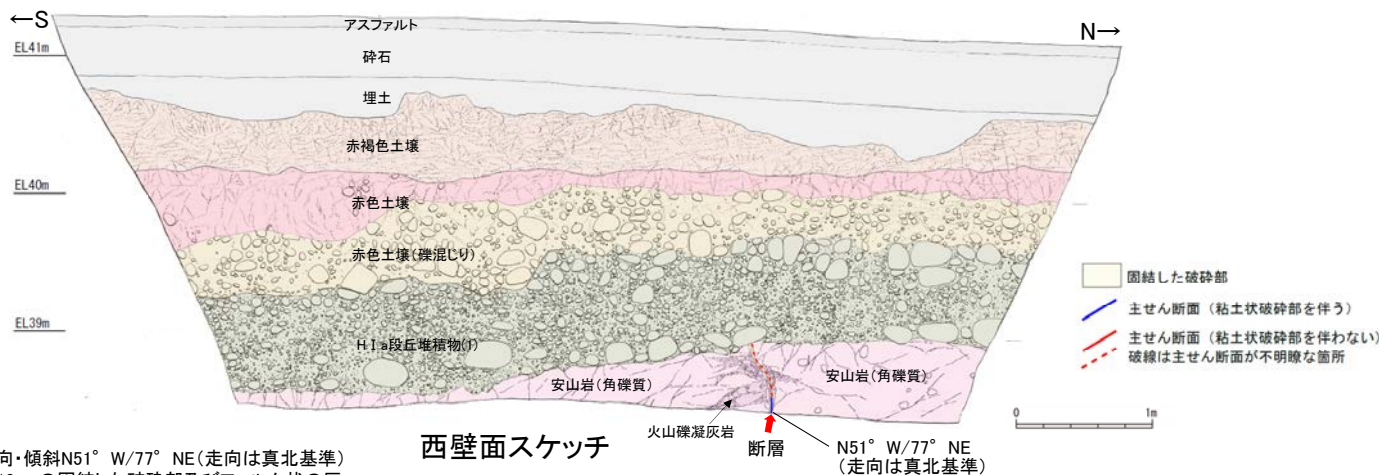
○敷地内断層と近傍の活断層(福浦断層)の露頭調査結果を比較した結果、敷地内断層では後述(5.3.2~5.3.4)の通り、第四系に変位・変形を与えていないのに対し、活断層では第四系に変位・変形を与えている。
 ○また、活断層の露頭では主せん断面に沿って粘土鉱物が層状に分布する層状構造が観察され、繰り返し活動した構造が認められるのに対し、敷地内断層の露頭では層状構造は認められない(次頁, 次々頁)。



位置図

[段丘面]		[リニアメント・変動地形]	
高位段丘V面	高位段丘Ib面	Li (変動地形である可能性がある)	Li (変動地形である可能性が低い)
高位段丘IV面	高位段丘Ia面	Li (変動地形である可能性は非常に低い)	ケハは低下側を示す。
高位段丘III面	中位段丘I面	↓ は地形面の傾斜の向きを示す。	
高位段丘II面	古期扇状地面		
	沖積段丘面		
	敷地内断層(評価対象断層)		

敷地内断層(S-1 駐車場南東方トレンチ)

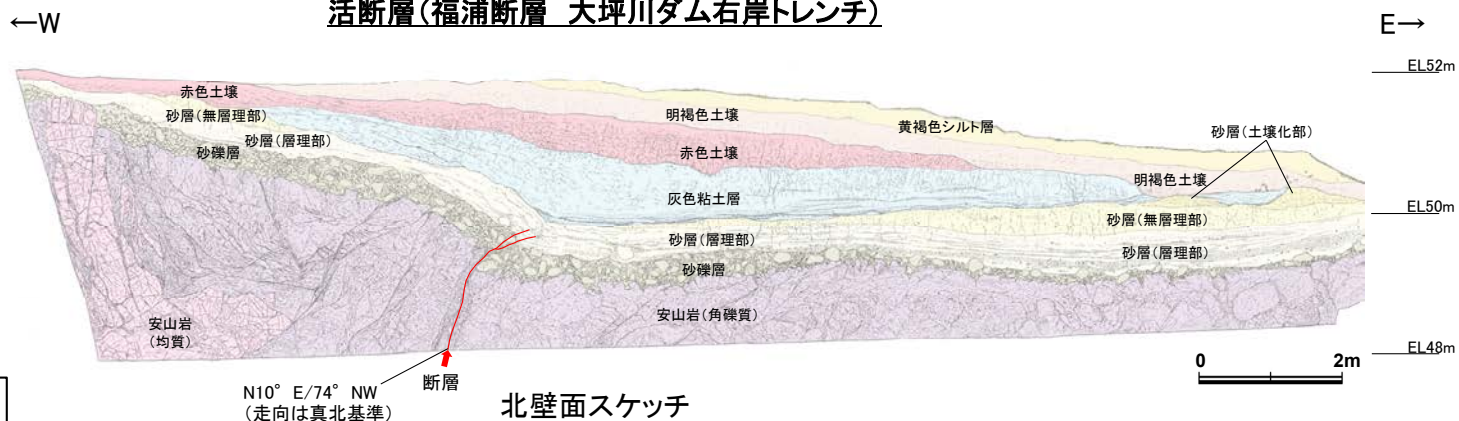


西壁面スケッチ

・S-1は、走向・傾斜N51° W/77° NE(走向は真北基準)で、幅5~10cmの固結した破砕部及びフィルム状の灰褐色~褐色を呈する粘土状破砕部からなり、穴水累層の岩盤の上面まで認められる。

・第四系に変位・変形を与えていない。

活断層(福浦断層 大坪川ダム右岸トレンチ)

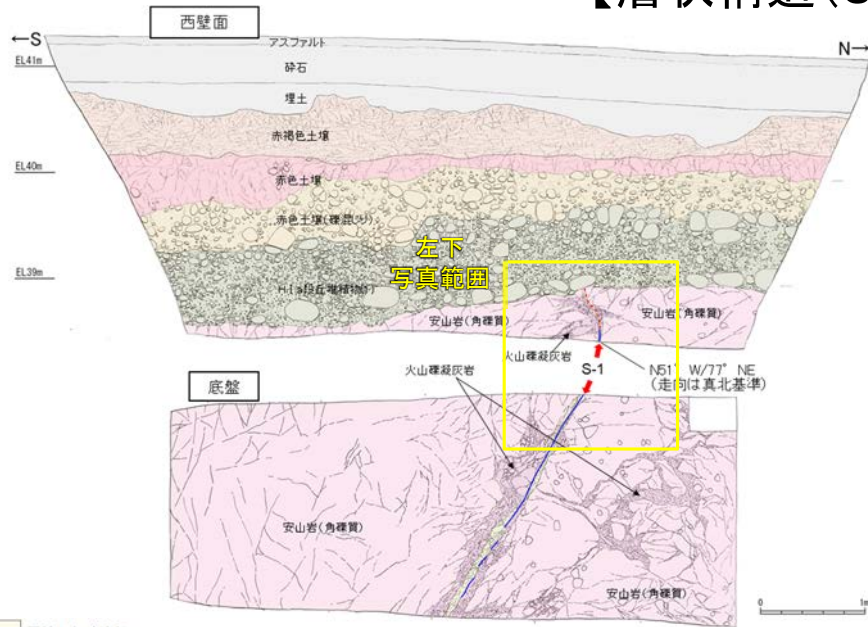


北壁面スケッチ

・下部で厚さ0.5~1cmの明灰色~黄灰色の粘土、上部で厚さ0.2~0.5cmの赤紫灰色の粘土が分布し、粘土中には鏡肌、条線(80° L)が認められる。主断層の上盤は幅15~20cmにわたり強く破碎し、下盤側は幅10~15cmで上盤側と同様に破碎しており、砂礫層とその上位の砂層(層理部)中まで伸長する。

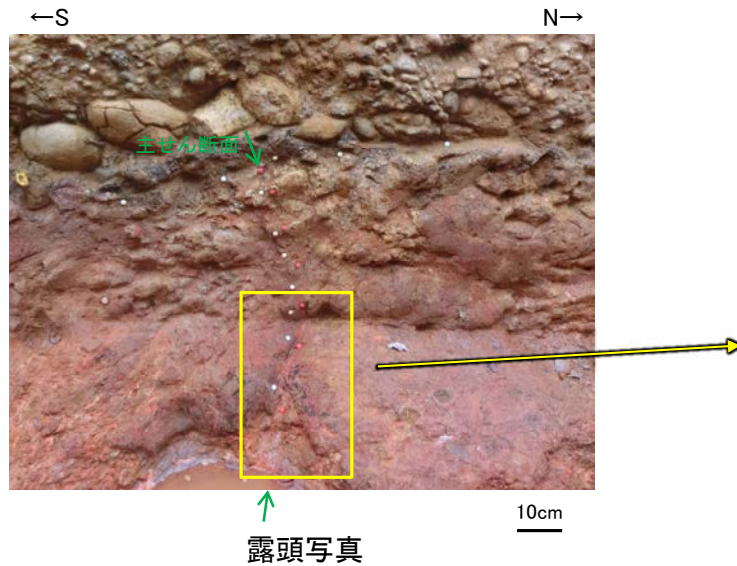
・第四系に変位・変形を与えている。

【層状構造(S-1 駐車場南東方トレンチ)】

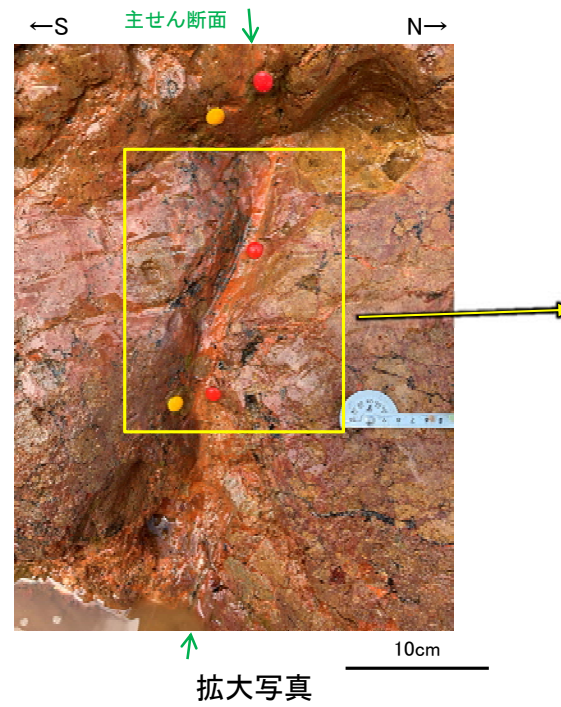


- 固結した破砕部
- 主せん断面 (粘土状破砕部を伴う)
- 主せん断面 (粘土状破砕部を伴わない)
- 破線は主せん断面が不明瞭な箇所

西壁面, 底盤スケッチ



露頭写真



拡大写真

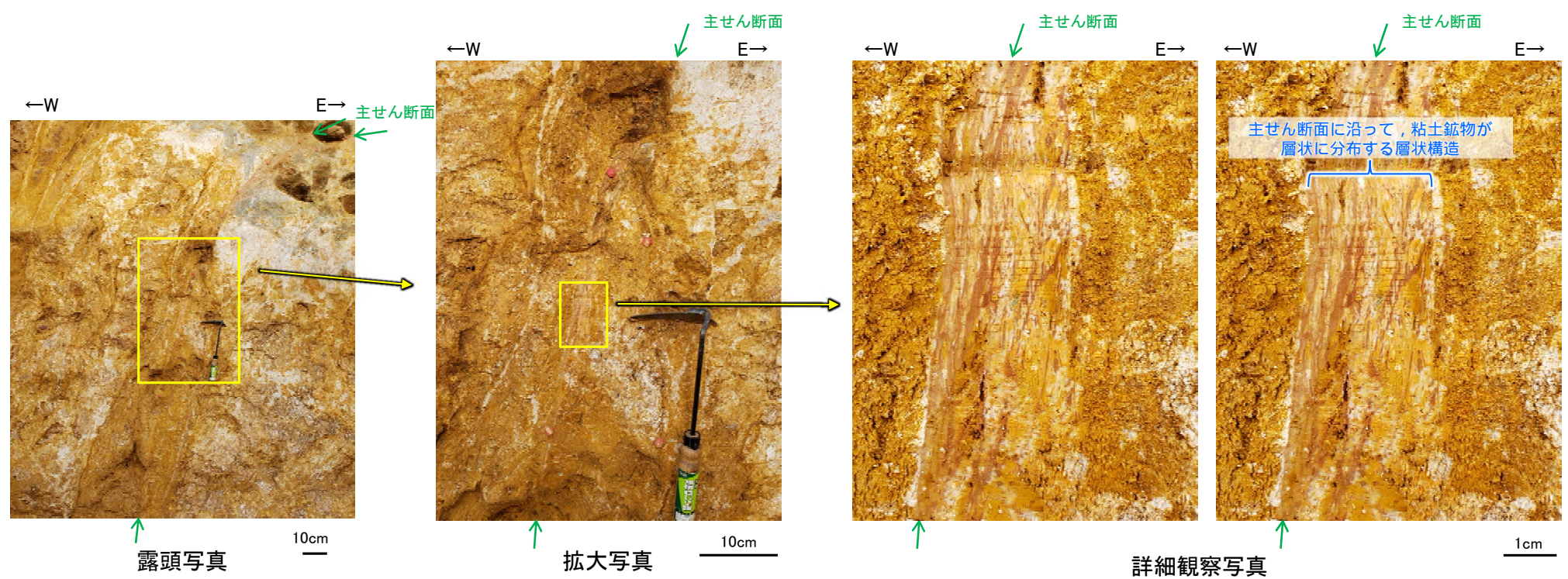
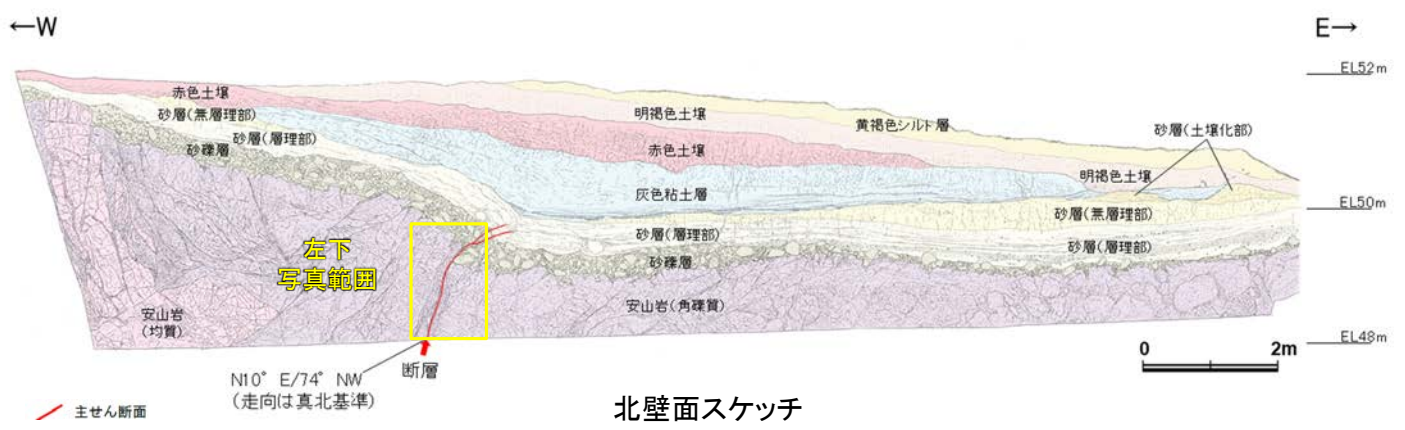


詳細観察写真

(上:加筆なし, 下:加筆あり)

・主せん断面に沿って、層状構造は認められない。

【層状構造(福浦断層 大坪川ダム右岸トレンチ)】



(左:加筆なし, 右:層状構造範囲を加筆)

・主せん断面に沿って粘土鉱物が層状に分布する層状構造が観察され、繰り返し活動した構造が認められる。

○FK-1孔の深度52.5m付近で認められる福浦断層の主せん断面において、71° R(下盤側換算)の条線方向で薄片を作成した。
 ○断層位置でXRD分析を実施した結果、主な粘土鉱物としてスメクタイトが認められ、スメクタイトについて詳細な結晶構造判定を行うためにXRD分析(粘土分濃集)を実施した結果、I/S混合層と判定した(次頁, 次々頁)。
 ○また、EPMA分析(定量)による化学組成の検討において、断層ガウジやその周辺でI/S混合層を確認している(P.496, 497)。

【薄片作成箇所(FK-1孔)】



位置図

凡例

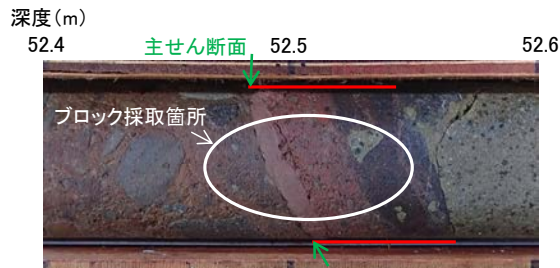
高位段丘V面	高位段丘Ib面
高位段丘IV面	高位段丘Ia面
高位段丘III面	中位段丘I面
高位段丘II面	古期扇状地面
	沖積段丘面

【リニアメント・変動地形】

- Lb (変動地形である可能性がある)
- Lc (変動地形である可能性が低い)
- Ld (変動地形である可能性は非常に低い)

ケバは低下側を示す。
 ↓は地形面の傾斜の向きを示す。

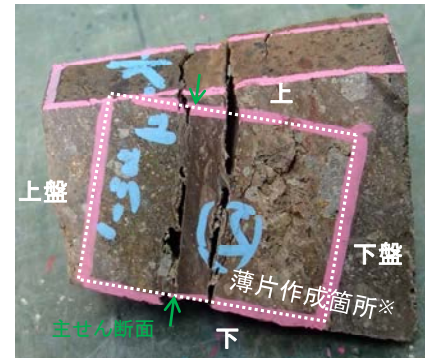
敷地内断層(評価対象断層)



== 破碎部

- ・BHTVでN4° W/69° SW (走向は真北基準)
- ・見かけの傾斜角20~25° の厚さ6.5cmの破碎部。
- ・厚さ1.0cmのにぶい褐色、にぶい赤褐色を呈する未固結な粘土を挟在する。下部は一部固結している。

コア写真(FK-1孔)

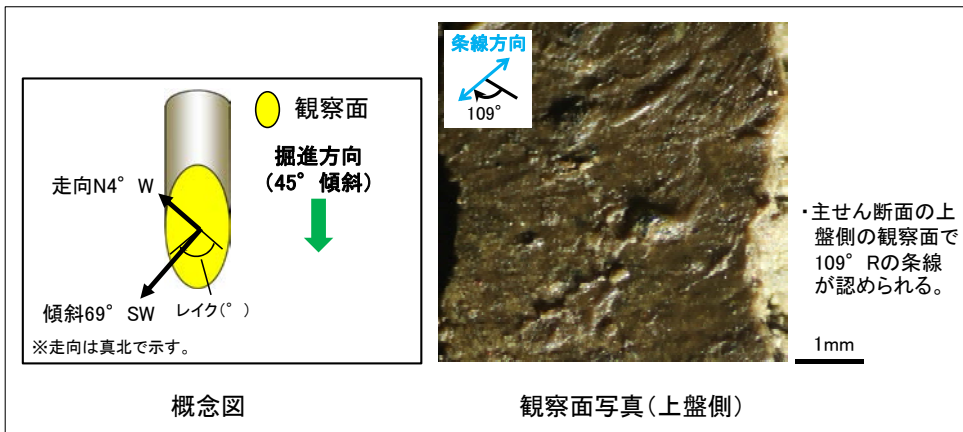


1cm

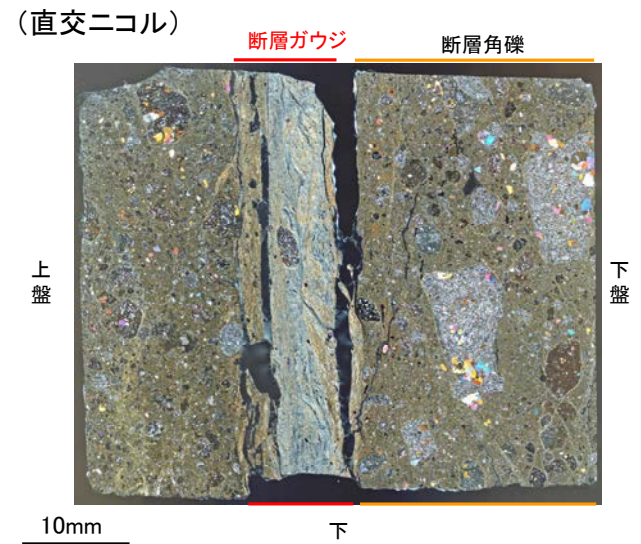
※図示した箇所(薄片①)を作成し、そこから3mm程度削り込んだ位置でEPMA用薄片を作成した

- ・FK-1孔から採取したブロックの主せん断面において、71° R(下盤側換算)の条線方向で薄片を作成した。

ブロック写真



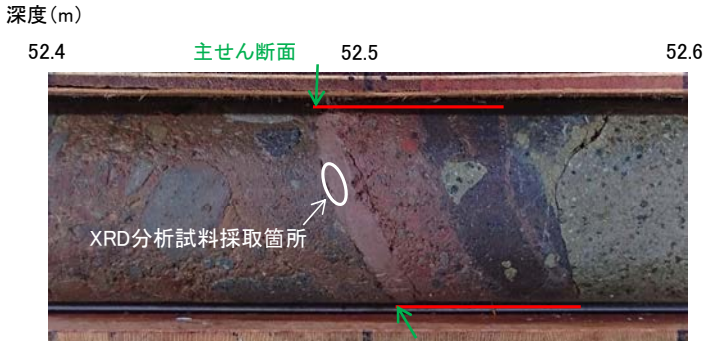
条線観察結果



薄片①写真(FK-1_71R)

福浦断層_FK-1孔

【XRD分析結果】



分析試料

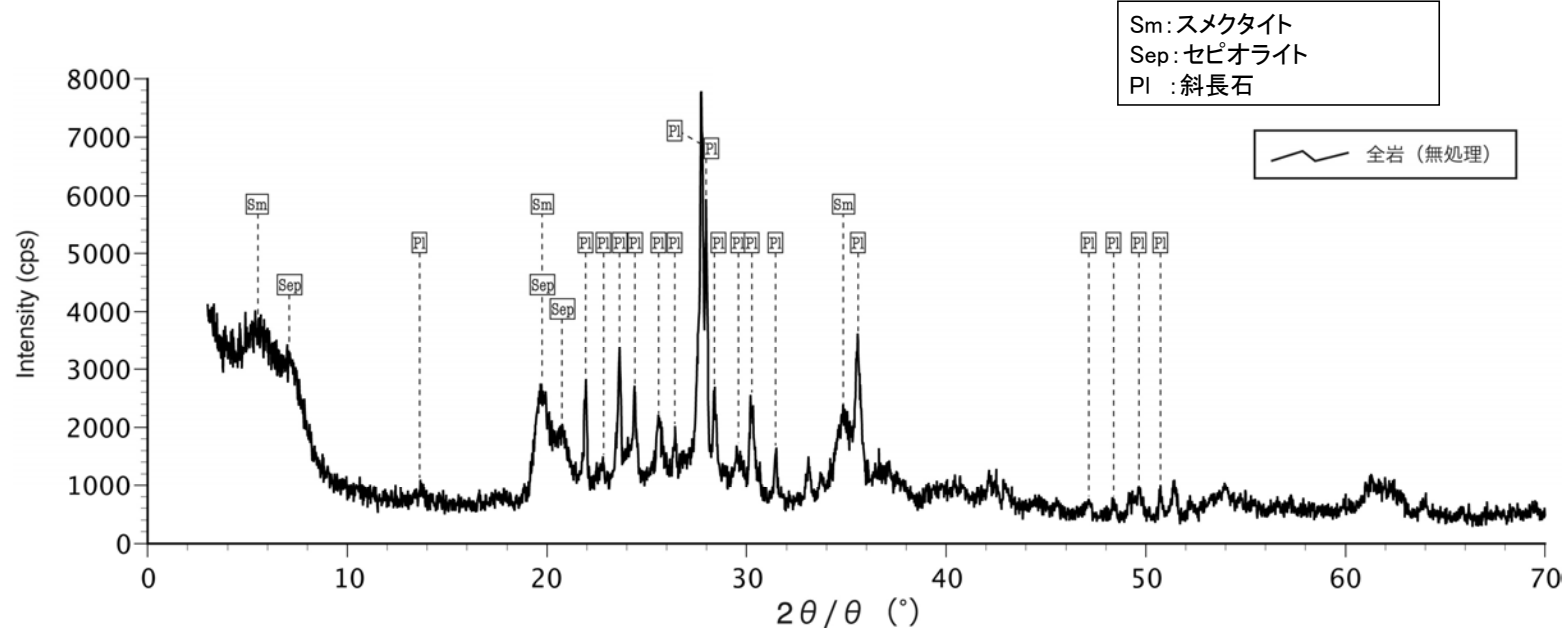
	検出鉱物		
	斜長石	スメクタイト	セピオライト
福浦断層 FK-1孔	○	△	△

XRD分析 測定諸元
 装置: Rigaku RINT2500V
 Target: Cu (Kα)
 Voltage: 40kV
 Detector: SC
 Divergence Slit: 0.5°
 Receiving Slit: 0.15mm
 Step size: 0.02°

◎: 卓越している (>20,000cps)
 ○: 含まれている (5,000~20,000cps)
 △: 少量だが検出される (<5,000cps)

== 破碎部

試料採取箇所 (FK-1孔)



回折チャート 不定方位

・FK-1孔の断層位置でXRD分析を実施した結果, 主な粘土鉱物としてスメクタイトが認められる。